

به نامر آن گه جان را فکرت آموخت





دانشکده فنی  
دانشکده فنی

دانشکده علوم ریاضی  
گروه ریاضی کاربردی

پایان نامه

برای دریافت درجه کارشناسی ارشد در رشته  
ریاضی کاربردی، گرایش آنالیز عددی

عنوان

# حل معادلات دیفرانسیل جبری جزیی با روش‌های نیمه تحلیلی

استاد راهنما

دکتر مهدی قوتمند

استاد مشاور

دکتر علی مس فروش

دانشجو

سیده رقیه میریا قمری

۱۳۹۲ بهمن

114 μ



دانشگاه صنعتی شاهرود  
مدیریت تحصیلات تکمیلی

فرم شماره

شماره:

تاریخ:

ویرایش:

با سمه تعالیٰ

### فرم صورت جلسه دفاع از پایان نامه تحصیلی دوره کارشناسی ارشد

با تأییدات خداوند متعال و با استعانت از حضرت ولی عصر (عج) نتیجه ارزیابی جلسه دفاع از پایان نامه کارشناسی ارشد خانم سیده رقیه میرباقری رشته ریاضی کاربردی گرایش آنالیز عددی تحت عنوان حل معادلات دیفرانسیل جبری جزیی با روش‌های نیمه تحلیلی که در تاریخ ۹۲/۱۱/۳۰ با حضور هیأت محترم داوران در دانشگاه صنعتی شاهروود برگزار گردید به شرح ذیل اعلام می‌گردد:

قبول (با درجه: خوب امتیاز ۱۷/۸۵)  مردود  دفاع مجدد

۱- عالی (۲۰ - ۱۹)

۲- بسیار خوب (۱۸/۹۹ - ۱۸)

۳- خوب (۱۷/۹۹ - ۱۶)

۴- قابل قبول (۱۵/۹۹ - ۱۴)

۵- نمره کمتر از ۱۴ غیر قابل قبول

ردیف	نام و نام اخانوادگی	مرتبه علمی	اعضو هیأت داوران
۱	دکتر مهدی قوتمند	استادیار	۱- استاد راهنما
۲	دکتر علی مس فروش	استادیار	۲- استاد مشاور
۳	دکتر احمد زیره	دانشیار	۳- نماینده شورای تحصیلات تکمیلی
۴	دکتر حجت احسانی طهرانی	استادیار	۴- استاد ممتحن
۵	دکتر علیرضا ناظمی	استادیار	۵- استاد ممتحن

امضاء  
دکتر احمد زیره ریاضی

رئیس دانشکده به کتو احمد زیره



## خدا یا...<sup>۱۰۰</sup>

به من زیستنی عطا کن که در لحظه مرگ، بر بی ثمری لحظه‌ای که برای زیستن گذشته است، حسرت نخورم و مُردنی عطا کن که بر بیهودگیش، سوگوار نباشم. بگذار تا آن را، خود انتخاب کنم، اما آنچنان که تو دوست می‌داری.

تو می‌دانی و همه می‌دانند که شکنجه دیدن بخاطر تو، زندانی کشیدن بخاطر تو و رنج بردن به پای تو تنها لذت بزرگ زندگی من است، از شادی توست که من در دل می‌خندم، از امید رهایی توست که برق امید در چشمان خسته‌ام می‌درخشد و از خوشبختی توست که هوای پاک سعادت را در ریه‌هایم احساس می‌کنم. نمی‌توانم خوب حرف بزنم. نیروی شکفتی را که در زیر کلمات ساده و جمله‌های ضعیف و افتاده، پنهان کرده‌ام دریاب، دریاب.

تو می‌دانی و همه می‌دانند که زندگی از تحمیل بخندی بر لیان من، از آوردن برق امیدی در نگاه من، از برانگیختن موج شعفی در دل من، عاجز است.

تو، چگونه زیستن را به من بیاموز، چگونه مردن را خود خواهم آموخت.

به من توفیق تلاش در شکست، صبر در نومیدی، رفتن بی‌همرا، جهاد بی‌سلاح، کار بی‌پاداش، فدایکاری در سکوت، دین بی‌دنیا، مذهب بی‌عوام، عظمت بی‌نام، خدمت بی‌نان، ایمان بی‌ریا، خوبی بی‌نمود، گستاخی بی‌خامی، قناعت بی‌غورو، عشق بی‌هوس، تنها‌یی در انبوه جمعیت، و دوست داشتن بی‌آنکه دوست بداند، روزی کن.

## اگر تهاترین تهائشوم، باز خدا هست

## او جانشین همه نداشت..

<sup>۱</sup> مناجاتی از دکتر علی شریعتی.



تَعْدِيم بْن خانواده عزیزم



# پاس گزاری

سپاس خداوندگار حکیم را که با لطف بی کران خود، آدمی را زیور عقل آراست.  
در آغاز وظیفه خود می دانم از خدمات بی دریغ استاد راهنمای خود، جناب آقای دکتر مهدی قوتمند،  
صمیمانه تشکر و قدردانی کنم که قطعاً بدون راهنمایی های ارزنده ایشان، این مجموعه به انجام نمی رسد.  
از جناب آقای دکتر علی مس فروش که زحمت مطالعه و مشاوره این رساله را تقبل فرمودند و در  
آماده سازی این رساله، به نحو احسن اینجانب را مورد راهنمایی قرار دادند، کمال امتنان را دارم.  
در پایان، بوسه می زنم بر دستان خداوندگاران مهر و مهربانی، پدر و مادر عزیزم و بعد از خدا، ستایش  
می کنم وجود مقدس شان را و تشکر می کنم از خواهران عزیزم به پاس عاطفه سرشار و گرمای امیدبخش  
وجودشان، که در این سردنی روزگاران، بهترین پشتیبان من بودند.

سیده رقہ میرا قری  
تبیسن ۱۳۹۲



## تعهد نامه

اینجانب سیده رقیه میرباقری دانشجوی کارشناسی ارشد رشته ریاضی کاربردی دانشکده علوم ریاضی دانشگاه شهرود، نویسنده پایان نامه با عنوان حل معادلات دیفرانسیل جبری جزیی با روش های نیمه تحلیلی، تحت راهنمایی دکتر مهدی قوتمند متعهد می شوم:

- تحقیقات در این پایان نامه توسط اینجانب انجام شده است و از صحت و اصالت برخوردار است.
- در استفاده از نتایج پژوهش های دیگر پژوهش گران، به مرجع مورد استفاده استناد شده است.
- مطالب این پایان نامه، تا کنون توسط خود، یا فرد دیگری برای دریافت هیچ نوع مدرک یا امتیازی در هیچ جا ارایه نشده است.
- حقوق معنوی این اثر، به دانشگاه شهرود متعلق دارد، و مقالات مستخرج با نام "دانشگاه شهرود" یا "Shahrood University" به چاپ خواهد رسید.
- حقوق معنوی تمام افرادی که در به دست آوردن نتایج اصلی پایان نامه تاثیرگذار بوده اند، در مقالات مستخرج از پایان نامه رعایت می گردد.
- در تمام مراحل انجام این پایان نامه، در مواردی که از موجود زنده (یا بافت های آنها) استفاده شده است، ضوابط و اصول اخلاقی رعایت شده است.
- در تمام مراحل انجام این پایان نامه، در مواردی که به حوزه اطلاعات شخصی افراد دسترسی یافته (یا استفاده) شده است، اصل رازداری و اصول اخلاق انسانی رعایت شده است.

سیده رقیه میرباقری  
۱۳۹۲ تهمن



## مالکیت نتایج و حق نشر

- تمام حقوق معنوی این اثر و محصولات آن (مقالات مستخرج، کتاب، برنامه های رایانه ای، نرم افزارها و تجهیزات ساخته شده) متعلق به دانشگاه شهرود می باشد. این مطلب باید به نحو مقتضی، در تولیدات علمی مربوطه ذکر شود.
- استفاده از اطلاعات و نتایج موجود در این پایان نامه بدون ذکر منبع مجاز نمی باشد.



## چکیده

معادلات دیفرانسیل جبری جزیی خطی به شکل  $Au_t(t, x) + Bu_{xx}(t, x) + Cu(t, x) = f(t, x)$  زمانی مورد مطالعه قرار می‌گیرند که حداقل یکی از ماتریس‌های  $A, B \in \mathbb{R}^{n \times n}$  منفرد باشد. حالت  $A = 0$  و  $B = 0$  به ترتیب به معادلات دیفرانسیل معمولی و معادلات دیفرانسیل جبری منتهی می‌شوند. بنابراین فرض می‌کنیم که  $A, B \neq 0$ . برای این سیستم‌ها یک اندیس دیفرانسیل زمانی یکنواخت و یک اندیس دیفرانسیل مکانی را معرفی می‌کنیم. این اندیس‌ها به ترتیب به وسیله‌ی یک تبدیل فوریه و لaplas مشخص می‌شوند. علاوه بر این یک جفت اندیس اختلال را معرفی می‌کنیم و رابطه‌ی بین اندیس دیفرانسیل زمانی یکنواخت و اندیس دیفرانسیل مکانی را نشان می‌دهیم. همچنین، تعداد شرایط اولیه و مرزی را برای خانواده‌های منظم به دست می‌آوریم.

روش پسرو زمانی، مرکزی مکانی را برای حل عددی معادلات دیفرانسیل جبری جزیی به کار می‌بریم. در پایان، خطای برش کامل و خطای گسته‌سازی کامل را معرفی می‌کنیم و نرم‌شان را بررسی می‌کنیم.

کلمات کلیدی: اندیس اختلال، اندیس دیفرانسیل زمانی، اندیس دیفرانسیل مکانی، گسته‌سازی زمانی، گسته‌سازی فضایی



# فهرست مطالب

۱	۱	مفاہیم و تعاریف اولیه
۱	۱.۱	معادلات دیفرانسیل جزیی
۲	۱.۱.۱	روش‌های حل معادلات دیفرانسیل جزیی
۳	۲.۱.۱	دسته‌بندی <i>PDEs</i>
۴	۲.۱	معادلات دیفرانسیل جبری خطی با ضرایب ثابت
۶	۲.۱	تبديلات لaplas
۹	۱.۳.۱	تابع پله‌ای
۱۰	۴.۱	انتگرال فوریه
۱۰	۱.۴.۱	تعریف انتگرال فوریه
۱۱	۵.۱	حاصل‌ضرب کرونکر
۱۲	۶.۱	روش اویلر ضمنی
۱۵	۲	معادلات دیفرانسیل جبری جزیی ( <i>PDAEs</i> )
۱۵	۱.۲	تاریخچه
۱۶	۲.۲	متده
۱۸	۳.۲	اندیس‌های معادله دیفرانسیل جبری جزیی
۱۹	۱.۳.۲	تبديل لaplas و اندیس مکانی
۲۲	۲.۳.۲	تبديل فوریه و اندیس زمانی
۳۰	۳.۳.۲	اندیس اختلال <i>PDAE</i>
۳۲	۴.۲	نمایش پایدار جواب
۳۳	۵.۱	شرط مرزی و اولیه برای خانواده‌های منتظم ( $A, B$ )
۳۹	۳	حل <i>PDAEs</i> با روش‌های نیمه‌تحلیلی
۳۹	۱.۳	گسسته سازی مکانی و همگرایی
۴۱	۲.۳	گسسته سازی زمانی و همگرایی گسسته سازی کامل
۴۱	۱.۲.۳	روش <i>BTCS</i>
۵۰	۲.۳.۳	نمایش فوریه‌ی متناهی خطای گسسته سازی کامل



فهرست مطالب

خ

۵۳

۴ مثال عددی

۶۰

آ کد متلب مثال فصل ۴

۶۲

مراجع

۶۶

واژه‌نامه فارسی به انگلیسی

۶۸

واژه‌نامه انگلیسی به فارسی



# ۱ فصل

## مفاهیم و تعاریف اولیه

### ۱.۱ معادلات دیفرانسیل جزیی

اکثر قوانین طبیعی فیزیک، نظیر معادلات ماکسول<sup>۱</sup>، معادلات ناویه - استوکس،<sup>۲</sup> معادلات حرکت نیوتون<sup>۳</sup> و معادله‌ی شرودینگر<sup>۴</sup> در مکانیک کوانتوم، بر حسب معادلات دیفرانسیل جزیی (*PDE*)<sup>۵</sup> بیان شده‌اند. به عبارت دیگر، قوانین فوق، پدیده‌های فیزیکی را به وسیله‌ی ارتباط بین فضا و مشتقات آن نسبت به زمان توضیح می‌دهند. وجود مشتق در این معادلات به این دلیل است که مشتق‌ها پدیده‌ای طبیعی (مانند سرعت، شتاب، نیرو، اصطکاک، شار، شدت جریان) را نمایش می‌دهند. تعاریف و قضایای این فصل از مرجع [۱] بروداشت شده است.

تعریف ۱.۱.۱. یک معادله دیفرانسیل با مشتقات جزیی معادله‌ای شامل یک تابع و مشتقات آن می‌باشد که تابع مجهول به چند متغیر وابسته است و تقاؤت آن با معادله دیفرانسیل معمولی (*ODE*)<sup>۶</sup> در این است که در *ODE* تابع فقط به یک متغیر وابسته است.

در اینجا چند *PDE* معروف را معرفی می‌کنیم:

$$u_t = u_{xx} \quad (\text{معادله‌ی یک بعدی گرما})$$

$$u_t = u_{xx} + u_{yy} \quad (\text{معادله‌ی دو بعدی گرما})$$

$$u_{rr} + \frac{1}{r}u_r + \frac{1}{r^2}u_{\theta\theta} = 0 \quad (\text{معادله‌ی لالپاس در مختصات قطبی})$$

$$u_{tt} = u_{xx} + u_{yy} + u_{zz} \quad (\text{معادله‌ی سه بعدی موج})$$

<sup>۱</sup>Maxwell

<sup>۲</sup>Navier-Stokes

<sup>۳</sup>Newton

<sup>۴</sup>Schrodinger

<sup>۵</sup>Partial Differential Equation

<sup>۶</sup>Ordinary Differential Equation

$$u_{tt} = u_{xx} = \alpha u_t + \beta u \quad (\text{معادله تلگراف})$$

توجه کنید که:

$$u_t = \frac{\partial u}{\partial t}, \quad u_x = \frac{\partial u}{\partial x}, \quad u_{xx} = \frac{\partial^2 u}{\partial x^2}.$$

متنظر می‌شویم که در معادلات فوق تابع مجهول  $u$  همواره به بیش از یک متغیر وابسته است. متغیر  $u$  را که از آن مشتق می‌گیریم، متغیر وابسته و متغیرهایی که مشتق‌گیری نسبت به آن‌ها صورت می‌گیرد متغیرهای مستقل نامیده می‌شوند. به عنوان مثال، در معادله

$$u_t = u_{xx},$$

واضح است که متغیر وابسته  $(x, t)$   $u$  تابعی از دو متغیر مستقل  $x$  و  $t$  می‌باشد، حال آنکه در معادله

$$u_t = u_{rr} + \frac{1}{r} u_r + \frac{1}{r^2} u_{\theta\theta},$$

$u(r, \theta, t)$  به  $r$ ،  $\theta$  و  $t$  بستگی دارد.

### ۱.۱.۱ روش‌های حل معادلات دیفرانسیل جزیی

در ادامه مشاهده خواهیم کرد که روش‌های زیادی برای حل این معادلات وجود دارند، مهمترین آنها روش‌هایی هستند که  $PDEs$  را به  $ODEs$  تبدیل می‌کنند. در اینجا چند روش را معرفی می‌کنیم:

۱. جداسازی متغیرها : در این روش یک  $PDE$  با  $n$  متغیر را به  $n$  تا  $ODE$  تبدیل می‌کنیم.
۲. تبدیل‌های انتگرال : در این روش یک  $PDE$  با  $n$  متغیر مستقل را به یک  $PDE$  با  $1 - n$  متغیر تبدیل می‌کنیم، درنتیجه، یک  $PDE$  دو متغیره را می‌توان به یک  $ODE$  تبدیل کرد.
۳. تغییر مختصات : در این روش با تغییر مختصات مساله، مانند دوران محور،  $PDE$  را به یک  $PDE$  یا  $ODE$  ساده‌تر تبدیل می‌کنیم.
۴. تبدیل متغیر وابسته : در این روش مجهول یک  $PDE$  را به یک مجهول جدید که جواب ساده‌تر به دست می‌آید، تبدیل می‌کنیم.
۵. روش‌های عددی : در این روشها یک  $PDE$  را به یک دستگاه معادلات تقاضلی که بتوان آن را با روش تکراری توسط کامپیوتر حل کرد، تبدیل می‌کنیم.
۶. روش اختلال : این روش یک مساله‌ی غیرخطی را به چند مساله‌ی خطی که مساله‌ی غیرخطی را تقریب می‌کنند، تغییر می‌دهد.
۷. معادلات انتگرال : در این روش یک  $PDE$  را به یک معادله انتگرال، (معادله‌ای که در آن تابع مجهول داخل انتگرال است) تبدیل می‌کنیم. سپس معادله انتگرال را با روش‌های مختلف حل می‌کنیم.

۸. روش حساب تغییرات: در این روش جواب  $PDE$  را با تبدیل معادله به یک مساله مینیمیم‌سازی می‌یابیم. در نتیجه مینیمیم یک عبارت، منجر به جواب  $PDE$  می‌شود.

### ۲.۱.۱ $PDEs$ دسته‌بندی

معادلات دیفرانسیل جزیی به روش‌های مختلفی دسته‌بندی می‌شوند که چند نوع آن را به صورت زیر بیان می‌کنیم:

۱. مرتبه‌ی  $PDE$ : مرتبه‌ی بالاترین مشتق جزیی در معادله است، برای مثال:

$$u_t = u_{xx}, \quad (\text{مرتبه‌ی دوم}),$$

$$u_t = u_x, \quad (\text{مرتبه‌ی اول}),$$

$$u_t = uu_{xxx} + \sin x, \quad (\text{مرتبه‌ی سوم}).$$

۲. تعداد متغیرها: تعداد متغیرها مستقل است، برای مثال:

$$u_t = u_{xx}, \quad (t \text{ و } x \text{ دو متغیر}),$$

$$u_t = u_{rr} + \frac{1}{r}u_r + \frac{1}{r^2}u_{\theta\theta}, \quad (r, \theta \text{ و } t \text{ سه متغیر}).$$

۳. خطی و غیرخطی: معادلات دیفرانسیل جزیی را می‌توان به دو نوع خطی و غیرخطی تقسیم‌بندی نمود. در معادلات دیفرانسیل خطی متغیر وابسته‌ی  $u$  و همه مشتقاش به صورت خطی ظاهر می‌شوند. در حالت خاص، یک معادلات خطی مرتبه‌ی دوم دو متغیر به صورت زیر است:

$$Au_{xx} + Bu_{xy} + Cu_{yy} + Du_x + Eu_y + Fu = G, \quad (1.1)$$

که در آن  $A, B, C, D, E, F$  و  $G$  ثابت‌ها یا توابع معلومی برحسب  $x$  و  $y$  هستند. برای مثال:

$$utt = e^{-t}u_{xx} + \sin t, \quad (\text{خطی}),$$

$$uu_{xx} + u_t = 0, \quad (\text{غیرخطی}),$$

$$u_{xx} + yu_{yy} = 0, \quad (\text{خطی}),$$

$$xu_x + yu_y + u^2 = 0, \quad (\text{غیرخطی}).$$

۴. همگن‌بودن: معادله (۱.۱) را همگن گوییم، هرگاه  $G(x, y)$  برای هر  $x$  و  $y$  برابر صفر باشد، در غیر این صورت ناهمگن می‌نامیم.

۵. ضرایب: هرگاه ضرایب  $A, B, C, D, E$  و  $F$  در معادله (۱.۱) ثابت باشند، آنگاه (۱.۱) با ضرایب ثابت است. در غیر این صورت، با ضرایب متغیر می‌نامیم. سه نوع اساسی از معادلات دیفرانسیل جزیی خطی مانند (۱.۱) به صورت زیر می‌باشند:

(آ) سهموی،

(ب) هذلولوی،

(ج) بیضوی.

سهموی : معادلات سهموی روش‌های شارش گرما را توصیف و در شرط  $B^2 - 4AC = 0$  صدق می‌کنند.

هذلولوی : معادلات هذلولوی دستگاه‌های مرتعش و حرکت موج را توصیف و در شرط  $B^2 - 4AC > 0$  صدق می‌کنند.

بیضوی : معادلات بیضوی پدیده‌های حالت پایدار را توصیف و در شرط  $B^2 - 4AC < 0$  صدق می‌کنند.

مثال‌ها:

$$\text{الف: سهموی} \quad u_t = u_{xx}, \quad B^2 - 4AC = 0,$$

$$\text{ب: هذلولوی} \quad u = 0, \quad B^2 - 4AC = 1,$$

$$\text{ج: هذلولوی} \quad u_{tt} = u_{xx}, \quad B^2 - 4AC = 4,$$

$$\text{د: بیضوی} \quad u_{xx} + u_{yy} = 0, \quad B^2 - 4AC = -4,$$

ط:

$$yu_{xx} + u_{yy} = 0 \quad B^2 - 4AC = -4y \begin{cases} y > 0, & \text{بیضوی} \\ y = 0, & \text{سهموی} \\ y < 0, & \text{هذلولوی} \end{cases}$$

## ۲.۱ معادلات دیفرانسیل جبری خطی با ضرایب ثابت

شكل کلی معادلات دیفرانسیل جبری خطی مرتبه‌ی اول با ضرایب ثابت به صورت زیر می‌باشد:

$$AX'(t) + BX(t) = q(t), \quad (2.1)$$

که  $A$  و  $B$  ماتریس‌های مربعی ( $n \times n$ ) هستند و  $A$  منفرد می‌باشد. ابتدا خانواده ماتریس و ماتریس‌های پوچ توان را معرفی می‌کنیم. سپس قضیه‌ای را بیان می‌کنیم.

تعريف ۱.۲.۱. هرگاه  $A$  و  $B$  ماتریس‌های مختلف  $n \times n$  و مخالف صفر باشند، در این صورت خانواده ماتریس  $(A, B)$  را به صورت زیر نشان می‌دهیم:  

$$A + \lambda B, \lambda \in \mathbb{C}(\mathbb{R}).$$

تعريف ۲.۰.۱. هرگاه حداقل یک  $\lambda$  موجود باشد به طوری که  $\det(A + \lambda B) \neq 0$ ,

آنگاه خانواده ماتریس را منتظم می‌نامیم.

تعريف ۳.۰۲.۱. ماتریس مربعی  $N$  پوچ توان است، هرگاه حداقل یک عدد صحیح مثبت  $k$  موجود باشد که  $N^k = \circ$ .

مثال ۴.۰۲.۱. ماتریس  $M = \begin{pmatrix} \circ & 1 \\ \circ & \circ \end{pmatrix}$  یک ماتریس پوچ توان است. زیرا  $M^2 = \circ$ .

ماتریس مثلثی که درایه‌های قطر اصلی همگی صفر باشند، پوچ توان است.

مثال ۵.۰۲.۱. ماتریس  $N = \begin{pmatrix} \circ & 2 & 1 & 6 \\ \circ & \circ & 1 & 2 \\ \circ & \circ & \circ & 3 \\ \circ & \circ & \circ & \circ \end{pmatrix}$  پوچ توان است. داریم:

$$N^1 = \begin{pmatrix} \circ & \circ & 2 & 7 \\ \circ & \circ & \circ & 3 \\ \circ & \circ & \circ & \circ \\ \circ & \circ & \circ & \circ \end{pmatrix}.$$

$$N^2 = \begin{pmatrix} \circ & \circ & \circ & 6 \\ \circ & \circ & \circ & \circ \\ \circ & \circ & \circ & \circ \\ \circ & \circ & \circ & \circ \end{pmatrix}.$$

$$N^3 = \begin{pmatrix} \circ & \circ & \circ & \circ \\ \circ & \circ & \circ & \circ \\ \circ & \circ & \circ & \circ \\ \circ & \circ & \circ & \circ \end{pmatrix}.$$

قضیه ۶.۰۲.۱. برای خانواده ماتریس‌های نامتفق  $(A, B)$ ، ماتریس‌های  $E$  و  $F$  وجود دارند به طوری که

$$EAF = \begin{pmatrix} I & \circ \\ \circ & J \end{pmatrix}, \quad EBF = \begin{pmatrix} W & \circ \\ \circ & I \end{pmatrix},$$

که  $W$  یک ماتریس مربعی و  $J$  یک ماتریس بلوکی جردن پوچ توان می‌باشد. به عبارت دیگر  $\forall \mu \in \mathbb{N}$  موجود است به طوری که

$$J^{\mu-1} \neq \circ, \quad J^\mu = \circ.$$

$\mu$  اندیس<sup>۱</sup> خانواده ماتریس  $(A, B)$  و  $DAE$  <sup>۲</sup> نامیده می‌شود.

شکل کانونی کونکر خانواده  $(A, B)$  نامیده می‌شود. [۸]

<sup>۱</sup>Index

<sup>۲</sup>Differential Algebraic Equation

با قرار دادن

$$\begin{pmatrix} y \\ z \end{pmatrix} = F^{-1}X.$$

در (۲.۱) داریم:

$$EAF(F^{-1}X)' + EBF(F^{-1}X) = Eq(t).$$

بنابراین

$$\begin{pmatrix} I & 0 \\ 0 & J \end{pmatrix} \begin{pmatrix} y \\ z \end{pmatrix}' + \begin{pmatrix} W & 0 \\ 0 & I \end{pmatrix} \begin{pmatrix} y \\ z \end{pmatrix} = \begin{pmatrix} p(t) \\ r(t) \end{pmatrix}, \quad (۳.۱)$$

که دستگاه (۳.۱) معادل با دستگاه زیر است:

$$\begin{cases} y' + Wy = p(t), \\ Jz' + z = r(t). \end{cases} \quad (۴.۱)$$

معادله‌ی اول دستگاه (۴.۱) یک ODE می‌باشد.

در حالت  $\mu = 2$  داریم:  $0 = J^1 \neq J^2$ . سطر دوم (۴.۱) را در  $J$  ضرب می‌کنیم. در نتیجه

$$J^2z' + Jz = Jr, \quad (۵.۱)$$

داریم:  $0 = J^2$ . بنابراین  $Jz = Jr$ .

$$(Jz)' = (Jr)'.$$

$$z = r - Jz' = r - (Jr)',$$

همچنین، در حالت  $\mu = 3$  داریم:

$$z = \sum_{j=0}^{\mu-1} (-1)^j (J^j r)^{(j)}.$$

از طرفی  $X = F \begin{pmatrix} y \\ z \end{pmatrix}$  و در نتیجه  $\begin{pmatrix} y \\ z \end{pmatrix} = F^{-1}X$

$$X(0) = F \begin{pmatrix} y(0) \\ z(0) \end{pmatrix} = F \begin{pmatrix} y_0 \\ z_0 \end{pmatrix}.$$

## ۳.۱ تبدیلات لاپلاس

تعريف ۱.۳.۱. تابع  $f(t)$  را در یک بازه‌ی بسته، قطعه‌وار پیوسته گوییم، هرگاه این بازه اجتماعی از زیربازه‌های متناهی باشد به‌طوری که در هر یک از این زیربازه‌ها  $f(t)$  پیوسته و در نقاط مرزی تابع حد متناهی داشته باشد.

تعريف ۲.۳.۱. گوییم تابع  $f(t)$  وقتی  $\infty \rightarrow t$  از مرتبه‌ی نمایی است، هرگاه اعدادی مانند  $\alpha$ ،  $M$  و  $L$  موجود باشند به‌طوری که برای  $t \geq L$  داشته باشیم:

$$|f(t)| < M e^{\alpha t}. \quad (۶.۱)$$

تعريف ۳.۳.۱. هرگاه برای هر  $t \geq 0$  تابع  $f(t)$  معلوم باشد و  $p$  عددی حقیقی باشد به طوری که

$$F(p) = \int_0^\infty e^{-pt} f(t) dt, \quad (7.1)$$

برای مقادیر بزرگتر یا مساوی  $p$  همگرا باشد، آنگاه  $F(p)$  را تبدیل لاپلاس تابع  $f(t)$  می‌نامیم. تبدیل (7.1) را با نماد

$$T\{f(t)\} = F(p), \quad (8.1)$$

نشان می‌دهیم.

قضیه ۴.۳.۱. فرض کنیم  $f(t)$  در تمام بازه‌های متناهی ناحیه  $t \geq 0$  قطعه‌وار پیوسته و  $f(t)$  از مرتبه‌ی نمایی باشد، آنگاه تبدیل لاپلاس  $F(p)$  وقتی  $\infty \rightarrow t$ ، که به صورت

$$F(p) = \int_0^\infty e^{-pt} f(t) dt \quad p > \alpha, \quad (9.1)$$

تعريف می‌شود موجود و به طور مطلق همگراست. [۱]

رابطه‌ی بین  $F(p)$  و  $f(t)$  را با

$$T^{-1}\{F(p)\} = f(t), \quad (10.1)$$

نیز نشان می‌دهیم و  $\{F(p)\}$  را تبدیل معکوس  $F(p)$  می‌نامیم. برای مثال داریم:

$$\frac{1}{p-a} = T\{e^{at}\} \quad e^{at} = T^{-1}\left\{\frac{1}{p-a}\right\}.$$

تبدیل  $T$  خطی است، یعنی

$$T\{af(t) + bg(t)\} = aT\{f(t)\} + bT\{g(t)\} = aF(p) + bG(p). \quad (11.1)$$

با توجه به (11.1) و یکتا بودن تبدیلات معکوس داریم:

$$\begin{aligned} T^{-1}\{aF(p) + bG(p)\} &= aT^{-1}\{F(p)\} + bT^{-1}\{G(p)\} \\ &= af(t) + bg(t), \end{aligned} \quad (12.1)$$

همچنین

$$F(p+g) = \int_0^\infty e^{-(p+g)t} f(t) dt = \int_0^\infty e^{-pt} [e^{-gt} f(t)] dt. \quad (13.1)$$

در نتیجه

$$T\{e^{-gt} f(t)\} = F(p+g).$$

قضیه ۵.۳.۱. هرگاه برای هر  $t \geq a$ ،  $f(t)$  قطعه‌وار پیوسته باشد و برای ثابت مثبت  $M$  و هر  $t \geq M$ ،  $|f(t)| \leq M$  و  $\int_M^\infty g(t) dt$  همگرا باشد، آنگاه  $\int_a^\infty f(t) dt$  نیز همگراست. همچنین، هرگاه برای هر  $t \geq M$ ،  $\int_M^\infty g(t) dt \geq g(t) \geq 0$  و اگر  $\int_a^\infty f(t) dt \geq g(t) \geq 0$  باشد، آنگاه  $\int_a^\infty f(t) dt$  همگراست. [۱]

قضیه ۶.۳.۱. فرض کنیم  $f$  بر بازه‌ی  $[0, A]$  دلخواه پیوسته و  $f'$  قطعه‌ای پیوسته باشد. همچنین ثابت‌های  $M, k, a$  موجود باشند به طوری که برای هر  $t \geq M$ ،  $|f(t)| \leq Ke^{at}$ . در این صورت برای هر

$T\{f'(t)\}$  موجود است، همچنین

$$T\{f'(t)\} = sT\{f(t)\} - f(0). \quad (14.1)$$

نتیجه ۷.۳.۱. فرض کنیم  $f, f', \dots, f^{(n-1)}$  بر بازه  $t \leq A$  پیوسته و  $f^{(n)}$  بر این بازه قطعه‌ای پیوسته باشد. همچنین ثابت‌های  $K, a$  و  $M$  موجود باشند که برای  $|f(t)| \leq Ke^{at}$ ،  $t \geq M$  و برای  $|f^{(n-1)}(t)| \leq Ke^{at}$ ،  $|f'(t)| \leq Ke^{at}$  در این صورت  $s > a$  موجود و برابر است با

$$T\{f^{(n)}(t)\} = s^n T\{f(t)\} - s^{n-1} f(\circ) - \dots - s f^{(n-1)}(\circ) - f^{(n-1)}(\circ). \quad (15.1)$$

مثال ۸.۳.۱. جواب معادله دیفرانسیل زیر را بباید:

$$y'' + y = \sin 2t, \quad (16.1)$$

که در شرایط اولیه

$$y(\circ) = 2, \quad y'(\circ) = 1, \quad (17.1)$$

صدق می‌کند. فرض کنیم این مساله‌ی مقدار اولیه جواب  $y = \phi(t)$  داشته باشد که با دو مشتق اول خود در شرایط نتیجه‌ی (۷.۳.۱) صدق می‌کند. در این صورت با گرفتن تبدیل لاپلاس از معادله دیفرانسیل، داریم:

$$s^2 Y(s) - sy(\circ) - y'(\circ) + Y(s) = \frac{2}{(s^2 + 4)}.$$

در نتیجه

$$Y(s) = \frac{2s^2 + s^2 + 8s + 6}{(s^2 + 1)(s^2 + 4)}. \quad (18.1)$$

با استفاده از کسرهای جزیی می‌توان  $Y(s)$  را به صورت

$$\begin{aligned} Y(s) &= \frac{as + b}{s^2 + 1} + \frac{cs + d}{s^2 + 4} \\ &= \frac{(as + b)(s^2 + 4) + (cs + d)(s^2 + 1)}{(s^2 + 1)(s^2 + 4)}, \end{aligned} \quad (19.1)$$

نوشت. در نتیجه

$$2s^2 + s^2 + 8s + 6 = (a + c)s^2 + (b + d)s^2 + (4a + c)s + (4b + d).$$

بنابراین

$$a + c = 2, \quad b + d = 1,$$

$$4a + c = 8, \quad 4b + d = 6.$$

در نتیجه  $d = -\frac{2}{3}$  و  $b = \frac{5}{3}$ ،  $c = 0$ ،  $a = 2$  که داریم:

$$Y(s) = \frac{2s}{s^2 + 1} + \frac{\frac{5}{3}}{s^2 + 1} - \frac{\frac{2}{3}}{s^2 + 4}.$$

در نتیجه

$$y = \phi(t) = 2 \cos t + \frac{5}{3} \sin t - \frac{2}{3} \sin 2t.$$

### ۱.۳.۱ توابع پله‌ای

در این بخش چند خاصیت دیگر تبدیل لاپلاس را معرفی می‌کنیم. تابع را با  $u_c$  نشان می‌دهیم و به صورت زیر تعریف می‌کنیم:

$$u_c(t) = \begin{cases} 0, & t < c, \\ 1, & t \geq c, \end{cases} \quad (20.1)$$

که در آن  $c \geq 0$

برای تابع  $f(t)$ ، به ازای  $t \geq 0$ ، تابع  $g$  را به صورت

$$y = g(t) = \begin{cases} 0 & t < c, \\ f(t - c) & t \geq c, \end{cases}$$

که انتقال  $f$  را به اندازه  $c$  در جهت مثبت  $t$  نشان می‌دهد تعریف می‌کنیم.  $(g(t))$  را با تابع پله‌ای واحد به صورت زیر می‌توان نوشت:

$$g(t) = u_c(t)f(t - c).$$

قضیه ۱.۳.۱ هرگاه برای هر  $s > a \geq 0$  موجود و  $F(s) = T\{f(t)\}$  تابع مشبّتی باشد، آنگاه

$$T\{u_c(t)f(t - c)\} = e^{-cs}T\{f(t)\} = e^{-cs}F(s), \quad s > a. \quad (21.1)$$

بر عکس، هرگاه  $f(t) = T^{-1}\{F(s)\}$ ، آنگاه  
 $u_c(t)f(t - c) = T^{-1}\{e^{-cs}F(s)\}. \quad (22.1)$

مثال ۱.۳.۱ هرگاه تابع  $f$  به صورت زیر تعریف شود:

$$f(t) = \begin{cases} \sin t, & 0 \leq t < \frac{\pi}{4}, \\ \sin t + \cos(t - \frac{\pi}{4}), & t \geq \frac{\pi}{4}. \end{cases}$$

را می‌یابیم. توجه می‌کنیم که در آن  $T\{f(t)\}$

$$g(t) = \begin{cases} 0 & t < \frac{\pi}{4}, \\ \cos(t - \frac{\pi}{4}) & t \geq \frac{\pi}{4}. \end{cases}$$

بنابراین

$$g(t) = u_{\frac{\pi}{4}}(t) \cos(t - \frac{\pi}{4}),$$

و

$$\begin{aligned} T\{f(t)\} &= T\{\sin t\} + T\{u_{\frac{\pi}{4}}(t) \cos(t - \frac{\pi}{4})\} \\ &= T\{\sin t\} + e^{-\frac{\pi s}{4}} T\{\cos t\}. \end{aligned} \quad (23.1)$$

با استفاده از تبدیلات لاپلاس داریم:

$$\mathcal{L}\{f(t)\} = \frac{1}{s^2 + 1} + e^{-\frac{\pi s}{4}} \frac{s}{s^2 + 1} = \frac{1 + se^{-\frac{\pi s}{4}}}{s^2 + 1}$$

مثال ۱۱.۳.۱. تبدیل معکوس تابع زیر را به دست آورید:

$$F(s) = \frac{1 - e^{-2s}}{s^2}.$$

با استفاده از ویژگی خطی تبدیل معکوس داریم:

$$\begin{aligned} f(t) &= T^{-1}\{F(s)\} = T^{-1}\left\{\frac{1}{s^2}\right\} - T^{-1}\left\{\frac{e^{-2s}}{s^2}\right\} \\ &= t - u_2(t)(t - 2). \end{aligned} \quad (۲۴.۱)$$

تابع  $f$  را می‌توان به صورت زیر نوشت:

$$f(t) = \begin{cases} t, & 0 \leq t < 2, \\ 2, & t \geq 2. \end{cases}$$

قضیه ۱۲.۳.۱. [۱] فرض کنیم برای هر  $s > a \geq 0$  موجود و  $c$  ثابت مثبت باشد، آنگاه

$$T\{e^{ct}f(t)\} = F(s - c), \quad s > a + c. \quad (۲۵.۱)$$

$$\begin{aligned} \text{برعکس، هرگاه } f(t) &= T^{-1}\{F(s)\}, \\ e^{ct}f(t) &= T^{-1}\{F(s - c)\}. \end{aligned} \quad (۲۶.۱)$$

## ۴.۱ انتگرال فوريه

هرگاه تابعی متناوب باشد، آنگاه بسطی به صورت سری فوريه دارد. اگر تابعی چنین خاصیتی نداشته باشد، آنگاه نمایشی انتگرالی شبیه بسط فوريه دارد. برای این منظور، تابع باید بر  $\mathbb{R}$  تعریف شده باشد.

### ۱.۴.۱ تعریف انتگرال فوريه

تعریف ۱.۴.۱. انتگرال فوريه<sup>۱</sup> تابع  $f$  به صورت زیر است:

$$\frac{1}{\pi} \int_0^\infty dy \int_{-\infty}^\infty f(t) \cos y(x-t) dt.$$

مثال ۲.۴.۱. هرگاه تابع  $f$  به صورت زیر تعریف شده باشد:

$$f(t) = 1, \quad |t| \leq 1; \quad f(t) = 0, \quad |t| > 1,$$

در این صورت انتگرال فوريه<sup>۱</sup>  $f$  به صورت زیر است:

$$\begin{aligned} &\frac{1}{\pi} \int_0^\infty dy \int_{-1}^1 (\cos xy \cos ty + \sin xy \sin ty) dt \\ &= \frac{2}{\pi} \int_0^\infty \cos xy dy \int_0^1 \cos ty dt = \frac{2}{\pi} \int_0^\infty \frac{\sin y \cos xy}{y} dy. \end{aligned} \quad (۲۷.۱)$$

<sup>۱</sup>Fourier Integral

تعريف ۳.۴.۱. تابع  $g$  با ضابطه  $f$

$$g(x) = \sqrt{\frac{2}{\pi}} \int_0^\infty f(t) \cos xt dt, \quad (28.1)$$

را تبدیل کسینوسی فوریه‌ی  $f$  می‌نامیم.

تعريف ۴.۴.۱. تابع  $g$  با ضابطه  $f$

$$g(x) = \sqrt{\frac{2}{\pi}} \int_0^\infty f(t) \sin xt dt, \quad (29.1)$$

را تبدیل سینوسی فوریه‌ی  $f$  می‌نامیم.

## ۵.۱ حاصل ضرب کرونکر

هرگاه  $A$  یک ماتریس  $m \times n$  و  $B$  یک ماتریس  $p \times q$  باشد، آنگاه حاصل ضرب کرونکر<sup>۱</sup>  $A \otimes B$  ماتریس بلوکی  $mp \times nq$  زیر است:

$$A \otimes B = \begin{pmatrix} a_{11}B & \cdots & a_{1n}B \\ \vdots & & \vdots \\ a_{m1}B & \cdots & a_{mn}B \end{pmatrix}$$

برای مثال داریم:

$$\begin{pmatrix} 1 & 2 \\ 3 & 4 \end{pmatrix} \otimes \begin{pmatrix} 0 & 5 & 0 & 10 \\ 6 & 7 & 12 & 14 \\ 0 & 15 & 0 & 20 \\ 10 & 21 & 24 & 28 \end{pmatrix}$$

همچنین روابط زیر برقرارند:

$$A \otimes (B + C) = A \otimes B + A \otimes C,$$

$$(A + B) \otimes C = A \otimes C + B \otimes C,$$

$$(kA) \otimes B = A \otimes (kB) = k(A \otimes B),$$

$$(A \otimes B) \otimes C = A \otimes (B \otimes C).$$

در حالت کلی  $A \otimes B \neq B \otimes A$ ، ولی ماتریس‌های تبدیل (جایگشت)  $P$  و  $Q$  وجود دارند که:

$$A \otimes B = P(B \otimes A)Q.$$

همچنین  $A \otimes B$  معکوس پذیر است، اگر و تنها اگر  $A$  و  $B$  معکوس پذیر باشند و داریم:

$$(A \otimes B)^{-1} = A^{-1} \otimes B^{-1}, \quad (A \otimes B)^* = A^* \otimes B^*,$$

که  $*$  به معنی ترانهادی مزدوج است و

$$A^* = (\bar{A})^T = (\bar{A}^T).$$

<sup>۱</sup>Kronecker Product

در قسمت بعد، روش اویلر ضمنی را برای معادلات دیفرانسیل معرفی می‌کنیم که بعداً مورد استفاده قرار می‌گیرند.

## ۶.۱ روش اویلر ضمنی

فرض کنیم معادله‌ی زیر را داشته باشیم:

$$Ey' = Ay + \gamma(t).$$

در این صورت روش اویلر ضمنی<sup>۱</sup> برای معادله‌ی فوق به صورت زیر است:

$$E \frac{(y_{n+1} - y_n)}{h} = Ay_{n+1} + \gamma(t_{n+1}),$$

که  $h$  گام زمان می‌باشد. بنابراین

$$E(y_{n+1} - y_n) = h(Ay_{n+1} + \gamma(t_{n+1})).$$

در نتیجه

$$y_{n+1}(E - Ah) = Ey_n + h\gamma(t_{n+1}),$$

که داریم:

$$y_{n+1} = (E - Ah)^{-1}(Ey_n + h\gamma(t_{n+1})).$$

جواب دقیق ( $y(t_n)$ ) در رابطه‌ی زیر صدق می‌کند:

$$E\left(\frac{(y(t_{n+1}) - y(t_n))}{h} + h \frac{y''(\xi)}{\gamma}\right) = Ay(t_{n+1}) + \gamma(t_{n+1}). \quad (۳۰.۱)$$

با تعریف  $e_n = y(t_n) - y_n$  داریم:

$$e_{n+1} = (E - Ah)^{-1}\left(Ee_n - h \frac{y''(\xi)}{\gamma}\right),$$

که  $e_n = 0$  زیرا از (۳۰.۱) داریم:

$$E\left(\frac{(y(t_{n+1}) - y(t_n))}{h}\right) - Ay(t_{n+1}) = \gamma(t_{n+1}) - E\left(h \frac{y''(\xi)}{\gamma}\right).$$

بنابراین

$$E\left(\frac{y(t_{n+1})}{h}\right) - Ay(t_{n+1}) = E\left(\frac{y(t_n)}{h}\right) + \gamma(t_{n+1}) - E\left(h \frac{y''(\xi)}{\gamma}\right).$$

در نتیجه به دست می‌آوریم:

$$Ey(t_{n+1}) - Ahy(t_{n+1}) = h\left(E\left(\frac{y(t_n)}{h}\right) + \gamma(t_{n+1}) - E\left(h \frac{y''(\xi)}{\gamma}\right)\right).$$

بنابراین داریم:

$$y(t_{n+1})(E - Ah) = h\left(E\left(\frac{y(t_n)}{h}\right) + \gamma(t_{n+1}) - E\left(h \frac{y''(\xi)}{\gamma}\right)\right).$$

<sup>۱</sup>Implicit Euler Method

در نتیجه

$$y(t_{n+1}) = (E - Ah)^{-1} h \left( E\left(\frac{y(t_n)}{h}\right) + \gamma(t_{n+1}) - E(h\frac{y''(\xi)}{\gamma}) \right).$$

بنابراین داریم

$$\begin{aligned} e_{n+1} &= y(t_{n+1}) - y_{n+1} \\ &= (E - Ah)^{-1} [E(y(t_n) - h\frac{y''(\xi)}{\gamma}) + h\gamma(t_{n+1})] \\ &\quad - (E - Ah)^{-1} [Ey_n + h\gamma(t_{n+1})] \\ &= (E - Ah)^{-1} (Ee_n - h\frac{y''(\xi)}{\gamma}). \end{aligned} \tag{۳۱.۱}$$



## ۲ فصل

# معادلات دیفرانسیل جبری جزیی ( $PDAEs$ )

### ۱.۲ تاریخچه

مدل‌های ریاضی زیادی در علوم و مهندسی وجود دارند که منجر به دستگاه‌های معادلات مختلفی می‌شوند. ممکن است این دستگاه‌ها شامل یکی از موارد زیر باشند:

الف. معادلات دیفرانسیل سهموی و بیضوی،

ب. معادلات دیفرانسیل سهموی، بیضوی و معمولی،

ج. معادلات دیفرانسیل بیضوی و معمولی و معادلات جبری.

شرط زیادی برای ترکیب این نوع معادلات وجود دارند. این معادلات باید با شرایط اولیه<sup>۱</sup> و شرایط مرزی<sup>۲</sup> مناسبی کامل شوند. چنین دستگاه‌هایی را می‌توان با تبدیلات لاپلاس و یا تبدیلات فوریه به دنباله‌ای از معادلات دیفرانسیل جبری<sup>۳</sup> تبدیل کرد. دستگاه اولیه را معادله دیفرانسیل جبری جزیی<sup>۴</sup> می‌نامیم. روش‌های زیادی برای حل این نوع معادلات وجود دارند. برخی از آنها را ذکر می‌کنیم. در سال ۲۰۰۳ اسچیتکویسکی<sup>۵</sup> برآش داده‌ها را در معادلات دیفرانسیل جبری جزیی مطرح کرد. برای این منظور یک روش عددی را برای تخمین پارامترها در سیستم‌هایی از معادلات دیفرانسیل جبری جزیی یک بعدی معرفی کرد. در این روش پس از مشاهده زمان و اندازه‌گیری، مینیمم مربعات فاصله‌ی داده از یک برآش مقیاس محاسبه می‌شود که وابسته به جواب سیستم دینامیکی است. هدف اصلی، ارائه‌ی کاربردهای عملی صنعت روی پیچیدگی سیستم‌های معادلات دیفرانسیل جزیی است. روش فوق در داروشناسی، زمین‌شناسی، مهندسی مکانیک، مهندسی شیمی، مهندسی صنایع غذایی و مهندسی برق است.

<sup>۱</sup>Initial Conditions

<sup>۲</sup>Boundary Conditions

<sup>۳</sup>Differential Algebraic Equations

<sup>۴</sup>Partial Differential Algebraic Equation

<sup>۵</sup>Schittkowski

در سال ۲۰۰۴ دبراپانت<sup>۱</sup> و استرحمل<sup>۲</sup> همگرایی روش‌های رانگه کوتا<sup>۳</sup> را برای معادلات دیفرانسیل جبری جزئی خطی بررسی کردند. روش فوق به صورت زیر است:

$$Au_t(t, x) + B(u_{xx}(t, x) + ru_x(t, x)) + Cu(t, x) = f(t, x),$$

که در آن  $A, B, C \in \mathbb{R}^{n \times n}$  و ماتریس  $A$  منفرد است. در این روش تحت شرایط خاصی مرتبه‌ی همگرایی طرح کاملاً گستته‌ی وابسته به اندیس زمانی  $PDAE$  در نظر گرفته می‌شود. همچنین ثابت می‌شود که طرح کاملاً گستته‌ی یک تقلیل مرتبه‌ای دارد که با شرایط مرزی به دست می‌آید.

در سال ۲۰۰۴ لاجت<sup>۴</sup> سیستم‌های دیفرانسیل جبری جزئی مرتبه‌ی دوم متقارن را بررسی نمود. در این روش مساله‌ی مقدار مرزی اولیه‌ی خطی و بعضی از معادلات دیفرانسیل جبری جزئی مرتبه‌ی اول متقارن در نظر گرفته می‌شوند که نسبت به متغیرهای فضایی به وسیله‌ی روش المان‌های محدود استاندارد نیمه‌گستته می‌شوند. هدف از این روش به دست آوردن نتایج همگرایی<sup>۵</sup> برای سیستم‌های نیمه‌گستته است که پارامتر مش المان‌های محدود  $h$  به صفر میل می‌کند. مطابق با بسیاری از کاربردهای عملی، ممکن است قسمت‌های هذلولوی داشته باشد.

## ۲.۱ مقدمه

معادله دیفرانسیل جبری جزئی خطی به صورت زیر است:

$$Au_t(t, x) + Bu_{xx}(t, x) + Cu(t, x) = f(t, x),$$

که در آن حداقل یکی از ماتریس‌های  $A, B \in \mathbb{R}^{n \times n}$  منفرد است. برای این سیستم یک اندیس دیفرانسیل زمانی و یک اندیس دیفرانسیل مکانی را معرفی می‌کنیم. این اندیس‌ها به ترتیب به وسیله‌ی یک تبدیل فوریه و لاپلاس مشخص می‌شوند. علاوه بر این یک جفت اندیس اختلال را تعریف می‌کنیم و رابطه‌ی بین جفت اندیس اختلال و دو اندیس دیفرانسیل را بیان می‌کنیم. در پایان روش  $BTCS$  را برای حل عددی به کار می‌بریم.

مثال ۱.۲.۲. مدل‌سازی یک متحرک عمومی با  $n$  گونه در وابستگی  $m$  منبع غذا که به دلخواه توزیع می‌شوند، به صورت زیر است: ([۲]، [۱۵])

$$\frac{\partial u_j}{\partial t} = D\Delta u_j + f_j(u, v), \quad j = 1, \dots, n,$$

$$\frac{\partial v_i}{\partial t} = g_i(u, v), \quad i = 1, \dots, m,$$

که در آن  $u = (u_1, \dots, u_n)^T$  و  $v = (v_1, \dots, v_m)^T$  بردار چگالی منبع غذا<sup>۶</sup> هستند.

<sup>۱</sup>Debrabant

<sup>۲</sup>Strehmel

<sup>۳</sup>Runge-Kutta

<sup>۴</sup>Lucht

<sup>۵</sup>Species Density

<sup>۶</sup>Food Source Density

فرض کنیم کمیت‌های  $g_j, f_j, u_j$  و شرایط اولیه و مرزی مشخص باشند. غلظت  $u_j$  ماده‌ی در حال پخش است در حالی که غلظت  $v$ ، ماده‌ی است که اجسامش نمی‌توانند پخش شوند.

همانطور که بیان کردیم، معادلات دیفرانسیل جبری جزئی به صورت زیر می‌باشند:

$$Au_t(t, x) + Bu_{xx}(t, x) + Cu(t, x) = f(t, x), \quad (1.2)$$

که در آن  $t \in [0, t_e] \times [-l, l] \rightarrow \mathbb{R}^n$  و  $A, B, C \in \mathbb{R}^{n \times n}$ ،  $x \in (-l, l)$  و  $f : [0, t_e] \times [-l, l] \rightarrow \mathbb{R}^n$ . فرض کنیم حداقل یکی از ماتریس‌های  $A$  و  $B$  منفرد است. حالت‌های  $A = 0$  یا  $B = 0$  به معادلات دیفرانسیل معمولی یا جبری منجر می‌شوند. بنابراین فرض می‌کنیم ماتریس‌های  $A$  و  $B$  صفر نباشند. برای مولفه‌های  $u_j$  از  $u$ ، شرایط مرزی زیر برای  $\{1, 2, \dots, n\} \subseteq M_{BC} \subseteq \{1, 2, \dots, n\}$  برقرار است (مجموعه اندیس<sup>۱</sup>  $M_{BC}$  در بخش‌های بعدی مشخص می‌شود):

$$\mathcal{R}_B u_j(t, x) = \frac{\partial^k u_j}{\partial x^k}(t, \pm l) = 0, \quad k = 0, 1, \quad (2.2)$$

که در آن  $t \in [0, t_e]$ . همچنین شرایط اولیه‌ی زیر برقرار است:

$$u(0, x) = g(x), \quad x \in [-l, l]. \quad (3.2)$$

مولفه‌های  $g_j$  از  $g$  برای  $j \in M_{IC} \subseteq \{1, 2, \dots, n\}$  در بخش‌های بعدی مشخص می‌شود) را می‌توان تعیین کرد.

همچنین، شرایط سازگاری<sup>۲</sup>

$$\mathcal{R}_B g(x) = \mathcal{R}_B u(0, x), \quad (4.2)$$

بین شرایط اولیه و مرزی برقرار است.

در مسایلی که ماتریس‌های  $A$  یا  $B$  منفرد هستند، باید شرایط پایداری<sup>۳</sup> بین شرایط اولیه و مرزی برقرار باشد. در مثال زیر، به این مطلب اشاره می‌کنیم.

مثال ۲.۰.۲. فرض کنید  $u = (u_1, u_2, u_3)^T$  و داشته باشیم:

$$\begin{pmatrix} 1 & 0 & 0 \\ 0 & a & 0 \\ 0 & 0 & 0 \end{pmatrix} \begin{pmatrix} u_{1t} \\ u_{2t} \\ u_{3t} \end{pmatrix} + \begin{pmatrix} -1 & 0 & 0 \\ 0 & -b & 0 \\ 0 & 0 & 0 \end{pmatrix} \begin{pmatrix} u_{1xx} \\ u_{2xx} \\ u_{3xx} \end{pmatrix} + \begin{pmatrix} 0 & c_1 & 0 \\ 0 & 0 & c_2 \\ 0 & c_3 & 0 \end{pmatrix} \begin{pmatrix} u_1 \\ u_2 \\ u_3 \end{pmatrix} = \begin{pmatrix} f_1 \\ f_2 \\ f_3 \end{pmatrix},$$

که شرایط اولیه و مرزی به صورت زیر می‌باشند:

$$u_j(t, -1) = u_j(t, 1) = 0, \quad j \in M_{BC},$$

$$u_j(0, x) = g_j(x) \sin(\pi x), \quad i \in M_{IC},$$

که در آن  $t \in (0, t_e)$ ،  $x \in (-1, 1)$ ،  $t \in (0, t_e)$ ،  $x \in (-1, 1)$ ،  $i = 1, 2, 3$  و  $c_i \neq 0$ ،  $a, b > 0$ ،  $f_i(t, x)$  به قدر کافی هموار هستند. عبارت  $\sin(\pi x)$  پایداری بین شرایط اولیه و مرزی را برقرار می‌کند.

<sup>۱</sup>Index Set

<sup>۲</sup>Compatibility Conditions

<sup>۳</sup>Consistency Conditions

در نتیجه، داریم:

$$u_{1t} - u_{1xx} + c_1 u_2 = f_1(t, x). \quad (5.2)$$

$$a u_{2t}(t, x) - b u_{2xx}(t, x) + c_2 u_3(t, x) = f_2(t, x). \quad (6.2)$$

$$c_3 u_3(t, x) = f_3(t, x). \quad (7.2)$$

در نتیجه داریم:

$$u_2(t, x) = \frac{1}{c_1} f_1(t, x). \quad (8.2)$$

$$u_{2t}(t, x) = \frac{1}{c_1} f_{1t}(t, x), \quad u_{2xx}(t, x) = \frac{1}{c_1} f_{1xx}(t, x).$$

بنابراین از معادله‌ی (۶.۲) داریم:

$$c_2 u_3(t, x) = f_2(t, x) - \frac{a}{c_1} f_{1t}(t, x) + \frac{b}{c_1} f_{1xx}(t, x).$$

در نتیجه

$$u_3(t, x) = \frac{1}{c_2} \left( f_2(t, x) - \frac{a}{c_1} f_{1t}(t, x) + \frac{b}{c_1} f_{1xx}(t, x) \right). \quad (9.2)$$

از (۸.۲) و (۹.۲) نتیجه می‌گیریم که  $u_2$  و  $u_3$  را نمی‌توان به دلخواه انتخاب کرد. همچنین، هیچ شرطی برای  $u_1$  به دست نیاوردیم. پس  $u_1$  باید در شرایط اولیه و مرزی صدق کند. در نتیجه  $M_{IC} = M_{BC}$  است.

{۱}. از (۵.۲) داریم:

$$\begin{aligned} u_{1t}(t, x) &= f_1(t, x) + u_{1xx}(t, x) - c_1 u_2(t, x) \\ &= u_{1xx}(t, x) + f_1(t, x) - \frac{c_1}{c_2} f_3(t, x). \end{aligned} \quad (10.2)$$

$u_1$  باید در شرایط اولیه و مرزی صدق کند، در نتیجه:

$$u_1(t, -1) = u_1(t, 1) = 0, \quad u_1(0, x) = g_1(x) \sin(\pi x).$$

در قسمت بعدی اندیس دیفرانسیل مکانی و اندیس دیفرانسیل زمانی یکنواخت را به ترتیب با استفاده از تبدیل لاپلاس و فوریه معرفی می‌کنیم. اگر  $B$  ماتریس صفر باشد، آنگاه اندیس دیفرانسیل زمانی معادل با اندیس DAE است. همچنین، زوج اندیس اختلال را در بخش‌های بعدی تعریف می‌کنیم. در پایان نتیجه می‌گیریم زوج اندیس اختلال می‌تواند بر حسب اندیس دیفرانسیل مکانی و اندیس دیفرانسیل زمانی یکنواخت بیان شود.

در مثال ۲.۲ مشاهده کردیم که در حالت کلی شرایط مرزی و اولیه نمی‌تواند برای تمام مولفه‌های بردار  $u$  مشخص شود. برای این منظور مجموعه‌های اندیس  $M_{IC}$  و  $M_{BC}$  را تعریف می‌کنیم و نشان می‌دهیم این مجموعه‌ها می‌توانند با استفاده از ماتریس‌های  $A$ ،  $B$  و  $C$  تعیین شوند.

### ۳.۲ اندیس‌های معادله دیفرانسیل جبری جزئی

همانطور که یادآوری کردیم، دو نوع اندیس دیفرانسیل برای PDAE وجود دارد که به ترتیب اندیس دیفرانسیل مکانی و زمانی نامیده می‌شوند. اندیس دیفرانسیل مکانی و زمانی را به ترتیب با استفاده از

تبدیل لaplas و فوریه تعیین می‌کنیم. همچنین اندیس اختلال را برای PDAE معرفی می‌کنیم که با اختلالات کوچک روی جواب PDAE تعیین می‌شود.  
در ادامه‌ی بحث، فرض کنیم شرایط زیر برقرار باشند:

۱. مساله‌ی مقدار مرزی اولیه<sup>۱</sup> (۱.۲) تا (۴.۲)

۲. مولفه‌های  $u$  در شرط زیر صدق می‌کنند:

$$|u_i(t, x)| \leq M e^{\alpha t}, \quad i = 1, \dots, n,$$

( $M$  و  $\alpha$  مستقل از  $x$  هستند).

۳. خانواده ماتریس<sup>۲</sup>  $(B, \xi A + C)$   $Re(\xi) > \alpha$  منظم است.

۴. خانواده ماتریس  $(A, \mu_k B + C)$  برای هر  $k$  منظم است که  $\mu_k$  مقدار ویژه عملگر  $\frac{\partial}{\partial x^k}$  با شرایط مرزی (۲.۲) است.

۵. بردار  $f(t, x)$  و بردار اولیه  $g(x)$  به قدر کافی هموار هستند.

## ۱.۳.۲ تبدیل لaplas و اندیس مکانی

فرض کنیم  $y(0) = t_e = \infty$  و  $y(\infty) = 0$ :  $y$  پیوسته و از مرتبه نمایی باشد. به عبارت دیگر در رابطه‌ی زیر صدق کند:

$$|y(t)| \leq M e^{\alpha t}; \quad \forall t \in [0, \infty), \quad \exists 0 < M < \infty, \quad \alpha > 0.$$

تبدیل لaplas  $(t)$   $y$  به صورت زیر تعریف می‌شود:

$$y_\xi = \int_0^\infty e^{-t\xi} y(t) dt, \quad Re(\xi) > \alpha.$$

با استفاده از فرض ۲ در بخش ۳.۲ داریم:

$$|u_i(t, x)| \leq M e^{\alpha t}.$$

درنتیجه می‌توان از  $u$  تبدیل لaplas گرفت. تبدیل لaplas  $(t)$   $y$  را با  $y_\xi$  نشان می‌دهیم. در نتیجه تبدیل لaplas  $(x)$   $u$  برابر  $u_\xi(x)$  می‌باشد. داریم:

$$u_\xi(x) = \int_0^\infty e^{-t\xi} u(t, x) dt.$$

همچنین:

$$\begin{aligned} L\{u_t(t, x)\} &= \int_0^\infty e^{-t\xi} u_t(t, x) dt \\ &= e^{-t\xi} u(t, x) \Big|_0^\infty + \xi \int_0^\infty e^{-t\xi} u(t, x) dt \\ &= -g(x) + \xi u_\xi(x). \end{aligned} \tag{۱۱.۲}$$

<sup>۱</sup>Initial Boundary Value Problem

<sup>۲</sup>Matrix Pencil

در نتیجه از (۱۰.۲) داریم:

$$A(\xi u_\xi(x) - g(x)) + Bu_\xi''(x) + Cu_\xi(x) = f_\xi(x).$$

بنابراین:

$$Bu_\xi''(x) + (\xi A + C)u_\xi(x) = f_\xi(x) + Ag(x), \quad Re(\xi) > \alpha. \quad (12.2)$$

که در آن  $g(x)$  بردار اولیه (۳.۲) است. اگر ماتریس  $B$  منفرد باشد، آنگاه (۱۲.۲) یک DAE وابسته به  $\xi$  است و تحت شرایط بخش ۳.۲ معادله (۱۲.۲) جواب یکتا دارد.

برای تعریف اندیس مکانی، شکل نرمال کرونکر<sup>۱</sup> (۱۲.۲) را به کار می‌بریم. بنا به فرض

از بخش ۳.۲ نتیجه می‌گیریم ماتریس‌های منتظم  $P_{L,\xi}, Q_{L,\xi} \in \mathbb{R}^{n \times n}$  وجود دارند به طوری که [۸]

$$P_{L,\xi} B Q_{L,\xi} = \begin{pmatrix} I_{m_1} & \circ \\ \circ & N_{L,\xi} \end{pmatrix}, \quad P_{L,\xi} (\xi A + C) Q_{L,\xi} = \begin{pmatrix} R_{L,\xi} & \circ \\ \circ & I_{m_1} \end{pmatrix}. \quad (13.2)$$

ماتریس مربعی  $N_{L,\xi} \in \mathbb{R}^{m_1 \times m_1}$  یک ماتریس جردن زنجیری پوچ توان است که  $R_{L,\xi} \in \mathbb{R}^{m_1 \times m_1}$  و  $(N_{L,\xi})^{v_{L,\xi}-1} \neq \circ$  ماتریس همانی است.  $I_k \in \mathbb{R}^{k \times k}, k \in \{m_1, m_2\}$  و  $m_1 + m_2 = n$  با توجه به معادله (۱۲.۲) می‌توان نوشت:

$$\begin{aligned} & P_{L,\xi} B Q_{L,\xi} Q_{L,\xi}^{-1} u_\xi''(x) + P_{L,\xi} (\xi A + C) Q_{L,\xi} Q_{L,\xi}^{-1} u_\xi(x) \\ &= P_{L,\xi} f_\xi(x) + P_{L,\xi} Ag(x) = P_{L,\xi} (f_\xi(x) + Ag(x)). \end{aligned} \quad (14.2)$$

تعریف می‌کنیم:

$$P_{L,\xi} (f_\xi(x) + Ag(x)) := (r_{\xi,1}(x), r_{\xi,2}(x))^T,$$

و

$$Q_{L,\xi}^{-1} u_\xi(x) := (v_\xi(x), w_\xi(x))^T.$$

در نتیجه

$$\begin{pmatrix} I_{m_1} & \circ \\ \circ & N_{L,\xi} \end{pmatrix} \begin{pmatrix} v_\xi''(x) \\ w_\xi''(x) \end{pmatrix} + \begin{pmatrix} R_{L,\xi} & \circ \\ \circ & I_{m_1} \end{pmatrix} \begin{pmatrix} v_\xi(x) \\ w_\xi(x) \end{pmatrix} = \begin{pmatrix} r_{\xi,1}(x) \\ r_{\xi,2}(x) \end{pmatrix}.$$

در نتیجه داریم:

$$v_\xi''(x) + R_{L,\xi} v_\xi(x) = r_{\xi,1}(x), \quad (15.2)$$

$$N_{L,\xi} w_\xi''(x) + w_\xi(x) = r_{\xi,2}(x), \quad (16.2)$$

که در آن

$$(v_\xi(x), w_\xi(x))^T := Q_{L,\xi}^{-1} u_\xi(x),$$

$$(r_{\xi,1}(x), r_{\xi,2}(x))^T := P_{L,\xi} (f_\xi(x) + Ag(x)).$$

<sup>۱</sup>Kronecker Normal Form

معادله‌ی (۱۵.۲) یک دستگاه معادلات دیفرانسیل مرتبه‌ی دو با بعد  $m_1$  می‌باشد. در حالت کلی، برای هر مولفه‌ی  $v_{\xi,j}$  از  $\mathbb{v}_{\xi}$  یک شرط مرزی به‌دست می‌آید. در نتیجه  $M_{BC} = m_1$  مولفه دارد. معادله‌ی (۱۶.۲) یک معادله‌ی جبری است و داریم:

$$\begin{aligned} w_{\xi}(x) &= r_{\xi,2}(x) - N_{L,\xi}w_{\xi}''(x) \\ &= r_{\xi,2}(x) - N_{L,\xi}r_{\xi,2}'(x) + N_{L,\xi}^{\mathbb{v}_{L,\xi}}w_{\xi}^{(\mathbb{v}_{L,\xi})}(x) \\ &\vdots \\ &= r_{\xi,2}(x) - N_{L,\xi}r_{\xi,2}'(x) + \cdots (-1)^{\mathbb{v}_{L,\xi}-1}N_{L,\xi}^{\mathbb{v}_{L,\xi}-1}r_{\xi,2}^{(2\mathbb{v}_{L,\xi}-2)}(x) \\ &+ (-1)^{\mathbb{v}_{L,\xi}}N_{L,\xi}^{\mathbb{v}_{L,\xi}}w_{\xi}^{(2\mathbb{v}_{L,\xi})}(x). \end{aligned} \quad (۱۷.۲)$$

درنتیجه برای هر مولفه‌ی  $w_{\xi} \in \mathbb{R}^{m_1}$  یک عبارت برحسب  $r_{\xi,2}$  و مشتقاش نسبت به  $x$ ، تا مرتبه‌ی  $2 - 2\mathbb{v}_{L,\xi}$  به‌دست می‌آوریم. یعنی برای مولفه‌های  $w_{\xi}$  شرایط مرزی نمی‌تواند مشخص شود، زیرا  $N_{L,\xi}^{\mathbb{v}_{L,\xi}} = 0$ . در نتیجه در معادله‌ی (۱۷.۲) عبارت آخر که در آن  $(-1)^{2\mathbb{v}_{L,\xi}}w_{\xi}^{(2\mathbb{v}_{L,\xi})}$  به‌کار رفته است، برابر صفر می‌شود.

توجه کنیم که معادله‌ی (۱۲.۲) در حالت کلی یک PDAE است. هرگاه  $B$  منفرد باشد، در این صورت PDAE تبدیل به DAE می‌شود.

ماتریس‌های  $P_{L,\xi}, Q_{L,\xi}, R_{L,\xi}, N_{L,\xi}, m_1, m_2, v_{L,\xi}$  وابسته به پارامتر  $\xi$  هستند، بنابراین ممکن است تغییر کنند. برای هر مولفه‌ی  $w_{\xi}(x)$  (و درنهایت  $u(t, x)$ ) می‌توانیم یک  $BC$  وابسته به ماتریس  $Q_{L,\xi}$  مشخص کنیم.  $Re(\xi)$  را طوری انتخاب می‌کنیم که مجموعه اندیس  $M_{BC}$  مستقل از پارامتر لaplans  $\xi$  باشد.

اکنون از (۱۷.۲) نسبت به  $x$  مشتق می‌گیریم و خواهیم داشت:

$$w_{\xi}'(x) = r_{\xi,2}'(x) - N_{L,\xi}r_{\xi,2}'''(x) + \cdots (-1)^{\mathbb{v}_{L,\xi}-1}N_{L,\xi}^{\mathbb{v}_{L,\xi}-1}r_{\xi,2}^{(2\mathbb{v}_{L,\xi}-1)}(x). \quad (۱۸.۲)$$

یعنی برای به‌دست آوردن یک معادله دیفرانسیل برای  $w_{\xi}(x)$  باید  $1 - 2\mathbb{v}_{L,\xi}$  بار نسبت به  $x$  مشتق بگیریم. حال اندیس دیفرانسیل مکانی  $v_{d,x}$  به صورت زیر تعریف می‌کنیم:

تعریف ۱.۳.۲. فرض کنید  $\alpha^* \in \mathbb{R}^+$  عددی باشد که

الف.  $\alpha > \alpha^*$

ب.  $N_{L,\xi}$  ماتریس پوچ‌توان با پوچ‌توانی  $1 \geq v_{L,\xi} \geq \alpha$  با  $Re(\xi) > \alpha$  ساختار مشابه داشته باشد، یعنی  $N_{L,\xi}$  مستقل از  $\xi$  باشد.

آنگاه داریم:

$$v_{d,x} = 2v_L - 1, \quad v_L = v_{L,\xi}, \quad Re(\xi) > \alpha^*,$$

که  $v_{d,x}$  را اندیس دیفرانسیل مکانی<sup>۱</sup> PDAE ۱.۲ می‌نامیم. هرگاه  $v_L = 0$ ، آنگاه اندیس دیفرانسیل مکانی را صفر تعریف می‌کنیم.

<sup>۱</sup>Differential Spatial Index

تذکر ۲.۳.۲. تحت شرایط بخش ۳.۲،  $\alpha^* \in \mathbb{R}^+$  موجود است.

تذکر ۳.۳.۲. معمولاً اگر  $n$  را کوچک بگیریم، (برای مثال  $4$ ) آنگاه پوچتوانی  $v_{L,4}$  از  $N_{L,4}$  به راحتی به دست می‌آید. هرگاه  $N_{L,4}$  شامل یک بلوک باشد، آنگاه  $v_{L,4} = m_2$ .

## ۲.۳.۲ تبدیل فوریه و اندیس زمانی

اکنون PDAE (۱.۲) را باتابع اسکالر  $\phi_k(x)$  ضرب می‌کنیم و روی  $[-l, l]$  نسبت به  $x$  انتگرال می‌گیریم.  $\phi_k(x), k = 1, 2, \dots$  توابع ویژه متعامد یکدی عملگر  $\frac{\partial^2}{\partial x^2}$  با مقدار ویژه  $\mu_k$  هستند. یعنی

$$\frac{\partial^2}{\partial x^2} \phi_k(x) = \mu_k \phi_k(x), \quad k = 1, 2, \dots$$

تبدیل فوریه‌ی متناهی یک تابع با مقدار برداری  $\chi(t, x)$  را به صورت زیر تعریف می‌کنیم:

$$\hat{\chi}_k(t) = \frac{1}{l} \int_{-l}^l \chi(t, x) \phi_k(x) dx.$$

داریم:

$$A u_t(t, x) + B u_{xx}(t, x) + C u(t, x) = f(t, x).$$

در نتیجه بنا بر تعریف تبدیل فوریه داریم:

$$\hat{u}_k(t) = \frac{1}{l} \int_{-l}^l u(t, x) \phi_k(x) dx. \quad (19.2)$$

که  $\phi_k(x), k = 1, 2, \dots$  توابع ویژه متعامد یکدی از عملگر  $\frac{\partial^2}{\partial x^2}$  با مقدار ویژه  $\mu_k$  هستند.

تبدیل فوریه‌ی  $(u_t(t, x))$  برابر با  $\hat{u}'_k(t)$  است. زیرا

$$\frac{1}{l} \int_{-l}^l u_t(t, x) \phi_k(x) dx = \hat{u}'_k(t).$$

همچنین، بنا بر (۱۹.۲) تبدیل فوریه‌ی  $u_{xx}(t, x)$  به صورت  $\frac{1}{l} \int_{-l}^l u_{xx}(t, x) \phi_k(x) dx$  است. بنابراین

$$\begin{aligned} \frac{1}{l} \int_{-l}^l u_{xx}(t, x) \phi_k(x) dx &= \frac{1}{l} (\phi_k(x) u_x(t, x)|_{-l}^l - \int_{-l}^l u_x(t, x) \phi'_k(x) dx) \\ &= \frac{1}{l} (\phi_k(x) u_x(t, x)|_{-l}^l - u(t, x) \phi'_k(x)|_{-l}^l) \\ &\quad + \frac{1}{l} \left( \int_{-l}^l u(t, x) \phi''_k(x) dx \right) \\ &= \frac{1}{l} (\phi_k(x) u_x(t, x)|_{-l}^l - u(t, x) \phi'_k(x)|_{-l}^l) + \mu_k \hat{u}_k(t). \end{aligned} \quad (20.2)$$

زیرا بنا به فرض داریم:

$$\frac{\partial^2}{\partial x^2} \phi_k(x) = \mu_k \phi_k(x).$$

در معادله (۲۰.۲) انتگرال جزءی را به کار بردیم، در نتیجه معادله (۱.۲) به معادله زیر تبدیل

می‌شود:

$$A \hat{u}'_k(t) + (\mu_k B + C) \hat{u}_k(t) = \hat{f}_k(t) + B \rho_k(t) = \bar{f}_k(t), \quad (21.2)$$

$$\text{که در آن } \rho_k(t) = (\rho_{k1}(t), \dots, \rho_{kn}(t))^T \text{ و} \\ \rho_{kj}(t) = \circ, \quad j \in \mathcal{M}_{BC}, \\ \rho_{kj}(t) = \frac{1}{l} [\phi_k'(x) u_j(t, x) - \phi_k(x) u_{x,j}(t, x)]_{x=-l}^{x=l}, \quad j \notin \mathcal{M}_{BC},$$

اگر ماتریس  $A$  منفرد باشد، آنگاه معادله (۱.۳.۲) یک DAE وابسته به پارامتر  $\mu_k$  است که تحت شرایط ۴ و ۵ از بخش ۳.۲ با شرایط اولیه مناسب، جواب یکتا دارد. مشابه حالت تبدیل لاپلاس در زیربخش ۱.۳.۲ فرض ۴ از بخش ۳.۲ نتیجه می‌دهد که ماتریس‌های منتظم  $Q_{F,k}$ ،  $P_{F,k}$  وجود دارند به طوری که [۸]

$$P_{F,k} A Q_{F,k} = \begin{pmatrix} I_{n_1} & \circ \\ \circ & N_{F,k} \end{pmatrix}, \quad P_{F,k}(\mu_k B + C) Q_{F,k} = \begin{pmatrix} R_{F,k} & \circ \\ \circ & I_{n_2} \end{pmatrix}, \quad (۲۲.۲)$$

که در آن  $N_{F,k} \in \mathbb{R}^{n_2 \times n_2}$  و  $R_{F,k} \in \mathbb{R}^{n_1 \times n_1}$  یک ماتریس جردن زنجیری با اندیس پوچ توانی  $v_{F,k}$  است. البته  $n_1 + n_2 = n$ . داریم:

$$P_{F,k} A Q_{F,k} Q_{F,k}^{-1} u_k'(t) + P_{F,k}(\mu_k B + C) Q_{F,k} Q_{F,k}^{-1} \hat{u}_k(t) \\ = P_{F,k}(\hat{f}_k(t) + B\rho_k(t)) = P_{F,k}(\bar{f}_k(t)). \quad (۲۳.۲)$$

در نظر می‌گیریم:

$$(y_k^T(t), z_k^T(t))^T := Q_{F,k}^{-1} \hat{u}_k(t),$$

و

$$(s_{k,1}^T(t), s_{k,2}^T(t))^T = P_{F,k} \bar{f}_k(t).$$

در نتیجه

$$\begin{pmatrix} I_{n_1} & \circ \\ \circ & N_{F,k} \end{pmatrix} \begin{pmatrix} y_k'(t) \\ z_k'(t) \end{pmatrix} + \begin{pmatrix} R_{F,k} & \circ \\ \circ & I_{n_2} \end{pmatrix} \begin{pmatrix} y_k(t) \\ z_k(t) \end{pmatrix} \\ = \begin{pmatrix} s_{k,1}(t) \\ s_{k,2}(t) \end{pmatrix}, \quad (۲۴.۲)$$

بنابراین از معادله (۲۴.۲) داریم:

$$y_k'(t) + R_{F,k} y_k(t) = s_{k,1}(t). \quad (۲۵.۲)$$

$$N_{F,k} z_k'(t) + z_k(t) = s_{k,2}(t). \quad (۲۶.۲)$$

معادله (۲۵.۲) یک معادله دیفرانسیل خطی مرتبه اول با بعد  $n_1$  است.

همچنین داریم:

$$N_{F,k} z_k'(t) + z_k(t) = s_{k,2}(t).$$

در نتیجه

$$z_k(t) = s_{k,2}(t) - N_{F,k} z_k'(t).$$

از طرفی داریم:

$$z_k'(t) = s'_{k,2}(t) - N_{F,k} z_k''(t).$$

همچنین:

$$z_k''(t) = s''_{k,2}(t) - N_{F,k} z_k'''(t).$$

در نتیجه

$$\begin{aligned} z_k(t) &= s_{k,2}(t) - N_{F,k}(s'_{k,2}(t) - N_{F,k} z_k''(t)) \\ &= s_{k,2}(t) - N_{F,k}s'_{k,2}(t) + N_{F,k}^2 z_k''(t) \\ &= s_{k,2}(t) - N_{F,k}s'_{k,2}(t) + N_{F,k}^2(s''_{k,2}(t) - N_{F,k} z_k'''(t)) \\ &= s_{k,2}(t) - N_{F,k}s'_{k,2}(t) + N_{F,k}^2 s''_{k,2}(t) - N_{F,k}^3 z_k'''(t). \end{aligned} \quad (27.2)$$

در نتیجه بنا بر (۱۷.۲) داریم:

$$z_k(t) = \sum_{i=0}^{v_{F,k}-1} (-N_{F,k})^i s_{k,2}^{(i)}(t). \quad (28.2)$$

از معادله (۲۸.۲) نتیجه می‌گیریم که در حالت کلی نمی‌توان یک شرط اولیهی  $(z_k^0)$  را تعیین کرد.

زیرا از (۲۸.۲) مشاهده می‌کنیم مقادیر اولیهی  $(z_k(t))$  به وسیلهی تابع سمت راست مشخص می‌شود.

در ادامه اندیس زمانی را تعریف می‌کنیم:

**تعریف ۴.۳.۲ PDAE.** (۱.۲) اندیس زمانی دیفرانسیل یکنواخت <sup>۱</sup>  $v_{d,t} = v_F$  دارد هرگاه خانوادهی  $(A, \mu_k B + C)$  برای هر  $k$  منتظم باشد و اندیس پوچ‌توانی  $v_{F,k} = v_F$  (مستقل از  $k$ ) داشته باشد و همچنین ماتریس  $N_{F,k}$  برای هر  $k$  ساختار مشابهی داشته باشد (یعنی  $N_{F,k}$  مستقل از  $k$  باشد).

چون  $y_k \in \mathbb{R}^{n_1}$ ، در نتیجه تعداد شرایط اولیهی لازم برای جواب (۱.۲) برابر  $n_1$  می‌باشد.

تذکر ۵.۳.۲. هرگاه  $v_{d,x} = v_{d,t} = 0$ ، آنگاه سیستم (۱.۲) یک PDE است.

در مثال زیر اندیس دیفرانسیل مکانی و اندیس دیفرانسیل زمانی یکنواخت را تعیین می‌کنیم:

مثال ۶.۳.۲. فرض کنید

$$A = \begin{pmatrix} 1 & 1 \\ 0 & 0 \end{pmatrix}, \quad B = \begin{pmatrix} -1 & 0 \\ -1 & 0 \end{pmatrix}, \quad C = \begin{pmatrix} c_1 & c_2 \\ -1 & 0 \end{pmatrix}, \quad c_1, c_2 > 0.$$

داریم:

$$v_{d,x} = v_{d,t} = 1,$$

زیرا با استفاده از تبدیل کرونکر از ماتریس‌های

$$P_{L,\xi} = \begin{pmatrix} 0 & \frac{1}{\xi+c_1} \\ \frac{1}{\xi+c_1} & -\frac{1}{\xi+c_1} \end{pmatrix}, \quad Q_{L,\xi} = \begin{pmatrix} -(\xi+c_2) & 0 \\ \xi+c_1-1 & 1 \end{pmatrix}.$$

<sup>۱</sup>Uniform Differential Time Index

و

$$P_{F,k} = \begin{pmatrix} \frac{1}{c_1} & \frac{c_1 - c_1 - \mu_k}{c_1(\mu_k - 1)} \\ 0 & \frac{1}{\mu_k - 1} \end{pmatrix}, \quad Q_{F,k} = \begin{pmatrix} 0 & -1 \\ c_1 & 1 \end{pmatrix}.$$

داریم

$$\begin{aligned} P_{L,\xi} B Q_{L,\xi} &= \begin{pmatrix} 0 & \frac{1}{\xi + c_1} \\ \frac{1}{\xi + c_1} & -\frac{1}{\xi + c_1} \end{pmatrix} \begin{pmatrix} -1 & 0 \\ -1 & 0 \end{pmatrix} \begin{pmatrix} -(\xi + c_1) & 0 \\ \xi + c_1 - 1 & 1 \end{pmatrix} \\ &= \begin{pmatrix} -\frac{1}{\xi + c_1} & 0 \\ 0 & 0 \end{pmatrix} \begin{pmatrix} -(\xi + c_1) & 0 \\ \xi + c_1 - 1 & 1 \end{pmatrix} \\ &= \begin{pmatrix} 1 & 0 \\ 0 & 0 \end{pmatrix} \end{aligned} \quad (29.2)$$

در نتیجه

$$N_{L,\xi}^{-1} = 0, \quad v_L = v_{L,\xi} = 1.$$

بنابراین

$$v_{d,x} = 2v_L - 1 = 2 \times 1 - 1 = 1.$$

همچنین

$$\begin{aligned} P_{F,k} A Q_{F,k} &= \begin{pmatrix} \frac{1}{c_1} & \frac{c_1 - c_1 - \mu_k}{c_1(\mu_k - 1)} \\ 0 & \frac{1}{\mu_k - 1} \end{pmatrix} \begin{pmatrix} 1 & 1 \\ 0 & 0 \end{pmatrix} \begin{pmatrix} 0 & -1 \\ c_1 & 1 \end{pmatrix} \\ &= \begin{pmatrix} \frac{1}{c_1} & \frac{1}{c_1} \\ 0 & 0 \end{pmatrix} \begin{pmatrix} 0 & -1 \\ c_1 & 1 \end{pmatrix} \\ &= \begin{pmatrix} 1 & 0 \\ 0 & 0 \end{pmatrix} \end{aligned} \quad (30.2)$$

در نتیجه

$$N_{F,k}^{-1} = 0, \quad v_F = v_{F,k} = 1.$$

مثال ۷.۳.۲. فرض کنید  $A, B$  منفرد،  $n = 2$  منظم و برای  $t \in [0, t_e]$  شرایط مرزی دیریکله همگن  $u(t, -l) = u(t, l) = 0$  برقرار باشد. چون  $B$  منظم است پس از (۲۱.۲) نتیجه می‌گیریم  $\rho_k(t) = 0$ . حال فرض کنید ماتریس‌های  $A, B, C \in \mathbb{R}^{2 \times 2}$  به صورت زیر باشند:

$$A = \begin{pmatrix} 1 & 0 \\ 0 & 0 \end{pmatrix}, \quad B = \begin{pmatrix} b_1 & b_2 \\ b_3 & b_4 \end{pmatrix}, \quad C = \begin{pmatrix} c_1 & c_2 \\ c_3 & c_4 \end{pmatrix}.$$

نشان می‌دهیم هرگاه یکی از روابط  $b_4 \mu_k \neq -c_4$ ،  $(b_2 \mu_k + c_2)(b_3 \mu_k + c_3) \neq 0$  یا  $b_4 \mu_k = c_4$ ،  $(b_2 \mu_k + c_2)(b_3 \mu_k + c_3) = 0$  برقرار باشند، در این صورت خانواده ماتریس  $(A, \mu_k B + C)$  منظم است. زیرا داریم:

$$\begin{aligned}
 (A, \mu_k B + C) &= A + \lambda(\mu_k B + C) = \begin{pmatrix} 1 & 0 \\ 0 & 0 \end{pmatrix} + \lambda \begin{pmatrix} \mu_k b_1 + c_1 & \mu_k b_2 + c_2 \\ \mu_k b_3 + c_3 & \mu_k b_4 + c_4 \end{pmatrix} \\
 &= \begin{pmatrix} 1 + \lambda(\mu_k b_1 + c_1) & \lambda(\mu_k b_2 + c_2) \\ \lambda(\mu_k b_3 + c_3) & \lambda(\mu_k b_4 + c_4) \end{pmatrix}
 \end{aligned} \tag{۳۱.۲}$$

خانواده‌ی  $(A, \mu_k B + C)$  منتظم است، هرگاه حداقل یک  $\lambda$  موجود باشد به‌طوری‌که:

$$\det(A + \lambda(\mu_k B + C)) \neq 0.$$

در نتیجه

$$\begin{aligned}
 \det(A + \lambda(\mu_k B + C)) &= (1 + \lambda(\mu_k b_1 + c_1))(\lambda(\mu_k b_4 + c_4)) \\
 &\quad - \lambda^2(\mu_k b_2 + c_2)(\mu_k b_3 + c_3) \\
 &= \lambda(\mu_k b_4 + c_4) + \lambda^2 \mu_k b_1 (\mu_k b_4 + c_4) \\
 &\quad + \lambda^2 c_1 (\mu_k b_2 + c_2) - \lambda^2 (\mu_k b_2 + c_2)(\mu_k b_3 + c_3)
 \end{aligned} \tag{۳۲.۲}$$

بنابراین، هرگاه  $\mu_k b_4 + c_4 \neq 0$ ، آنگاه خانواده‌ی  $(A, \mu_k B + C)$  منتظم است و هرگاه  $\mu_k b_4 + c_4 = 0$ ، در این صورت برای اینکه خانواده‌ی  $(A, \mu_k B + C)$  منتظم باشد، باید شرط  $(\mu_k b_2 + c_2)(\mu_k b_3 + c_3) \neq 0$  برقرار باشد.

مثال ۸.۳.۲. فرض کنیم

$$A = \begin{pmatrix} 1 & 0 \\ 0 & 0 \end{pmatrix}, \quad B = \begin{pmatrix} b_1 & b_2 \\ 0 & 0 \end{pmatrix}, \quad C = \begin{pmatrix} 1 & 0 \\ 0 & 1 \end{pmatrix},$$

که در آن  $b_1 < 0$ . می‌خواهیم اندیس دیفرانسیل مکانی و اندیس دیفرانسیل زمانی یکنواخت را تعیین کنیم. بنابراین ماتریس‌های منتظم  $P, Q, P', Q' \in \mathbb{R}^2$  موجودند به‌طوری‌که

$$\begin{aligned}
 PBQ &= \begin{pmatrix} 1 & 0 \\ 0 & 0 \end{pmatrix}, & P(\xi A + C)Q &= \begin{pmatrix} R & 0 \\ 0 & 1 \end{pmatrix}, \\
 P'AQ' &= \begin{pmatrix} 1 & 0 \\ 0 & 0 \end{pmatrix}, & P'(\mu_k B + C)Q' &= \begin{pmatrix} R' & 0 \\ 0 & 1 \end{pmatrix}.
 \end{aligned}$$

یعنی

$$\begin{pmatrix} P_{11} & P_{12} \\ P_{21} & P_{22} \end{pmatrix} \begin{pmatrix} b_1 & b_2 \\ 0 & 0 \end{pmatrix} \begin{pmatrix} Q_{11} & Q_{12} \\ Q_{21} & Q_{22} \end{pmatrix} = \begin{pmatrix} 1 & 0 \\ 0 & 0 \end{pmatrix},$$

$$\begin{pmatrix} P_{11} & P_{12} \\ P_{21} & P_{22} \end{pmatrix} \begin{pmatrix} \xi + 1 & 0 \\ 0 & 1 \end{pmatrix} \begin{pmatrix} Q_{11} & Q_{12} \\ Q_{21} & Q_{22} \end{pmatrix} = \begin{pmatrix} R & 0 \\ 0 & 1 \end{pmatrix},$$

$$\begin{pmatrix} P'_{11} & P'_{12} \\ P'_{21} & P'_{22} \end{pmatrix} \begin{pmatrix} 1 & 0 \\ 0 & 0 \end{pmatrix} \begin{pmatrix} Q'_{11} & Q'_{12} \\ Q'_{21} & Q'_{22} \end{pmatrix} = \begin{pmatrix} 1 & 0 \\ 0 & 0 \end{pmatrix},$$

$$\begin{pmatrix} P'_{11} & P'_{12} \\ P'_{21} & P'_{22} \end{pmatrix} \begin{pmatrix} \mu_k b_1 + 1 & \mu_k b_2 \\ 0 & 1 \end{pmatrix} \begin{pmatrix} Q'_{11} & Q'_{12} \\ Q'_{21} & Q'_{22} \end{pmatrix} = \begin{pmatrix} R' & 0 \\ 0 & 1 \end{pmatrix}.$$

در نتیجه، برای اندیس مکانی داریم:

$$P_{11}b_1Q_{11} + P_{11}b_2Q_{21} = 1, \quad (33.2)$$

$$P_{11}b_1Q_{12} + P_{11}b_2Q_{22} = 0, \quad (34.2)$$

$$P_{21}b_1Q_{11} + P_{21}b_2Q_{21} = 0, \quad (35.2)$$

$$P_{21}b_1Q_{12} + P_{21}b_2Q_{22} = 0, \quad (36.2)$$

$$P_{11}(\xi + 1)Q_{11} + P_{12}Q_{21} = R, \quad (37.2)$$

$$P_{11}(\xi + 1)Q_{12} + P_{12}Q_{22} = 0, \quad (38.2)$$

$$P_{21}(\xi + 1)Q_{11} + P_{22}Q_{21} = 0, \quad (39.2)$$

$$P_{21}(\xi + 1)Q_{12} + P_{22}Q_{22} = 1, \quad (40.2)$$

از (33.2) داریم

$$P_{11}(b_1Q_{11} + b_2Q_{21}) = 1,$$

بنابراین  $0 \neq P_{11}$  و  $b_1Q_{11} + b_2Q_{21} \neq 0$  داریم:

$$P_{11}(b_1Q_{12} + b_2Q_{22}) = 0,$$

همچنین از (33.2) داریم:

$$b_1Q_{12} + b_2Q_{22} = 0.$$

از (35.2) نتیجه می‌گیریم:

$$P_{21}(b_1Q_{11} + b_2Q_{21}) = 0,$$

و بنابر (36.2) داریم:

$$P_{21}(b_1Q_{12} + b_2Q_{22}) = 0,$$

فرض کنیم  $0 \neq P_{21}$ . در نتیجه، بنابر (35.2) داریم:

$$b_1Q_{11} + b_2Q_{21} = 0,$$

و از (36.2) نتیجه می‌گیریم:

$$b_1Q_{12} + b_2Q_{22} = 0.$$

بنابراین داریم:

$$\begin{cases} b_1Q_{11} + b_2Q_{21} = 0 \\ b_1Q_{12} + b_2Q_{22} = 0 \end{cases} \quad (41.2)$$

در نتیجه

$$\begin{cases} -b_1 Q_{11} Q_{22} - b_2 Q_{21} Q_{12} = 0 \\ b_1 Q_{21} Q_{12} + b_2 Q_{21} Q_{22} = 0 \end{cases} \quad (42.2)$$

بنابراین

$$b_1 (Q_{21} Q_{12} - Q_{11} Q_{22}) = 0.$$

چون  $b_1 < 0$ , در نتیجه

$$Q_{21} Q_{12} = Q_{11} Q_{22},$$

که با منظم بودن  $Q$  در تناقض است. پس باید  $P_{21} = 0$ . بنابراین از (۳۹.۲) نتیجه می‌گیریم  $P_{22} Q_{22} = 0$  و داریم  $P_{22} \neq 0$ . بنابراین  $Q_{21} = 0$ . از (۴۰.۲) داریم  $P_{22} Q_{21} = 0$ . بنابراین

$$Q_{22} = \frac{1}{P_{22}}. \quad \text{چون } Q \text{ منظم است, پس باید } Q_{11} \neq 0. \quad \text{داریم}$$

$$b_1 Q_{12} = -b_2 Q_{22},$$

و

$$Q_{12} = \frac{-b_2 Q_{22}}{b_1},$$

از (۳۸.۲) داریم:

$$P_{11}(\xi + 1) \frac{(-b_2 Q_{22})}{b_1} + P_{12} Q_{22} = 0.$$

در نتیجه

$$Q_{22} \left( P_{12} - \frac{b_2}{b_1} (\xi + 1) P_{11} \right) = 0.$$

چون  $Q$  منظم است, پس

$$P_{12} = \frac{b_2}{b_1} (\xi + 1) P_{11}.$$

بنابراین

$$\begin{pmatrix} P_{11} & \frac{b_2}{b_1} (\xi + 1) P_{11} \\ 0 & P_{22} \end{pmatrix} \begin{pmatrix} b_1 & b_2 \\ 0 & 0 \end{pmatrix} \begin{pmatrix} Q_{11} & \frac{-b_2}{b_1 P_{22}} \\ 0 & \frac{1}{P_{22}} \end{pmatrix} = \begin{pmatrix} 1 & 0 \\ 0 & 0 \end{pmatrix},$$

و

$$\begin{pmatrix} P_{11} & \frac{b_2}{b_1} (\xi + 1) P_{11} \\ 0 & P_{22} \end{pmatrix} \begin{pmatrix} \xi + 1 & 0 \\ 0 & 1 \end{pmatrix} \begin{pmatrix} Q_{11} & \frac{-b_2}{b_1 P_{22}} \\ 0 & \frac{1}{P_{22}} \end{pmatrix} = \begin{pmatrix} R & 0 \\ 0 & 1 \end{pmatrix}.$$

در نتیجه

$$\begin{pmatrix} P_{11} b_1 & P_{11} b_2 \\ 0 & 0 \end{pmatrix} \begin{pmatrix} Q_{11} & \frac{-b_2}{b_1 P_{22}} \\ 0 & \frac{1}{P_{22}} \end{pmatrix} = \begin{pmatrix} 1 & 0 \\ 0 & 0 \end{pmatrix}.$$

بنابراین  $P_{11} b_1 = \frac{1}{Q_{11}}$ . همچنین

$$\begin{pmatrix} P_{11}(\xi+1) & \frac{b_1}{b_1}(\xi+1)P_{11} \\ \circ & P_{22} \end{pmatrix} \begin{pmatrix} Q_{11} & -\frac{b_1}{b_1 P_{11}} \\ \circ & \frac{1}{P_{22}} \end{pmatrix} = \begin{pmatrix} R & \circ \\ \circ & 1 \end{pmatrix},$$

در نتیجه  $P_{11}(\xi+1)Q_{11} = R$ . بنابراین داریم:

$$P = \begin{pmatrix} P_{11} & \frac{b_1}{b_1}(\xi+1)P_{11} \\ \circ & P_{22} \end{pmatrix}, \quad Q = \begin{pmatrix} Q_{11} & -\frac{b_1}{b_1 P_{11}} \\ \circ & \frac{1}{P_{22}} \end{pmatrix},$$

و خواهیم داشت:

$$P_{11}b_1 = \frac{1}{Q_{11}}, \quad P_{11}(\xi+1)Q_{11} = R.$$

با قراردادن

$$Q_{11} = 1, \quad P_{11} = \frac{1}{b_1}, \quad P_{22} = \frac{1}{\varphi}, \quad Q_{22} = 2,$$

داریم

$$\begin{aligned} PBQ &= \begin{pmatrix} \frac{1}{b_1} & \frac{b_1}{b_1}(\xi+1) \\ \circ & \frac{1}{\varphi} \end{pmatrix} \begin{pmatrix} b_1 & b_1 \\ \circ & \circ \end{pmatrix} \begin{pmatrix} 1 & -\frac{\varphi b_1}{b_1} \\ \circ & 2 \end{pmatrix} \\ &= \begin{pmatrix} 1 & \frac{b_1}{b_1} \\ \circ & \circ \end{pmatrix} \begin{pmatrix} 1 & -\frac{\varphi b_1}{b_1} \\ \circ & 2 \end{pmatrix} = \begin{pmatrix} 1 & \circ \\ \circ & \circ \end{pmatrix}, \end{aligned} \quad (43.2)$$

همچنین

$$\begin{aligned} P(\xi A + C)Q &= \begin{pmatrix} \frac{1}{b_1} & \frac{b_1}{b_1}(\xi+1) \\ \circ & \frac{1}{\varphi} \end{pmatrix} \begin{pmatrix} \xi+1 & \circ \\ \circ & 1 \end{pmatrix} \begin{pmatrix} 1 & -\frac{\varphi b_1}{b_1} \\ \circ & 2 \end{pmatrix} \\ &= \begin{pmatrix} \frac{\xi+1}{b_1} & \frac{b_1}{b_1}(\xi+1) \\ \circ & \frac{1}{\varphi} \end{pmatrix} \begin{pmatrix} 1 & -\frac{\varphi b_1}{b_1} \\ \circ & 2 \end{pmatrix} = \begin{pmatrix} \frac{\xi+1}{b_1} & \circ \\ \circ & 1 \end{pmatrix}. \end{aligned} \quad (44.2)$$

به طریق مشابه، برای اندیس دیفرانسیل زمانی داریم:

$$\begin{pmatrix} P'_{11} & P'_{12} \\ P'_{21} & P'_{22} \end{pmatrix} \begin{pmatrix} 1 & \circ \\ \circ & \circ \end{pmatrix} \begin{pmatrix} Q'_{11} & Q'_{12} \\ Q'_{21} & Q'_{22} \end{pmatrix} = \begin{pmatrix} 1 & \circ \\ \circ & \circ \end{pmatrix},$$

$$\begin{pmatrix} P'_{11} & P'_{12} \\ P'_{21} & P'_{22} \end{pmatrix} \begin{pmatrix} \mu_k b_1 + 1 & \mu_k b_2 \\ \circ & 1 \end{pmatrix} \begin{pmatrix} Q'_{11} & Q'_{12} \\ Q'_{21} & Q'_{22} \end{pmatrix} = \begin{pmatrix} R' & \circ \\ \circ & 1 \end{pmatrix},$$

بنابراین

$$\begin{pmatrix} P'_{11} & \circ \\ P'_{21} & \circ \end{pmatrix} \begin{pmatrix} Q'_{11} & Q'_{12} \\ Q'_{21} & Q'_{22} \end{pmatrix} = \begin{pmatrix} 1 & \circ \\ \circ & \circ \end{pmatrix},$$

$$\begin{pmatrix} P'_{11}(\mu_k b_1 + 1) & P'_{11}(\mu_k b_2 + P_{12}) \\ P'_{21}(\mu_k b_1 + 1) & P'_{21}(\mu_k b_2 + P_{22}) \end{pmatrix} \begin{pmatrix} Q'_{11} & Q'_{12} \\ Q'_{21} & Q'_{22} \end{pmatrix} = \begin{pmatrix} R' & \circ \\ \circ & 1 \end{pmatrix},$$

داریم ۱ در نتیجه  $P'_{11}Q'_{12} = P'_{11} \cdot P'_{11}Q'_{11} = \frac{1}{Q'_{11}} \cdot P'_{11}Q'_{11} = 0$ . همچنین ۰ بنابراین  $Q'_{12} = 0$  و نیز ۰ همچنین، داریم  $P'_{21}Q'_{11} = 0$  در نتیجه ۰ همچنین  $P'_{21}Q'_{12} = 0$  و داریم

$$P'_{11}(\mu_k b_1 + 1)Q'_{11} + (P'_{11}\mu_k b_2 + P'_{12})Q'_{21} = R', \quad (45.2)$$

$$P'_{21}(\mu_k b_1 + 1)Q'_{11} + (P'_{21}(\mu_k b_2) + P'_{22})Q'_{21} = 0, \quad (46.2)$$

$$P'_{11}(\mu_k b_1 + 1)Q'_{12} + (P'_{11}\mu_k b_2 + P'_{12})Q'_{22} = 0, \quad (47.2)$$

$$P'_{21}(\mu_k b_1 + 1)Q'_{12} + (P'_{21}\mu_k b_2 + P'_{22})Q'_{22} = 1, \quad (48.2)$$

از (46.2) نتیجه می‌شود ۰  $P'_{22}Q'_{22} = 0$  و بنا بر (48.2) داریم ۱ در نتیجه  $P'_{22} \cdot Q'_{21} = 0$ . بنابراین  $P'_{22} \neq 0$  در نتیجه  $Q'_{21} = 0$ . از (47.2) داریم  $\frac{1}{Q'_{22}} \cdot (P'_{11}\mu_k b_2) + P'_{12}Q'_{22} = 0$ .

$$\text{می‌دانیم } Q'_{22} \neq 0 \text{ . بنابراین } P'_{12} = -P'_{11}(\mu_k b_2).$$

همچنین بنابر (45.2) داریم:

$$P'_{11}(\mu_k b_1 + 1)Q'_{11} = R', \quad (Q'_{11} = \frac{1}{P'_{11}}) \Rightarrow \mu_k b_1 + 1 = R'.$$

با قرار دادن

$$P' = \begin{pmatrix} 1 & -\mu_k b_2 \\ 0 & \frac{1}{R'} \end{pmatrix}, \quad Q' = \begin{pmatrix} 1 & 0 \\ 0 & 2 \end{pmatrix},$$

داریم:

$$\begin{pmatrix} 1 & -\mu_k b_2 \\ 0 & \frac{1}{R'} \end{pmatrix} \begin{pmatrix} 1 & 0 \\ 0 & 0 \end{pmatrix} \begin{pmatrix} 1 & 0 \\ 0 & 2 \end{pmatrix} = \begin{pmatrix} 1 & 0 \\ 0 & 0 \end{pmatrix},$$

و

$$\begin{pmatrix} 1 & -\mu_k b_2 \\ 0 & \frac{1}{R'} \end{pmatrix} \begin{pmatrix} \mu_k b_1 + 1 & \mu_k b_2 \\ 0 & 1 \end{pmatrix} \begin{pmatrix} 1 & 0 \\ 0 & 2 \end{pmatrix} = \begin{pmatrix} \mu_k b_1 + 1 & 0 \\ 0 & 1 \end{pmatrix}.$$

بنابراین  $v_{d,x} = v_{d,t} = 1$

### ۳.۳.۲ اندیس اختلال PDAE

علاوه بر اندیس‌های دیفرانسیل  $v_{d,x}$  و  $v_{d,t}$  که در قسمت‌های قبل تعریف شده است، اندیس اختلال <sup>۱</sup> PDAE (۱.۲) را معرفی می‌کنیم. یادآور می‌شویم که اندیس اختلال، در واقع یک جفت اندیس اختلال

<sup>۱</sup>Perturbation Index

می‌باشد که در فضای  $(t, x)$  تعریف می‌شود. این اندیس شکل متفاوتی از اندیس مکانی و اندیس زمانی یکنواخت است که بهترتیب با استفاده از تبدیل لاپلاس و فوریه از PDAE تعریف شدند. فرض کنید برای  $I = [0, t_e]$ ، داشته باشیم  $0 < t \leq t_e$ . در این صورت تعریف زیر را داریم:

تعریف ۹.۳.۲. فرض کنیم شرط ۱ برقرار باشد، آنگاه مساله‌ی (۱.۲) روی  $[-l, l] \times [0, t_e]$  جفت اندیس اختلال  $[m, k]$  دارد، هرگاه  $m$  و  $k$  کوچکترین عدد صحیح مثبت باشند بهطوری که برای هر  $\hat{u}(t, x)$  که خطای زیر را دارد:

$$A\hat{u}_t(t, x) + B\hat{u}_{xx}(t, x) + C\hat{u}(t, x) = f(t, x) + \delta(t, x)$$

برآورد زیر را روی  $[-l, l] \times [0, t_e]$ ، برای شرایط مرزی دیریکله،<sup>۱</sup> داشته باشیم:

$$\begin{aligned} \|\hat{u}(t, x) - u(t, x)\| &\leq C_0 (\|\hat{u}(0, x)\| + \sum_{i=0}^{m-1} \sum_{j=0}^{k-1} \max_{\tau \in I} \left\| \frac{\partial^{i+j} \delta(\tau, x)}{\partial \tau^i \partial x^j} \right\|) \\ &\quad + C_1 \max_{\tau \in I} (\|\hat{u}(\tau, -l) - u(\tau, -l)\| + \|\hat{u}(\tau, l) - u(\tau, l)\|) \end{aligned} \quad (۴۹.۲)$$

که عبارت سمت راست به قدر کافی کوچک است. معمولاً  $\delta$  به عنوان یک اختلال در مساله‌ی (۱.۲) تعبیر می‌شود. همچنین، فرض کنیم  $C_0$  و  $C_1$  ثابت‌های نامنفی مستقل از  $x$  و  $t$  و  $\delta$  باشند. عبارت زیر را برای شرایط مرزی نویمن<sup>۲</sup> (در معادله‌ی (۲.۲)،  $k = 1$ ) جایگزین سطر دوم (۴۹.۲) می‌کنیم:

$$\begin{aligned} &C_1 \sum_{j \in M_{BC}} \max_{\tau \in I} \left( \left\| \frac{\partial(\hat{u}_j(\tau, -l) - u_j(\tau, -l))}{\partial x} \right\| + \left\| \frac{\partial(\hat{u}_j(\tau, l) - u_j(\tau, l))}{\partial x} \right\| \right) \\ &+ C_2 \sum_{j \notin M_{BC}} \max_{\tau \in I} (\|\hat{u}_j(\tau, -l) - u_j(\tau, -l)\| + \|\hat{u}_j(\tau, l) - u_j(\tau, l)\|) \end{aligned} \quad (۵۰.۲)$$

که  $C_2$  ثابت نامنفی می‌باشد.

رابطه‌ای بین جفت اندیس اختلال  $[m, k]$  و دو اندیس دیفرانسیل مکانی و زمانی وجود دارد که در لم زیر آن را بیان می‌کنیم:

لم ۱۰.۳.۲. فرض کنید  $t_e = \infty$  و  $\hat{u}$  به قدر کافی هموار باشد. همچنین، فرض کنید  $v_{d,t}$  و  $v_{d,x}$  بهترتیب اندیس دیفرانسیل مکانی و زمانی PDAE باشند. آنگاه جفت اندیس اختلال  $PDAE$  به صورت زیر داده می‌شود:

$$[m, k] = [v_{d,t}, v_{d,x}].$$

برهان. کافی است نشان دهیم بالاترین مشتقهای اختلال  $\delta$  نسبت به  $t$  و  $x$  که در  $\hat{u}(t, x)$  رخ می‌دهند، بهترتیب از مرتبه‌ی  $1 - v_{d,t}$  و  $1 - v_{d,x}$  هستند. برای این منظور، دو شکل متفاوت تابع  $\hat{u}$  که بنا به فرض موجود و یکتا است را به کار می‌بریم. (یک نمایش با یک سری فوریه، دیگری با تبدیل لاپلاس).

<sup>۱</sup>Dirichlet

<sup>۲</sup>Neumann

ابتدا با جایگزین کردن  $f + \delta$  به جای  $f$  در PDAE (۱.۲)، مشتقات  $\delta$  را نسبت به  $t$  در نظر می‌گیریم. با توجه به زیربخش ۲.۳.۲ بالاترین مرتبه مشتق زمانی تبدیل فوریه‌ی  $(\delta_k(t) + \bar{f}_k(t))$  برابر  $1 - v_{F,k}$  است (معادله‌ی (۲۸.۲) را ببینید). به دلیل این‌که تبدیل فوریه‌ی معکوس مرتبه مشتق نسبت به زمان را تغییر نمی‌دهد و چون آندیس زمانی بنا به فرض، یکنواخت (یکسان) است (یعنی  $v_F = v_{F,k}$ )، نتیجه می‌گیریم بالاترین مرتبه مشتق زمانی  $\delta$  در فضای  $(t, x)$  از مرتبه  $1 - v_F$  است، یعنی  $m = v_F = v_{d,t}$  (با به تعریف ۴.۳.۲).

در قسمت دوم، در  $\hat{u}(t, x)$ ، بالاترین مرتبه مشتق  $\delta(t, x)$  نسبت به  $x$  را در نظر می‌گیریم. برای این منظور، حال از تبدیل لاپلاس  $(\hat{v}_{\xi}^T(x), \hat{w}_{\xi}^T(x)) = Q_{L,\xi}(\hat{u}(t, x))$  از استفاده می‌کنیم (بنا به فرض لم  $\hat{u}$  وجود دارد). از فرضیات ۲ و ۳ و معادله‌ی (۱۷.۲) می‌بینیم که بالاترین مرتبه مشتق نسبت به  $x$  از تبدیل لاپلاس  $\delta$  برابر با  $-2v_L$  است. به دلیل این‌که تبدیل لاپلاس معکوس، مرتبه مشتقات نسبت به  $x$  را تغییر نمی‌دهد و از تعریف ۹.۳.۲ نتیجه می‌گیریم که باید  $1 - v_L = k$  انتخاب شود. با توجه به تعریف ۱.۳.۲، نتیجه می‌گیریم  $v_{d,x} = v_{d,t}$ . بنابراین بالاترین مرتبه مشتق زمانی  $\delta$  که در  $\hat{u}$  رخ می‌دهد، برابر  $1 - v_F$  است و اثبات لم کامل می‌شود.  $\square$

## ۴.۲ نمایش پایدار جواب

یادآور می‌شویم که در حالت کلی نمی‌توان شرایط مرزی و اولیه را برای همه مولفه‌های  $u_i(t, x)$ ،  $i = 1, \dots, n$  تعیین کرد. عبارت "نمایش پایدار جواب" یعنی این‌که می‌خواهیم جوابی از مساله (۱.۲) را به دست آوریم که شرایط اولیه و مرزی را به ترتیب، فقط برای مولفه‌های  $u_j$ ،  $j \in M_{BC}$ ،  $i \in M_{IC}$  و  $u_i$ ،  $i \in M_{BC}$  به کار برد.

در قسمت‌های قبلی به این نتیجه رسیدیم که می‌توانیم شرایط مرزی را برای  $u_{\xi}(x)$  تعیین کنیم و دیدیم که مجموعه  $M_{BC}$ ،  $m_1$  مولفه دارد و برای  $m_2$  مولفه دیگر  $u_{\xi}(x)$  نمی‌توانیم شرایط مرزی را مشخص کنیم.

در زیر یک نمایش صوری برای  $u(t, x)$ ،  $t \in [0, \infty)$ ،  $x \in [-l, l]$  از جواب (۱.۲) را در نظر می‌گیریم. ابتدا فرض می‌کنیم شرایط مرزی دیریکله‌ی همگن (۲.۲) برقرار باشند، یعنی  $u_j(t, \pm l) = 0$ . فرض کنید جواب به صورت سری زیر باشد:

$$u(t, x) = \sum_{k=0}^{\infty} \tilde{u}_k(t) \phi_k(x) + d(t, x), \quad (51.2)$$

که در آن  $\mathbb{R}^n \rightarrow \mathbb{R}^n$ ،  $\phi_k : [-l, l] \rightarrow \mathbb{R}$ ،  $d : [0, \infty) \times [-l, l] \rightarrow \mathbb{R}$  همچنین، مولفه‌های  $\tilde{u}_k$  از تابع برداری مقدار  $d$  به گونه‌ای است که  $d_j = 0$ ،  $j \in M_{BC}$ .

فرض کنید  $d(t, x)$  یک تابع برداری هموار باشد به طوری که:  
 $d(t, \pm l) = u(t, \pm l)$

و  $U(t, x)$  یک تابع برداری جدید باشد که به صورت زیر تعریف می‌شود:

$$U(t, x) := u(t, x) - d(t, x). \quad (52.2)$$

واضح است که  $U$  در شرایط زیر صدق می‌کند:

$$U(t, -l) = U(t, l) = 0. \quad (53.2)$$

$u = U + d$  را در معادله‌ی (۱.۲) جایگزین می‌کنیم. در نتیجه داریم:

$$AU_t(t, x) + Ad_t(t, x) + BU_{xx}(t, x) + Bd_{xx}(t, x) + CU(t, x) + Cd(t, x) = f(t, x).$$

بنابراین PDAE جدید زیر را به دست می‌آوریم:

$$AU_t(t, x) + BU_{xx}(t, x) + CU(t, x) = F(t, x), \quad (54.2)$$

که در آن  $F := f - Ad_t - Bd_{xx} - Cd$  شرایط اولیه به صورت زیر است:

$$U_j(0, x) = g_j(x) - d_j(0, x) \quad j \in M_{IC}. \quad (55.2)$$

فرض کنید

$$U(t, x) = \sum_{k=1}^{\infty} U_k(t) \phi_k(x) = \sum_{k=1}^{\infty} U_k(t) \cos\left(\frac{k\pi}{\sqrt{l}}x\right). \quad (56.2)$$

با فرض این‌که  $F(t, x)$  و  $U(0, x)$  را بتوان به‌طور مشابه، به صورت یک سری فوریه‌ی کسینوسی نمایش داد، بنا به قبل نتیجه می‌گیریم که  $U_k(t)$  یک جواب DAE زیر است:

$$AU'_k(t) + (\mu_k B + C)U_k(t) = F_k(t), \quad k = 1, 2, \dots, \quad (57.2)$$

که در آن روابط زیر با شرایط اولیه‌ی پایدار برقرارند:

$$\mu_k = -\left(\frac{k\pi}{\sqrt{l}}\right)^2, \quad F_k(t) = \frac{1}{l} \int_{-l}^l F(t, x) \cos\left(\frac{k\pi}{\sqrt{l}}x\right) dx. \quad (58.2)$$

بنا بر بخش ۳.۲ و تحت شرایط ۴ و ۵ ( $F$  باید جایگزین  $f$  شود) یک جواب یکتا از این DAE برای  $k = 1, 2, \dots$  وجود دارد. در این حالت، نمایش جواب به صورت (۵۱.۲) پایدار است.

## ۵.۲ شرایط مرزی و اولیه برای خانوادهای منظم $(A, B)$

همان‌طور که در قسمت‌های ۱.۳.۲ و ۲.۳.۲ نشان داده شد، تبدیلات لاپلاس و فوریه‌ی جواب  $u$  از مساله‌ی (۱.۲) به ترتیب حاصل مجموعه‌ی اندیس‌های  $M_{BC}$  و  $M_{IC}$  هستند. بنابراین می‌دانیم که برای مولفه‌های  $u$  یک شرط مرزی و یک شرط اولیه می‌تواند مشخص شود. به هر حال، در حالت کلی برای به‌دست آوردن شرط مرزی برای  $u_i$ ،  $i \notin M_{BC}$  و شرط اولیه برای  $u_j$ ،  $j \notin M_{IC}$ ، معادلات سازگاری (۱۷.۲) و (۲۸.۲) به سادگی حل نمی‌شوند. در این قسمت روشی که آسان‌تر است را ارائه می‌دهیم، زیرا حل آن نیاز به معادلات سازگاری ندارد.

فرض کنیم خانواده ماتریس  $(A, B)$  منظم باشد. منظم بودن خانواده  $(A, B)$  نتیجه می‌دهد ماتریس‌های منظم  $P, Q \in \mathbb{R}^{n \times n}$  وجود دارند به‌طوری که:

$$PAQ = \begin{pmatrix} I_1^{(1)} & \circ \\ \circ & N^{(1)} \end{pmatrix}, \quad PBQ = \begin{pmatrix} R^{(1)} & \circ \\ \circ & I_1^{(1)} \end{pmatrix}$$

در نتیجه، با جایگذاری در مساله‌ی (۱.۲) داریم:

$$\begin{pmatrix} I_1^{(1)} & \circ \\ \circ & N^{(1)} \end{pmatrix} \begin{pmatrix} v_t \\ w_t \end{pmatrix} + \begin{pmatrix} R^{(1)} & \circ \\ \circ & I_1^{(1)} \end{pmatrix} \begin{pmatrix} v_{xx} \\ w_{xx} \end{pmatrix} + \tilde{C} \begin{pmatrix} v \\ w \end{pmatrix} = \tilde{f}. \quad (59.2)$$

که داریم:

$$(v(t, x)^T, w(t, x)^T)^T := Q^{-1}u(t, x),$$

همچنین

$$\tilde{f}(t, x) := Pf(t, x), \quad \tilde{C} := PCQ.$$

یک ماتریس همانی از مرتبه‌ی  $I_j^{(1)}$ ،  $n_j^{(1)} = 1, 2$ ،  $t_e = \infty$  است. فرض کنیم  $y_\xi = \int_0^\infty e^{-t\xi} y(t) dt$  داشتیم:

$$y_\xi = \int_0^\infty e^{-t\xi} y(t) dt, \quad Re(\xi) > \alpha.$$

بنابرآنچه قبل ذکر شد، از معادله‌ی (۱.۲) تبدیل لاپلاس می‌گیریم، سپس داریم:

$$Bu_\xi''(x) + (\xi A + C)u_\xi(x) = f(x) + Ag(x). \quad (60.2)$$

اکنون از (۵۹.۲) تبدیل لاپلاس می‌گیریم، در نتیجه داریم:

$$\begin{pmatrix} R^{(1)} & \circ \\ \circ & I_1^{(1)} \end{pmatrix} \begin{pmatrix} v_\xi'' \\ w_\xi'' \end{pmatrix} + \xi \begin{pmatrix} I_1^{(1)} & \circ \\ \circ & N^{(1)} \end{pmatrix} \begin{pmatrix} v_\xi \\ w_\xi \end{pmatrix} + \tilde{C} \begin{pmatrix} v_\xi \\ w_\xi \end{pmatrix} = \tilde{f}_\xi^{(1)}.$$

که  $\tilde{f}_\xi^{(1)}$  به صورت زیر تعریف می‌شود:

$$\tilde{f}_\xi^{(1)} := \tilde{f} + \begin{pmatrix} I_1^{(1)} & \circ \\ \circ & N^{(1)} \end{pmatrix} \begin{pmatrix} v \\ w \end{pmatrix}_{|t=0}$$

زیرا داشتیم  $u(0, x) = g(x)$  در اینجا برابر  $t = 0$  می‌باشد. بنابراین  $g(x)$  در اینجا

مقدار  $\begin{pmatrix} v \\ w \end{pmatrix}$  در نقطه‌ی  $t = 0$  است. بنابراین داریم:

$$PBQ \begin{pmatrix} v_\xi'' \\ w_\xi'' \end{pmatrix} + \xi PAQ \begin{pmatrix} v_\xi \\ w_\xi \end{pmatrix} + \tilde{C} \begin{pmatrix} v_\xi \\ w_\xi \end{pmatrix} = \tilde{f}_\xi^{(1)}$$

در نتیجه

$$PBQ \begin{pmatrix} v_\xi'' \\ w_\xi'' \end{pmatrix} + P(\xi A + C)Q \begin{pmatrix} v_\xi \\ w_\xi \end{pmatrix} = \tilde{f}_\xi^{(1)}. \quad (61.2)$$

فرض کنیم خانواده‌ی  $(P, Q)$  برای  $Re(\xi) > \alpha$  منتظم باشد. بنابراین معادله‌ی (۶۱.۲) را می‌توان با ماتریس‌های مربعی  $(n, n)$  منتظم  $P_\xi$  و  $Q_\xi$  به صورت کرونکر تبدیل کرد. در نتیجه، معادله‌ی زیر را به دست می‌آوریم:

$$\begin{pmatrix} I_{L1}^{(1)} & \circ \\ \circ & N_L^{(1)} \end{pmatrix} \begin{pmatrix} \bar{v}_\xi'' \\ \bar{w}_\xi'' \end{pmatrix} + \begin{pmatrix} R_L^{(1)} & \circ \\ \circ & I_{L2}^{(1)} \end{pmatrix} \begin{pmatrix} \bar{v}_\xi \\ \bar{w}_\xi \end{pmatrix} = \tilde{f}_\xi^{(1)}. \quad (62.2)$$

که در آن

$$\begin{pmatrix} I_{L1}^{(1)} & \circ \\ \circ & N_L^{(1)} \end{pmatrix} = P_\xi \begin{pmatrix} R^{(1)} & \circ \\ \circ & I_1^{(1)} \end{pmatrix} Q_\xi, \quad (63.2)$$

و

$$\begin{pmatrix} R_L^{(1)} & \circ \\ \circ & I_{L2}^{(1)} \end{pmatrix} = P_\xi (\xi \begin{pmatrix} I_1^{(1)} & \circ \\ \circ & N^{(1)} \end{pmatrix} + \tilde{C}) Q_\xi, \quad (64.2)$$

که

$$(\bar{v}_\xi^T, \bar{w}_\xi^T)^T := Q_\xi^{-1} (v_\xi^T, w_\xi^T)^T, \quad \tilde{f}_\xi^{(1)} := P_\xi \tilde{f}_\xi^{(1)}.$$

مشابه قبل،  $I_{Lj}^{(1)}, j = 1, 2$ ، یک ماتریس همانی از مرتبه  $n_{Lj}^{(1)}$  است. هرگاه  $R^{(1)}$  منفرد باشد، آنگاه  $N_L^{(1)}$  یک ماتریس پوچ توان از مرتبه  $n_{L2}^{(1)}$  است. دستگاه (۶۲.۲) مشابه دستگاه معادلات (۱۵.۲) و (۱۶.۲) است. از معادله‌ی (۶۲.۲) نتیجه می‌گیریم که  $n_{L1}^{(1)}$  شرط مرزی برای مولفه‌های  $\bar{v}$  لازم است. به دلیل اینکه مرتبه‌ی یک ماتریس  $(n, n)$  با ضرب در یک ماتریس  $(n, n)$  منتظم تغییر نمی‌کند، در نتیجه بنا به تعریف (۱) و از معادلات (۶۳.۲) و (۶۴.۲) نتیجه می‌گیریم:

$$\begin{aligned} rank(B) &= rank \begin{pmatrix} R^{(1)} & \circ \\ \circ & I_1^{(1)} \end{pmatrix} \\ &= r^{(1)} + n_1^{(1)} \\ &= n_{L1}^{(1)} + rank(N_L^{(1)}) \end{aligned} \quad (65.2)$$

که  $r^{(1)}$  به صورت زیر تعریف می‌شود:

$$r^{(1)} := rank(R^{(1)}).$$

حال به طور مشابه، تعداد شرایط اولیه‌ی لازم برای حل مساله‌ی (۱.۲) را به دست می‌آوریم. ابتدا از (۵۹.۲) تبدیل فوریه می‌گیریم و بنا به قسمت ۲.۳.۲ فرض کنیم خانواده‌ی زیر منتظم است:

$$\left( \begin{pmatrix} I_1^{(1)} & \circ \\ \circ & N^{(1)} \end{pmatrix}, \mu_k \begin{pmatrix} R^{(1)} & \circ \\ \circ & I_1^{(1)} \end{pmatrix} + \tilde{C} \right) \quad (66.2)$$

حال مجدداً از ماتریس‌های  $(n, n)$  منتظم  $P_{F,k}$  و  $Q_{F,k}$  تبدیل کرونکر می‌گیریم. در نتیجه، معادله‌ای مشابه با معادلات (۲۰.۲) و (۲۶.۲) به صورت زیر به دست می‌آوریم:

$$\begin{pmatrix} I_{Fk1}^{(1)} & \circ \\ \circ & N_{Fk}^{(2)} \end{pmatrix} \begin{pmatrix} y_k'(t) \\ z_k'(t) \end{pmatrix} + \begin{pmatrix} R_{Fk}^{(1)} & \circ \\ \circ & I_{Fk2}^{(2)} \end{pmatrix} \begin{pmatrix} y_k(t) \\ z_k(t) \end{pmatrix} = s_k, \quad (67.2)$$

همچنین مشابه با معادلات (۶۴.۲) و (۶۳.۲)، معادلات زیر را خواهیم داشت:

$$\begin{pmatrix} I_{Fk1}^{(1)} & \circ \\ \circ & N_{Fk}^{(2)} \end{pmatrix} = P_{Fk} \begin{pmatrix} I_1^{(1)} & \circ \\ \circ & N^{(1)} \end{pmatrix} Q_{Fk}, \quad (68.2)$$

$$\begin{pmatrix} R_{Fk}^{(1)} & \circ \\ \circ & I_{Fk2}^{(2)} \end{pmatrix} = P_{Fk} (\mu_k \begin{pmatrix} R^{(1)} & \circ \\ \circ & I_1^{(1)} \end{pmatrix} + \tilde{C}) Q_{Fk}, \quad (69.2)$$

که در آن  $\hat{u}_k = (y_k^T, z_k^T)^T = Q_{Fk}^{-1} \hat{u}_k$  که  $s_k$  و  $\mu_k$  را در قسمت ۲.۳.۲ تعریف کردیم. از معادلات (۶۹.۲) و (۶۸.۲) نتیجه می‌گیریم (مشابه معادله (۶۵.۲)):

$$\begin{aligned} \text{rank}(A) &= \text{rank} \begin{pmatrix} I_1^{(1)} & \circ \\ \circ & N^{(1)} \end{pmatrix} \\ &= n_1^{(1)} + \text{rank}(N^{(1)}) \\ &= n_{Fk1}^{(2)} + \text{rank}(N_{Fk}^{(2)}). \end{aligned} \quad (70.2)$$

در واقع لم زیر را ثابت کرده‌ایم:

لم ۱.۰.۲. فرض کنید خانواده ماتریس  $(A, B)$  منتظم باشد. همچنین داشته باشیم:

الف. خانواده  $(PBQ, P(\xi A + C)Q)$  برای  $Re(\xi) > \alpha$  منتظم باشد،

ب. خانواده  $(66.2)$  برای  $k = 1, 2, \dots$  منتظم باشد،

ج. ماتریس‌های  $N_{Fk}^{(2)}$  و  $R_{Fk}^{(1)}$  مستقل از  $k$  هستند (یعنی اندیس  $k$  در این ماتریس‌ها می‌تواند حذف شود. برای مثال داریم:  $(N_{Fk}^{(2)} = N_F^{(2)}, I_{Fk1}^{(2)} = I_{F1}^{(2)}$  و  $I_{Fk2}^{(2)} = I_1^{(1)}$ ).

آن‌گاه تعداد کل ۱ شرایط مرزی (برای متغیرهای تبدیل لپلاس) و شرایط اولیه (برای متغیرهای تبدیل فوریه) به ترتیب به صورت زیر است:

$$n_{L1}^{(2)} = r^{(1)} + n_1^{(1)} - \text{rank}(N_L^{(2)}), \quad (71.2)$$

$$n_{F1}^{(2)} = n_1^{(1)} + \text{rank}(N^{(1)}) - \text{rank}(N_F^{(2)}). \quad (72.2)$$

مثال ۲.۰.۲. فرض کنید

$$A = \begin{pmatrix} 1 & 1 \\ 0 & 0 \end{pmatrix}, \quad B = \begin{pmatrix} -1 & -b \\ -1 & -b \end{pmatrix}, \quad C = \begin{pmatrix} c_1 & c_2 \\ c_3 & c_4 \end{pmatrix}$$

<sup>۱</sup>Total Number

که در آن  $1 \neq b \in \mathbb{R}$ . واضح است خانواده  $(A, B)$  منتظم است. ماتریس‌های منتظم  $P$  و  $Q$  را به صورت زیر در نظر می‌گیریم:

$$P = \frac{1}{1-b} \begin{pmatrix} 1 & -1 \\ 0 & 1 \end{pmatrix}, \quad Q = \begin{pmatrix} -b & -1 \\ 1 & 1 \end{pmatrix}.$$

بنابراین داریم:

$$\begin{aligned} PAQ &= \frac{1}{1-b} \begin{pmatrix} 1 & -1 \\ 0 & 1 \end{pmatrix} \begin{pmatrix} 1 & 1 \\ 0 & 0 \end{pmatrix} \begin{pmatrix} -b & -1 \\ 1 & 1 \end{pmatrix} \\ &= \begin{pmatrix} \frac{1}{1-b} & \frac{1}{1-b} \\ 0 & 0 \end{pmatrix} \begin{pmatrix} -b & -1 \\ 1 & 1 \end{pmatrix} = \begin{pmatrix} 1 & 0 \\ 0 & 0 \end{pmatrix} = \begin{pmatrix} I_1^{(1)} & 0 \\ 0 & N^{(1)} \end{pmatrix}. \end{aligned} \quad (73.2)$$

و

$$\begin{aligned} PBQ &= \frac{1}{1-b} \begin{pmatrix} 1 & -1 \\ 0 & 1 \end{pmatrix} \begin{pmatrix} -1 & -b \\ -1 & -b \end{pmatrix} \begin{pmatrix} -b & -1 \\ 1 & 1 \end{pmatrix} \\ &= \begin{pmatrix} 0 & 0 \\ -\frac{1}{1-b} & -\frac{b}{1-b} \end{pmatrix} \begin{pmatrix} -b & -1 \\ 1 & 1 \end{pmatrix} = \begin{pmatrix} 0 & 0 \\ 0 & 1 \end{pmatrix} = \begin{pmatrix} R^{(1)} & 0 \\ 0 & I_1^{(1)} \end{pmatrix}. \end{aligned} \quad (74.2)$$

درنتیجه

$$n_1^{(1)} = 1, \quad n_{\mathfrak{r}}^{(1)} = 1, \quad r^{(1)} = \text{Rank}(R^{(1)}) = \text{Rank}(0) = 0.$$

بنابراین

$$\begin{pmatrix} 1 & 0 \\ 0 & 0 \end{pmatrix} \begin{pmatrix} v_t \\ w_t \end{pmatrix} + \begin{pmatrix} 0 & 0 \\ 0 & 1 \end{pmatrix} \begin{pmatrix} v_{xx} \\ w_{xx} \end{pmatrix} + \tilde{C} \begin{pmatrix} v \\ w \end{pmatrix} = \tilde{f}. \quad (75.2)$$

حال از (75.2) تبدیل لاپلاس می‌گیریم. در نتیجه

$$\begin{pmatrix} 0 & 0 \\ 0 & 1 \end{pmatrix} \begin{pmatrix} v_{\xi}'' \\ w_{\xi}'' \end{pmatrix} + \xi \begin{pmatrix} 1 & 0 \\ 0 & 0 \end{pmatrix} \begin{pmatrix} v_{\xi} \\ w_{\xi} \end{pmatrix} + \tilde{C} \begin{pmatrix} v_{\xi} \\ w_{\xi} \end{pmatrix} = \tilde{f} + \begin{pmatrix} 1 & 0 \\ 0 & 0 \end{pmatrix} \begin{pmatrix} v \\ w \end{pmatrix}_{|t=0}. \quad (76.2)$$

در گام بعد، (76.2) را به شکل نرمال کرونکر (62.2) تبدیل می‌کنیم. دقت کنید که مولفه‌های  $\tilde{C}$  را با  $\tilde{c}_i$  نمایش می‌دهیم. ماتریس‌های منتظم  $P_{\xi}$  و  $Q_{\xi}$  را به صورت زیر در نظر می‌گیریم:

$$P_{\xi} = \begin{pmatrix} \frac{\tilde{c}_{\mathfrak{r}}}{\xi + \tilde{c}_1} & -1 \\ \frac{1}{\tilde{c}_{\mathfrak{r}}} & 0 \end{pmatrix}, \quad Q_{\xi} = \frac{1}{\xi + \tilde{c}_1} \begin{pmatrix} \tilde{c}_{\mathfrak{r}} & \tilde{c}_{\mathfrak{r}} \\ -(\xi + \tilde{c}_1) & 0 \end{pmatrix}.$$

در نتیجه

$$P_{\xi} \begin{pmatrix} 0 & 0 \\ 0 & 1 \end{pmatrix}, \quad Q_{\xi} = \begin{pmatrix} 1 & 0 \\ 0 & 0 \end{pmatrix}.$$

همچنین

$$\xi \begin{pmatrix} 1 & 0 \\ 0 & 0 \end{pmatrix} + \tilde{C} = \begin{pmatrix} \xi + \tilde{c}_1 & \tilde{c}_2 \\ \tilde{c}_3 & \tilde{c}_4 \end{pmatrix},$$

بنابراین

$$P_\xi \begin{pmatrix} \xi + \tilde{c}_1 & \tilde{c}_2 \\ \tilde{c}_3 & \tilde{c}_4 \end{pmatrix} Q_\xi = \begin{pmatrix} \frac{(\xi + \tilde{c}_1)\tilde{c}_4 - \tilde{c}_2\tilde{c}_3}{\xi + \tilde{c}_1} & 0 \\ 0 & 1 \end{pmatrix}.$$

در نتیجه به دست می‌آوریم:

$$I_{L1}^{(1)} = 1, \quad R_L^{(1)} = \frac{(\xi + \tilde{c}_1)\tilde{c}_4 - \tilde{c}_2\tilde{c}_3}{\xi + \tilde{c}_1}, \quad N_L^{(1)} = 0, \quad I_{L2}^{(1)} = 1.$$

بنابراین، بنا به لم ۱.۵.۲، تعداد شرایط مرزی لازم برای حل PDAE به صورت زیر است:

$$n_{L1}^{(2)} = r^{(1)} + n_r^{(1)} - \text{rank}(N_L^{(1)}) = 0 + 1 - 0 = 1.$$

به روش مشابه می‌توانیم تعداد شرایط اولیه را به دست آوریم. در پایان، یک شرط اولیه می‌تواند برای  $v$  اختصاص یابد.

# ۳ فصل

## حل PDAEs با روش‌های نیمه‌تحلیلی

### ۱.۳ گسته سازی مکانی و همگرایی

در این بخش گسته سازی مکانی<sup>۱</sup> مساله‌ی مقدار مرزی اولیه‌ی (۱.۲) تا (۴.۲) را به وسیله‌ی تقاضلات متناهی در نظر می‌گیریم و رفتار همگرایی را در مکان بررسی می‌کنیم.

ابتدا مکان را روی شبکه‌ی با فاصله‌های مساوی به صورت زیر گسته سازی می‌کنیم:

$$\Omega_h = \{x_k : x_k = -l + kh, k = 1, \dots, N, \quad h = \frac{2l}{N+1}\},$$

که در آن  $N \in \mathbb{N}$  را با رابطه‌ی زیر جایگزین می‌کنیم:

$$u_{xx}(t, x_k) \approx \frac{1}{h^2}(u_{k+1}(t) - 2u_k(t) + u_{k-1}(t)), \quad k = 1, \dots, N.$$

قرار می‌دهیم:  $u_k(t) \approx u(t, x_k)$ . بنابراین معادله‌ی (۱.۲) به معادله‌ی نیمه گسته سازی زیر تبدیل می‌شود:

$$Au'_k(t) + \frac{1}{h^2}B(u_{k+1}(t) - 2u_k(t) + u_{k-1}(t)) + Cu_k(t) = f_k(t). \quad (1.3)$$

با استفاده از حاصل ضرب کرونکر، به شکل ماتریسی به صورت زیر است:

$$(I_N \otimes A)U'(t) + \left(\frac{1}{h^2}P \otimes B + I_N \otimes C\right)U(t) = F(t) - r(t), \quad (2.3)$$

که در آن مولفه‌ی  $u_k(t)$  از بردار  $U(t) \in \mathbb{R}^{nN}$  تقریب زمانی پیوسته با  $u(t, x_k)$  است و بردارهای  $r(t)$  و  $F(t)$  با بعد  $nN$  به صورت زیر می‌باشند:

$$r(t) = \left(\frac{1}{h^2}I_N \otimes B\right)(u^T(t, -l), \circ, \dots, \circ, u^T(t, l))^T,$$

$$F(t) = (f_1^T(t), \dots, f_N^T(t))^T, \quad f_k(t) = f(t, x_k).$$

ماتریس همانی  $I_N$  و ماتریس  $P$  به صورت زیر تعریف می‌شود:

---

<sup>1</sup>Space Discretization

$$P = \begin{pmatrix} -2 & 1 & & \\ 1 & -2 & 1 & \\ & \ddots & \ddots & \\ & & 1 & -2 \end{pmatrix} \in \mathbb{R}^{N \times N} \quad (4.3)$$

با توجه به معادله (۴.۲)، معادله (۴.۳) با بردار اولیه زیر کامل می‌شود:

$$U(0) = (\tilde{g}^T(x_1), \dots, \tilde{g}^T(x_N))^T \in \mathbb{R}^{nN}. \quad (4.3)$$

هرگاه  $0 \rightarrow h$ ، آنگاه تفاضل  $g - \tilde{g}$  به صفر میل می‌کند. همچنین، هرگاه  $A$  منفرد باشد، آنگاه برای  $h$  ثابت، معادله (۴.۳) یک DAE است [۴]. در این صورت حداقل برای  $h$  کوچک، اندیس دیفرانسیل آن معادل با اندیس دیفرانسیل زمانی یکنواخت  $v_{d,t}$  است. فرض کنیم  $U(t)$  را به صورت زیر نمایش دهیم:

$$U(t) = \sum_{k=1}^N \phi_k \otimes w_k(t), \quad \phi_k \in \mathbb{R}^N, \quad w_k \in \mathbb{R}^n, \quad (5.3)$$

که در آن  $\phi_k$  بردار ویژه ماتریس  $P^{\frac{1}{h^2}}$  است، یعنی

$$\frac{1}{h^2} P \phi_k = \lambda_k \phi_k, \quad k = 1, \dots, N. \quad (6.3)$$

همچنین مقادیر ویژه  $P^{\frac{1}{h^2}}$  به صورت زیر داده می‌شوند:

$$\lambda_k = -\frac{4}{h^2} \sin^2\left(\frac{k\pi}{2(N+1)}\right), \quad h = \frac{2l}{N+1}.$$

هرگاه  $0 \rightarrow h$ ، در این صورت برای  $k = 1, \dots, N$  این مقادیر ویژه به  $\mu_k = -\left(\frac{k\pi}{2l}\right)^2$  هستند که متناظر با توابع ویژه  $\cos\left(\frac{k\pi}{2l}x\right)$  از عملگر  $\frac{\partial^2}{\partial x^2}$  با شرایط مرزی دیریکله‌ی همگن روی بازوی  $(-l, l)$  می‌باشد. همچنین، واضح است مجموعه  $\{\phi_k, \quad k = 1, \dots, N\}$  متعامد است. فرض کنید  $(t)$  تحدید  $(t, x)$  به شبکه‌ی مکانی  $\Omega_h$  باشد، در این صورت بردار

$$\eta_h(t) = U_h(t) - U(t)$$

خطای مکانی جامع در نیمه‌گسسته‌سازی در نظر گرفته می‌شود.

**تعریف ۱.۱.۳.** هرگاه روی بازوی  $I^* := [0, t^*]$  داشته باشیم:

$$\max_{t \in I^*} \|\eta_h(t)\| = o(1), \quad h \rightarrow 0,$$

در این صورت مساله (۴.۳) و (۴.۳) روی  $I^*$  همگرا نامیده می‌شود.

همچنین، خطای برش مکانی<sup>۱</sup> از (۴.۳) به صورت زیر تعریف می‌شود:

$$\alpha_h(t) = (I_N \otimes A)U_h'(t) + \left(\frac{1}{h^2} P \otimes B + I_N \otimes C\right)U_h(t) - F(t) + r(t). \quad (7.3)$$

**تذکر ۲.۱.۳.** خطای تابع شبکه‌ای  $U_h(t)$  را نسبت به DAE (۴.۳) نشان می‌دهد.

<sup>۱</sup>Space Truncation Error

## تعریف ۳.۱.۳. هرگاه

$$\max_{t \in I^*} \|\alpha_h(t)\| = o(1), \quad h \rightarrow 0,$$

در این صورت نیمه‌گسسته‌سازی را پایدار گوییم.

## ۲.۰۳ گسسته‌سازی زمانی و همگرایی گسسته‌سازی کامل

هرگاه روش اویلر ضمنی را روی DAE (۲.۰۳) به کار ببریم، در این صورت روش پسرو زمانی، مرکزی مکانی (BTCS)<sup>۱</sup> (یعنی در این روش ابتدا مکان را گسسته می‌کنیم و سپس بر حسب گسسته‌سازی مکان، زمان را نیز گسسته می‌کنیم) حاصل می‌شود. در این روش گسسته‌سازی، رفتار خطای متناظر با جواب دقیق مساله‌ی مقدار مرزی اویلری (۱.۰۲) یا (۰.۰۲) را بررسی می‌کنیم. برای راحتی کار، خود را به یک کمیت با اندازه‌ی  $\tau$  محدود می‌کنیم. داریم:

$$(I_N \otimes A)U'(t) + \left(\frac{1}{h^\tau} P \otimes B + I_N \otimes C\right)U(t) = F(t) - r(t).$$

بنابراین

$$(I_N \otimes A)U'(t) = -\left(\frac{1}{h^\tau} P \otimes B + I_N \otimes C\right)U(t) + F(t) - r(t).$$

یادآوری می‌کنیم که روش اویلر ضمنی به صورت زیر می‌باشد:

$$E\left(\frac{y_{n+1} - y_n}{h}\right) = Ay_{n+1} + \gamma(t_{n+1}).$$

در نتیجه، با استفاده از روش اویلر ضمنی داریم:

$$(I_N \otimes A)\frac{U_{m+1} - U_m}{\tau} = -\left(\frac{1}{h^\tau} P \otimes B\right)U_{m+1} + F(t_{m+1}) - r(t_{m+1}).$$

در اینجا  $\tau$  گام زمان می‌باشد. بنابراین

$$\left(\frac{1}{\tau} I_N \otimes A + \left(\frac{1}{h^\tau} P \otimes B + I_N \otimes C\right)U_{m+1}\right) = \left(\frac{1}{\tau} I_N \otimes A\right)U_m + F(t_{m+1}) - r(t_{m+1}).$$

روش فوق را طرح BTCS گوییم که به صورت زیر بیان می‌کنیم:

## ۱.۰۲.۳ روش BTCS

این روش برای PDAE (۱.۰۲) به صورت

$$G(\tau, h^\tau)U_{m+1} = \left(\frac{1}{\tau} I_N \otimes A\right)U_m + F(t_{m+1}) - r(t_{m+1}), \quad (۸.۳)$$

داده می‌شود که  $U_0 = U(0)$  و

$$G(\tau, h^\tau) = \frac{1}{\tau} I_N \otimes A + \frac{1}{h^\tau} P \otimes B + I_N \otimes C. \quad (۹.۳)$$

<sup>۱</sup>Backward In Time, Centered In Space

هرگاه معادله‌ی (۸.۳) برای محاسبه‌ی  $U_{m+1}$  استفاده شود، در این صورت جواب یکتا دارد. ( $G$  منتظر است) . لم زیر نشان می‌دهد جواب یکتا معادله‌ی (۸.۳) از منظم بودن ماتریس‌های  $(n \times n)$  زیر نتیجه می‌شود:

$$G_k(\tau, h^\tau) = \frac{1}{\tau} A + \lambda_k B + C, \quad k = 1, \dots, N \quad (10.3)$$

لم ۱۰.۳. فرض کنید

الف. ماتریس‌های  $N, \dots, < h < h_0, \dots, < \tau < \tau_0$  و  $\circ$  منظم باشند  
(اعداد ثابت هستند)،

ب. عبارت ناهمگن  $\tilde{F}(t_{m+1}) := F(t_{m+1}) - r(t_{m+1})$  برای هر  $h$  بتوان به صورت سری زیر نمایش داد:

$$\tilde{F}(t_{m+1}) = \sum_{k=1}^N \phi_k \otimes \tilde{f}_{k,m+1},$$

که در آن  $\tilde{f}_{k,m+1} \in \mathbb{R}^n$

در این صورت معادله‌ی (۸.۳) جواب یکتا  $U_{m+1}$  دارد. [۱۱]

برهان. در حالت کلی،  $U_{m+1} \in \mathbb{R}^{nN}$  بر حسب  $N$  بردار ویژه‌ی مستقل خطی  $\phi_k$  نمایش داده می‌شود،  
یعنی

$$U_{m+1} = \sum_{k=1}^N \phi_k \otimes U_{k,m+1}.$$

$N$  بردار  $U_{k,m+1} \in \mathbb{R}^n$  معلوم هستند. داریم:

$$\tilde{F}(t_{m+1}) = \sum_{k=1}^N \phi_k \otimes \tilde{f}_{k,m+1}, \quad (11.3)$$

$$U_{m+1} = \sum_{k=1}^N \phi_k \otimes U_{k,m+1}. \quad (12.3)$$

همچنین، بنا (۸.۳) داریم:

$$G(\tau, h^\tau)U_{m+1} = \left( \frac{1}{\tau} I_N \otimes A \right) U_m + F(t_{m+1}) - r(t_{m+1}).$$

حال، بسطهای (۱۱.۳) و (۱۲.۳) را در (۸.۳) جایگذاری می‌کنیم، در نتیجه داریم:

$$G(\tau, h^\tau) \left( \sum_{k=1}^N \phi_k \otimes U_{k,m+1} \right) = \left( \frac{1}{\tau} I_N \otimes A \right) \left( \sum_{k=1}^N \phi_k \otimes U_{k,m} \right) + \sum_{k=1}^N \phi_k \otimes \tilde{f}_{k,m+1}. \quad (13.3)$$

طرفین معادله‌ی (۱۳.۳) را از سمت چپ در  $\phi$  ضرب می‌کنیم. می‌دانیم مجموعه بردارها  $\{\phi_k\}_{k=1}^N$  متعامندند. در نتیجه

$$\phi_k \cdot \phi_{k'} = 0, \quad k \neq k'.$$

همچنین حاصل  $\phi_k \cdot \phi_k$  عددی ثابت می‌باشد که هرگاه  $\phi_k$  را در (۱۳.۳) ضرب کنیم، از طرفین ساده می‌شود. در نتیجه

$$G_k(\tau, h^\tau)U_{k,m+1} = \frac{1}{\tau}AU_{k,m} + \tilde{f}_{k,m+1}, \quad k = 1, \dots, N.$$

بنا به فرض  $N$  منتظم است، در نتیجه  $G$  منتظم است. پس معکوس‌پذیر است. بنابراین جواب  $U_{k,m+1}$  یکتا است. در نتیجه جواب  $U_{m+1}$  نیز یکتا است.  $\square$

بنابراین، هرگاه ماتریس‌های  $G_k(\tau, h^\tau)$ ،  $k = 1, \dots, N$  منتظم باشند، آنگاه  $G(\tau, h^\tau)$  نیز منتظم می‌باشد.

لم ۲.۲.۳. فرض کنید  $G(\tau, h^\tau)$  منتظم باشد و  $v_{d,t}$  و  $v_{d,x}$  به ترتیب اندیس دیفرانسیل زمانی یکنواخت و اندیس دیفرانسیل مکانی PDAE (۱.۲) باشند. آنگاه برای ماتریس‌های منتظم  $(G^{-1}(\tau, h^\tau))$  روابط زیر برقرارند: [۱۳]

الف. برای  $0 < v_{d,t} \leq 0$  ثابت

$$\lim_{\tau \rightarrow 0} \tau^{v_{d,t}} G_{i,j}^{-1}(\tau, h^\tau) = 0, \quad i, j = 1, \dots, nN, \quad (14.3)$$

ب. برای  $1 \geq v_{d,t} > 0$  ثابت

$$\lim_{\tau \rightarrow 0} \tau^{v_{d,t}} (G^{-1}(\tau, h^\tau) \frac{1}{\tau} (I_N \otimes A))_{i,j} = 0, \quad i, j = 1, \dots, nN, \quad (15.3)$$

ج. برای  $0 < v_{d,x} \leq 0$  ثابت

$$\lim_{h \rightarrow 0} h^{v_{d,x}} (G_{i,j}^{-1}(\tau, h^\tau)) = 0, \quad i, j = 1, \dots, nN, \quad (16.3)$$

د. برای  $1 \geq v_{d,x} > 0$  ثابت

$$\lim_{h \rightarrow 0} h^{v_{d,x}} (G^{-1}(\tau, h^\tau) \frac{1}{h^\tau} (I_N \otimes B))_{i,j} = 0, \quad i, j = 1, \dots, nN. \quad (17.3)$$

برهان. ابتدا خانواده ماتریس  $(I_N \otimes A, \frac{1}{h^\tau} P \otimes B + I_N \otimes C)$  را در نظر می‌گیریم و فرض کنیم این خانواده ماتریس منتظم باشد. بنابراین می‌توان یک تبدیل کرونکر از این خانواده با ماتریس‌های منتظم  $P_h, Q_h \in \mathbb{R}^{nN \times nN}$  را انجام داد، یعنی

$$I_N \otimes A = P_h^{-1} \begin{pmatrix} I_1 & 0 \\ 0 & \bar{N} \end{pmatrix} Q_h^{-1},$$

$$\frac{1}{h^\tau} P \otimes B + I_N \otimes C = P_h^{-1} \begin{pmatrix} R_h & 0 \\ 0 & I_2 \end{pmatrix} Q_h^{-1}.$$

هرگاه  $A$  متفاوت باشد، آنگاه  $\bar{N}$  پوچ توان است و  $I_1, R_h \in \mathbb{R}^{N_1 \times N_1}$  یک ماتریس همانی می‌باشد). در نتیجه  $I_k$ )  $N_1 = nN$

$$\begin{aligned}
 G(\tau, h^\gamma) &= \frac{1}{\tau} I_N \otimes A + \frac{1}{h^\gamma} P \otimes B + I_N \otimes C \\
 &= \frac{1}{\tau} P_h^{-1} \begin{pmatrix} I_1 & \circ \\ \circ & \bar{N} \end{pmatrix} Q_h^{-1} + P_h^{-1} \begin{pmatrix} R_h & \circ \\ \circ & I_\gamma \end{pmatrix} Q_h^{-1} \\
 &= P_h^{-1} \begin{pmatrix} \frac{I_1}{\tau} & \circ \\ \circ & \frac{\bar{N}}{\tau} \end{pmatrix} Q_h^{-1} + P_h^{-1} \begin{pmatrix} R_h & \circ \\ \circ & I_\gamma \end{pmatrix} Q_h^{-1} \\
 &= P_h^{-1} \begin{pmatrix} \frac{I_1}{\tau} + R_h & \circ \\ \circ & \frac{\bar{N}}{\tau} + I_\gamma \end{pmatrix} Q_h^{-1}
 \end{aligned} \tag{۱۸.۳}$$

همچنین می‌دانیم که  $(AB)^{-1} = B^{-1}A^{-1}$ . بنابراین

$$\begin{aligned}
 G^{-1}(\tau, h^\gamma) &= (Q_h^{-1})^{-1} \left[ P_h^{-1} \begin{pmatrix} \frac{I_1}{\tau} + R_h & \circ \\ \circ & \frac{\bar{N}}{\tau} + I_\gamma \end{pmatrix} \right]^{-1} \\
 &= Q_h \begin{pmatrix} \frac{I_1}{\tau} + R_h & \circ \\ \circ & \frac{\bar{N}}{\tau} + I_\gamma \end{pmatrix}^{-1} P_h,
 \end{aligned} \tag{۱۹.۳}$$

که در آن

$$\begin{aligned}
 \begin{pmatrix} \frac{I_1}{\tau} + R_h & \circ \\ \circ & \frac{\bar{N}}{\tau} + I_\gamma \end{pmatrix}^{-1} &= \frac{\tau^\gamma}{(I_1 + R_h\tau)(\bar{N} + I_\gamma\tau)} \begin{pmatrix} \frac{\bar{N} + I_\gamma\tau}{\tau} & \circ \\ \circ & \frac{I_1 + R_h\tau}{\tau} \end{pmatrix} \\
 &= \begin{pmatrix} \tau(I_1 + R_h\tau)^{-1} & \circ \\ \circ & \tau(\bar{N} + I_\gamma\tau)^{-1} \end{pmatrix} \\
 &= \begin{pmatrix} \tau(I_1 + R_h\tau)^{-1} & \circ \\ \circ & (I_\gamma + \frac{1}{\tau}\bar{N})^{-1} \end{pmatrix}.
 \end{aligned} \tag{۲۰.۳}$$

زیرا

$$\tau(\bar{N} + I_\gamma\tau)^{-1} = (\tau^{-1})^{-1}(\bar{N} + I_\gamma\tau)^{-1} = ((\bar{N} + I_\gamma\tau)\frac{1}{\tau})^{-1} = (I_\gamma + \frac{1}{\tau}\bar{N})^{-1}$$

در نتیجه

$$G^{-1}(\tau, h^\gamma) = Q_h \begin{pmatrix} \tau(I_1 + R_h\tau)^{-1} & \circ \\ \circ & (I_\gamma + \frac{1}{\tau}\bar{N})^{-1} \end{pmatrix} P_h.$$

همچنین داریم:

$$\begin{aligned} G^{-1}(\tau, h^2) \frac{1}{\tau} I_N \otimes A &= Q_h \begin{pmatrix} \tau(I_1 + R_h \tau)^{-1} & \circ \\ \circ & \tau(\bar{N} + I_2 \tau)^{-1} \end{pmatrix} \begin{pmatrix} \frac{I_1}{\tau} & \circ \\ \circ & \frac{\bar{N}}{\tau} \end{pmatrix} Q_h^{-1} \\ &= Q_h \begin{pmatrix} I_1(I_1 + R_h \tau)^{-1} & \circ \\ \circ & (\bar{N} + I_2 \tau)^{-1} \bar{N} \end{pmatrix} Q_h^{-1}. \end{aligned} \quad (21.3)$$

داریم:

$$(\bar{N} + I_2 \tau)^{-1} \bar{N} = (I_2 + \frac{1}{\tau} \bar{N})^{-1}.$$

بنابراین، با استفاده از اتحاد زیر واضح است که گزاره‌های (۱۴.۳) و (۱۵.۳) برقرارند.

$$(I + \frac{1}{\tau} \bar{N})^{-1} = \sum_{t=0}^{v_{d,t}-1} (-\frac{1}{\tau} \bar{N}).$$

به روش مشابه با یک تبدیل کرونکر از خانواده ماتریس  $(P \otimes B, I_N \otimes (\frac{1}{\tau} A + C))$  گزاره‌های (۱۶.۳) و (۱۷.۳) ثابت می‌شوند.  $\square$

بنابراین، برای روش  $BTCS$  می‌توانیم اندیس دیفرانسیل مکانی و اندیس دیفرانسیل زمانی یکنواخت  $PDAE$  (۱.۲) را به صورت زیر تعیین کنیم:

**نتیجه ۳.۰.۲.۳.** اندیس دیفرانسیل مکانی و اندیس دیفرانسیل زمانی یکنواخت برای روش  $BTCS$ ، کوچکترین عدد صحیحی هستند که به ترتیب (۱۶.۳) و (۱۴.۳) برقرارند.

از معادلات (۱۵.۳) و (۱۷.۳) می‌بینیم که برای  $1 \geq v_{d,t}, v_{d,x}$  ماتریس‌های

$$\tau^{v_{d,t}} G^{-1}(\tau, h^2) \frac{1}{\tau} (I_N \otimes A) \quad \text{و} \quad h^{v_{d,x}} G^{-1}(\tau, h^2) \frac{1}{h^2} (I_N \otimes B)$$

به ترتیب ویژگی‌های مشابه با ماتریس‌های  $\tau^{v_{d,t}} G^{-1}(\tau, h^2)$  و  $h^{v_{d,x}} G^{-1}(\tau, h^2)$  را دارند. حال خطای برشی کامل<sup>۱</sup> را به صورت زیر تعریف می‌کنیم:

$$le_{m+1} = U_h(t_{m+1}) - \hat{U}_{m+1}, \quad (22.3)$$

که در آن

$$\hat{U}_{m+1} = G^{-1}(\tau, h^2) \left( \left( \frac{1}{\tau} I_N \otimes A \right) U_h(t_m) + \tilde{F}(t_{m+1}) \right). \quad (23.3)$$

تعریف ۴.۰.۲.۳. هرگاه

$$\frac{1}{\tau} \|le_{m+1}\| \rightarrow 0, \quad \tau, h \rightarrow 0, \quad m = 0, \dots, N, \quad (24.3)$$

در این صورت روش  $BTCS$  نسبت به (۱.۲) در یک فرم  $\|\cdot\|$  پایدار است.

تعریف ۵.۰.۲.۳. هرگاه

$$\frac{1}{\tau} \|le_{m+1}\| = O(h^p) + O(\tau^q), \quad \tau, h \rightarrow 0, \quad (25.3)$$

در این صورت روش  $BTCS$  دقیقاً از مرتبه  $(p, q)$  است که در آن  $1 \geq p, q \geq 0$  می‌باشد.<sup>۱</sup>Full Truncation Error

معادله‌ی (۷.۳) به صورت زیر است:

$$\alpha_h(t) = (I_N \otimes A)U_h'(t) + \left(\frac{1}{h^2}P \otimes B + I_N \otimes C\right)U_h(t) - F(t) + r(t).$$

می‌دانیم  $\tilde{F}(t) = F(t) - r(t)$  در نتیجه بنابر رابطه‌ی (۷.۳) داریم:

$$\alpha_h(t_{m+1}) = (I_N \otimes A)U_h'(t_{m+1}) + \left(\frac{1}{h^2}P \otimes B + I_N \otimes C\right)U_h(t_{m+1}) - \tilde{F}(t_{m+1}).$$

بنابراین

$$\tilde{F}(t_{m+1}) = (I_N \otimes A)U_h'(t_{m+1}) + \left(\frac{1}{h^2}P \otimes B + I_N \otimes C\right)U_h(t_{m+1}) - \alpha_h(t_{m+1}). \quad (26.3)$$

در نتیجه، با استفاده از روابط (۲۲.۳)، (۲۳.۳) و (۲۶.۳) به دست می‌آوریم:

$$\begin{aligned} le_{m+1} &= U_h(t_{m+1}) - G^{-1}(\tau, h^2) \left\{ \left( \frac{1}{\tau} I_N \otimes A \right) U_h(t_m) + (I_N \otimes A)U_h'(t_{m+1}) \right. \\ &\quad \left. + \left( \frac{1}{h^2} P \otimes B + I_N \otimes C \right) U_h(t_{m+1}) - \alpha_h(t_{m+1}) \right\}. \end{aligned} \quad (27.3)$$

همچنین داریم:

$$G(\tau, h^2) = \frac{1}{\tau} I_N \otimes A + \frac{1}{h^2} P \otimes B + I_N \otimes C. \quad (28.3)$$

طرفین (۲۸.۳) را در  $G^{-1}(\tau, h^2)$  ضرب می‌کنیم، در نتیجه به دست می‌آوریم:

$$I = G^{-1}(\tau, h^2) \frac{1}{\tau} I_N \otimes A + G^{-1}(\tau, h^2) \left( \frac{1}{h^2} P \otimes B + I_N \otimes C \right).$$

بنابراین داریم:

$$G^{-1}(\tau, h^2) \frac{1}{\tau} I_N \otimes A = I - G^{-1}(\tau, h^2) \left( \frac{1}{h^2} P \otimes B + I_N \otimes C \right). \quad (29.3)$$

با جایگذاری (۲۹.۳) در (۲۷.۳) داریم:

$$\begin{aligned} le_{m+1} &= \left( G^{-1}(\tau, h^2) \frac{1}{\tau} I_N \otimes A \right) U_h(t_{m+1}) \\ &\quad - G^{-1}(\tau, h^2) \left\{ \left( \frac{1}{\tau} I_N \otimes A \right) U_h(t_m) + (I_N \otimes A)U_h'(t_{m+1}) - \alpha_h(t_{m+1}) \right\}. \end{aligned} \quad (30.3)$$

در نتیجه داریم:

$$\begin{aligned} le_{m+1} &= G^{-1}(\tau, h^2) \left\{ \left( \frac{1}{\tau} I_N \otimes A \right) (U_h(t_{m+1}) - U_h(t_m)) \right. \\ &\quad \left. - (I_N \otimes A)U_h'(t_{m+1}) + \alpha_h(t_{m+1}) \right\}. \end{aligned} \quad (31.3)$$

با یک بسط تیلور از  $U_h(t_{m+1})$  و  $U_h'(t_{m+1})$  نسبت به  $t_m$  داریم:

$$\begin{aligned} le_{m+1} &= \tau G^{-1}(\tau, h^2) (I_N \otimes A) \left\{ \frac{1}{\tau} U_h''(t_m + \xi \tau) - U_h''(t_m + \zeta \tau) \right\} \\ &\quad + h^2 G^{-1}(\tau, h^2) (I_N \otimes B) \gamma_h(t_{m+1}), \end{aligned} \quad (32.3)$$

که در آن  $\xi, \zeta \in (0, 1)$  بنابراین، برای  $t \in I^*$  برآورد

$$\|le_{m+1}\| \leq C_0 (\tau \|G^{-1}(\tau, h^2)(I_N \otimes A)\| + h^2 \|G^{-1}(\tau, h^2)(I_N \otimes B)\|), \quad (33.3)$$

را برای خطای برشی کامل بعدست می‌آوریم که در آن  $C_0$  ثابت مثبت مستقل از  $\tau$  و  $h$  است. عبارات سمت راست (۳۳.۳) به راحتی با لم  $20.2.3$  برآورد می‌شوند، زیرا با استفاده از لم فوق روابط زیر برای  $\tau, h \rightarrow 0$  برقرارند:

$$\begin{aligned} \tau^{v_{d,t}-1} \|G^{-1}(\tau, h^2)\| &\leq k_1, \quad v_{d,t} \geq 0, \\ h^{-2} \|G^{-1}(\tau, h^2)\| &\leq k_2, \quad v_{d,x} = 0, \\ \tau^{v_{d,t}-2} \|G^{-1}(\tau, h^2)(I_N \otimes A)\| &\leq k_3, \quad v_{d,t} \geq 1, \\ h^{v_{d,x}-3} \|G^{-1}(\tau, h^2)(I_N \otimes B)\| &\leq k_4, \quad v_{d,x} \geq 1. \end{aligned} \quad (34.3)$$

که در آن  $\tau$  و  $h$  همزمان به صفر میل می‌کنند. یعنی حداقل یکی از شرایط زیر برقرار است:

$$c_0 \leq \frac{\tau}{h^2} \leq c_1 \quad \text{یا} \quad c_0 \leq \frac{\tau}{h^2} \leq c_1, \quad c_0, c_1 \in \mathbb{R}^+. \quad (35.3)$$

تذکر ۶.۲.۳. هرگاه  $c_0 = \infty$  و  $c_1 = 0$ ، در این صورت هیچ شرطی برای  $\tau$  و  $h$  وجود ندارد.

تذکر ۷.۲.۳. بدیهی است هرگاه طرح  $BTCS$  دقیقاً از مرتبه  $(p, q)$  باشد، در این صورت این روش پایدار است. اگر روابط (۲۴.۳) و (۲۵.۳) تحت یکی از شرایط ۳۵.۳ برقرار باشند، آنگاه روش  $BTCS$  به ترتیب به‌طور مشروط پایدار و به‌طور مشروط دقیقاً از مرتبه  $(p, q)$  می‌باشد.

قضیه ۸.۲.۳. [۱۲] هرگاه برای  $PDAE$  داده شده (۱.۲) رابطه‌های مجانية (۳۴.۳) تحت یکی از شرایط (۳۵.۳) برقرار باشند، در این صورت روش  $BTCS$  برای  $t \in I^*$  به‌طور مشروط دقیقاً از مرتبه (۲, ۱) می‌باشد برای

الف. یک اندیس زمانی یکنواخت  $v_{d,t} = 0$  و یک اندیس مکانی  $v_{d,x} \geq 0$

ب. یک اندیس زمانی یکنواخت  $v_{d,t} = 0$  و یک اندیس مکانی  $v_{d,x} < \frac{\tau}{h^2}$  تحت شرط  $\tau < \tilde{c}_0$ .

ج. یک اندیس زمانی یکنواخت  $v_{d,t} = 1$  و یک اندیس مکانی  $v_{d,x} = 1$  تحت شرط  $\frac{\tau}{h^2} < \tilde{c}_0$ .

برهان. در طول اثبات  $K$  ثابتی است که مستقل از  $\tau$  و  $h$  می‌باشد.

ابتدا حالت  $v_{d,t} = 0$  و  $v_{d,x} \geq 0$  را در نظر می‌گیریم. با توجه به این‌که  $v_{d,t} = 0$ ، بنابراین با استفاده از نامساوی اول (۳۴.۳) داریم:  $\|\tau^{-1} G^{-1}\| \leq k_1 \frac{1}{\tau} \|\tau^{-1} G^{-1}\| \leq k_1$ . در نتیجه، بنابراین، سمت راست برآورد (۳۳.۳) را می‌توان به صورت زیر نوشت:

$$K(\tau^2 \|\tau^{-1} G^{-1}\| + \tau h^2 \|\tau^{-1} G^{-1}\|) = O(\tau^2) + O(\tau h^2).$$

در نتیجه

$$\frac{1}{\tau} \|l e_{m+1}\| = O(\tau) + O(h^2).$$

بنابراین، با توجه به تعریف ۵.۲.۳ روش  $BTCS$  دقیقاً از مرتبه (۲, ۱) می‌باشد.

به طریق مشابه، در حالت  $v_{d,t} \geq 0$  و  $v_{d,x} = 0$ ، با استفاده از نامساوی دوم (۳۴.۳) داریم:

$$\|h^{-2} G^{-1}\| \leq k_2.$$

$$K(\tau h^2 \|h^{-2} G^{-1}\| + h^4 \|h^{-2} G^{-1}\|) = O(\tau h^2) + O(h^4).$$

همچنین، داریم:  $O(\tau) = O(h^\frac{1}{2}) < \tilde{c}_0 \leq \frac{\tau}{h^\frac{1}{2}}$ . بنابراین  $O(\tau h^\frac{1}{2}) + O(h^\frac{1}{2}) = O(\tau^\frac{1}{2}) + O(\tau h^\frac{1}{2})$ .

بنابراین

$$\frac{1}{\tau} \|l e_{m+1}\| = O(\tau) + O(h^\frac{1}{2}).$$

مشابه قسمت قبل، بنابراین  $BTCS$  دقیقاً از مرتبه  $(1, 2, 0.5)$  است.  
برای قسمت آخر، با استفاده از دو نامساوی آخر  $(34.3)$  داریم:

$$\|\tau^{-1} G^{-1} (I_N \otimes A)\| \leq k_3, \quad \|h^{-\frac{1}{2}} G^{-1} (I_N \otimes B)\| \leq k_4.$$

بنابراین برای سمت راست برآورده  $(33.3)$  کران بالای زیر را به دست می‌آوریم:  
 $K(\tau^{1-v_{d,t}} \|\tau^{v_{d,t}-\frac{1}{2}} G^{-1} (I_N \otimes A)\| + h^{0-v_{d,x}} \|h^{v_{d,x}-\frac{1}{2}} G^{-1} (I_N \otimes B)\|)$ .  $(36.3)$

با جایگذاری  $v_{d,t} = v_{d,x}$  در  $(36.3)$ ، به دست می‌آوریم:  
 $K(\tau^\frac{1}{2} \|\tau^{-1} G^{-1} (I_N \otimes A)\| + h^\frac{1}{2} \|h^{-\frac{1}{2}} G^{-1} (I_N \otimes B)\|)$ .  $(37.3)$

بنابراین داریم:

$$\|l e_{m+1}\| = O(\tau^\frac{1}{2}) + O(h^\frac{1}{2}).$$

در نتیجه مشابه با قسمت قبل، چون  $\tilde{c}_0 \leq \frac{\tau}{h^\frac{1}{2}}$ ، بنابراین  
 $O(\tau^\frac{1}{2}) + O(h^\frac{1}{2}) = O(\tau^\frac{1}{2}) + O(\tau h^\frac{1}{2})$ .

□ در نتیجه مشابه با قسمت قبل، روش  $BTCS$  دقیقاً از مرتبه  $(1, 2)$  است.

اکنون خطای گسسته‌سازی کامل<sup>۱</sup> در زمان  $t_{m+1}$  را به صورت زیر تعریف می‌کنیم:

$$\epsilon_h(t_{m+1}) = U_h(t_{m+1}) - U_{m+1}. \quad (38.3)$$

تعریف ۹.۲.۳. هرگاه

$$\|\epsilon_h(t_{m+1})\| = O(h^p) + O(\tau^q), \quad \tau, h \rightarrow 0, \quad m = 0, \dots, N, \quad (39.3)$$

در این صورت روش  $BTCS$  همگرا از مرتبه  $(p, q)$  است. اگر رابطه  $(39.3)$  تحت یکی از شرایط  $(35.3)$  برقرار باشد، آنگاه روش  $BTCS$  را به طور مشروط همگرا از مرتبه  $(p, q)$  می‌نامیم.

از تعریف خطای گسسته‌سازی کامل داریم:

$$\epsilon_h(t_{m+1}) = U_h(t_{m+1}) - U_{m+1}. \quad (40.3)$$

همچنین تعریف خطای برشی کامل به صورت زیر است:

$$l e_{m+1} = U_h(t_{m+1}) - \hat{U}_{m+1}.$$

بنابراین

$$U_h(t_{m+1}) = l e_{m+1} + \hat{U}_{m+1}. \quad (41.3)$$

<sup>۱</sup>Full Discretization Error

همچنین

$$\hat{U}_{m+1} = G^{-1}(\tau, h^{\frac{1}{\tau}}) \left( \left( \frac{1}{\tau} I_N \otimes A \right) U_h(t_m) + \tilde{F}(t_{m+1}) \right). \quad (42.3)$$

حال (۴۱.۳) و (۴۲.۳) را در (۴۰.۳) جایگذاری می‌کنیم. در نتیجه داریم:

$$\epsilon_h(t_{m+1}) = G^{-1}(\tau, h^{\frac{1}{\tau}}) \left( \left( \frac{1}{\tau} I_N \otimes A \right) U_h(t_m) + \tilde{F}(t_{m+1}) \right) - U_{m+1} + le_{m+1}.$$

همچنین بنا بر (۸.۳) داریم:

$$U_{m+1} = G^{-1}(\tau, h^{\frac{1}{\tau}}) \left( \left( \frac{1}{\tau} I_N \otimes A \right) U_m + G^{-1}(\tau, h^{\frac{1}{\tau}}) \tilde{F}(t_{m+1}) \right).$$

بنابراین

$$\epsilon_h(t_{m+1}) = G^{-1}(\tau, h^{\frac{1}{\tau}}) \left( \left( \frac{1}{\tau} I_N \otimes A \right) \epsilon_h(t_m) + le_{m+1} \right), \quad (43.3)$$

و با استقرارا به دست می‌آوریم:

$$\epsilon_h(t_{m+1}) = \left( G^{-1}(\tau, h^{\frac{1}{\tau}}) \left( \frac{1}{\tau} I_N \otimes A \right) \right)^{m+1} \epsilon_h(0) + \sum_{i=0}^m \left( G^{-1}(\tau, h^{\frac{1}{\tau}}) \left( \frac{1}{\tau} I_N \otimes A \right) \right)^i le_{m+1-i}. \quad (44.3)$$

در نتیجه

$$\begin{aligned} \|\epsilon_h(t_{m+1})\| &\leq \left\| \left( G^{-1}(\tau, h^{\frac{1}{\tau}}) \left( \frac{1}{\tau} I_N \otimes A \right) \right)^{m+1} \right\| \|\epsilon_h(0)\| \\ &+ \max_{i=0}^m \|le_{i+1}\| \sum_{i=0}^m \left\| \left( G^{-1}(\tau, h^{\frac{1}{\tau}}) \left( \frac{1}{\tau} I_N \otimes A \right) \right)^i \right\| \end{aligned} \quad (45.3)$$

برای  $t^* < m\tau$  فرض کنیم شرط زیر برقرار باشد:

$$\sup \left\{ \left\| \left( G^{-1}(\tau, h^{\frac{1}{\tau}}) \left( \frac{1}{\tau} I_N \otimes A \right) \right)^i \right\|, \quad i \in \mathbb{N}, \quad \text{طبق } ۳۵.۳ \text{ و } h \text{ احتمالاً محدود} \right\} < \infty. \quad (46.3)$$

فرض کنیم  $\|\epsilon_h(0)\| = O(h^{\frac{1}{\tau}})$ . در این صورت برای  $t \in I^*$  برآورد

$$\|\epsilon_h(t_{m+1})\| \leq \bar{K}(m+1) \max_{i=0}^m \|le_{i+1}\| \leq K \max_{i=0}^m \frac{\|le_{i+1}\|}{\tau},$$

را برای  $t \in I^*$  به دست می‌آوریم که تحت شرط  $\tau m = t \in I^*$  ( ثابت)، هرگاه  $\tau, h \rightarrow 0$ ، در این صورت  $K$  و  $\bar{K}$  ثابت‌های مثبت مستقل از  $\tau$  و  $h$  هستند. با استفاده از (۸.۲.۳) قضیه‌ی زیر را داریم:

قضیه ۱۰.۲.۳. [۱۲] فرض کنید مفروضات قضیه ۸.۲.۳ و برآورد (۴۶.۳) برقرار باشند. در این صورت روش  $BTCS$  برای هر  $t \in I^*$  و تحت شرایط زیر نسبت به  $\|\cdot\|$  به طور مشروط همگرا از مرتبه ۲، ۱ است.

الف.  $v_{d,x} \geq 0$  و  $v_{d,t} = 0$

ب. تحت شرط  $v_{d,x} = 0$  و  $v_{d,t} \geq 0$  و  $0 < \tilde{c}_0 \leq \frac{\tau}{h^{\frac{1}{\tau}}}$

ج. تحت شرط  $v_{d,t} = v_{d,x} = 1$  و  $0 < \tilde{c}_0 \leq \frac{\tau}{h^{\frac{1}{\tau}}}$

### ۲.۲.۳ نمایش فوریه‌ی متناهی خطای گسسته‌سازی کامل

علاوه بر خطای گسسته‌سازی کامل  $\epsilon_h(t_{m+1})$  مولفه‌ی تعمیم‌یافته‌ی این خطای بحسب ماتریس‌های  $n \times n$  و  $G_k^{-1}B$  را تعریف می‌کنیم.

حال در فضای برداری  $\mathbb{R}^N$  از نرم گسسته‌ی  $L_2$  متناظر با ضرب داخلی زیر استفاده می‌کنیم:

$$\langle x, y \rangle = h x^T y = \sum_{i=1}^N h x_i y_i, \quad x, y \in \mathbb{R}^N, \quad h = \frac{2l}{N+1}.$$

$$\text{فرض کنیم } \|\phi_k\| = \sqrt{\langle \phi_k, \phi_k \rangle} = 1$$

لم ۱۱.۲.۳. فرض کنید برای  $\tau, h > 0$

الف. برای  $N, k = 1, \dots, N$  منظم باشد،

ب. برای هر  $t \in I^*$  و  $x \in [-l, l]$   $u(t, x)$  و  $\gamma_h(t)$  به قدر کافی هموار باشد،

ج.  $\epsilon_h(t_j)$  به صورت یک سری فوریه‌ی تعمیم‌یافته‌ی متناهی نسبت به  $\phi_k$  ( مشابه با معادله ۵.۳ ) به صورت زیر نمایش داده شود:

$$\epsilon_h(t_j) = \sum_{k=1}^N \phi_k \otimes e_{h,k}^j, \quad j = 0, 1, \dots, \quad (47.3)$$

$$\cdot e_{h,k}^j \in \mathbb{R}^n$$

در این صورت برای  $e_{h,k}^{m+1}, t \in I^*$  می‌تواند به صورت زیر برآورد شود:

$$\|e_{h,k}^{m+1}\| \leq \left\| \left( G_k^{-1} \frac{A}{\tau} \right)^m \right\| \|e_{h,k}^m\| + \omega \sum_{i=0}^m \left\| \left( G_k^{-1} \frac{A}{\tau} \right)^i \left[ h^\gamma \|G_k^{-1}B\| + \tau^\gamma \|G_k^{-1} \frac{A}{\tau}\| \right] \right\|, \quad (48.3)$$

که در آن  $\omega$  ثابت مثبت مستقل از  $\tau$  و  $h$  می‌باشد. [۱۲]

برهان. از (۴۳.۳) داریم:

$$G(\tau, h^\gamma) \epsilon_h(t_{m+1}) = \frac{1}{\tau} (I_N \otimes A) \epsilon_h(t_m) + G(\tau, h^\gamma) h e_{m+1}.$$

با استفاده از (۳۲.۳) به دست می‌آوریم:

$$G(\tau, h^\gamma) \epsilon_h(t_{m+1}) = \frac{1}{\tau} (I_N \otimes A) \epsilon_h(t_m) + \tau (I_N \otimes A) \left[ \frac{1}{\gamma} U_h''(t_m + \xi \tau) - U_h''(t_m + \zeta \tau) \right] + h^\gamma (I_N \otimes B) \gamma_h(t_{m+1}). \quad (49.3)$$

طرفین (۴۹.۳) را از سمت چپ در  $(h \phi_k^T \otimes I_n)$  که  $h (\phi_k^T \otimes I_n)$  ضرب می‌کنیم. به دلیل این‌که  $\phi_k$  بردار ویژه هستند و بنابراین متعامدند، در نتیجه تنها در حالت  $k' = k$  حاصل ضرب داخلی  $\langle \phi_k, \phi_{k'} \rangle$  مخالف صفر می‌شود. بنابراین نتیجه می‌گیریم:

$$G_k e_{h,k}^{m+1} = \frac{A}{\tau} e_{h,k}^m + h^\gamma (h \phi_k^T \otimes B) \gamma_h(t_{m+1}) + \tau (h \phi_k^T \otimes A) \left[ \frac{1}{\gamma} U_h''(t_m + \xi \tau) - U_h''(t_m + \zeta \tau) \right]. \quad (50.3)$$

## ۲.۳. گسسته‌سازی زمانی و همگرایی گسسته‌سازی کامل

۵۱

بنابراین با استفاده از فرضیات ۱۱.۲.۳ و ۱۱.۲.۴ داریم:

$$\begin{aligned} e_{h,k}^{m+1} &= G_k^{-1} \frac{A}{\tau} e_{h,k}^m + G_k^{-1} h^T (h \phi_k^T \otimes B) \gamma_h(t_{m+1}) \\ &\quad + G_k^{-1} \tau (h \phi_k^T \otimes A) \left[ \frac{1}{\tau} U_h''(t_m + \xi \tau) - U_h''(t_m + \zeta \tau) \right]. \end{aligned} \quad (51.3)$$

با گرفتن نرم از طرفین اثبات لم کامل می‌شود.

لم ۱۲.۲.۳. فرض کنید برای  $0 < h \leq \tau < h_0$ ، مفروضات لم ۱۱.۲.۳ برقرار باشند و همچنین وقتی  $\|\epsilon_h(t_{m+1})\|, \|\epsilon_h(t_m)\|, \|\epsilon_h(t_{m+1})\| \rightarrow 0$  به صفر میل کند. در این صورت برای  $t \in I^*$ ، رابطه‌ی

$$\|e_{h,k}^{m+1}\| \rightarrow 0, \quad \tau, h \rightarrow 0.$$

برقرار است. همچنین، مرتبه‌ی همگرایی  $\|e_{h,k}^{m+1}\|$  (نسبت به  $\tau$  و  $h$ ) مشابه با مرتبه‌ی همگرایی  $\|\epsilon_h(t_{m+1})\|$  می‌باشد.

برهان. معادله‌ی (۴۷.۳) را از سمت چپ در  $(h \phi_{k'}^T \otimes I_n) h (\phi_k^T \otimes I_n)$  ضرب می‌کنیم و از خاصیت تعامد بردارهای ویژه‌ی  $\phi_k$  و  $\phi_{k'}$  استفاده می‌کنیم و داریم:

$$e_{h,k'}^{m+1} = h (\phi_{k'}^T \otimes I_n) \epsilon_h(t_{m+1}).$$

با گرفتن نرم از طرفین، اثبات لم کامل می‌شود.

مثال ۱۳.۲.۳. فرض کنید برای PDAE (۱.۲) داشته باشیم:

$$A = \begin{pmatrix} 1 & 0 & 0 \\ 0 & 1 & 0 \\ 0 & 0 & 0 \end{pmatrix}, \quad B = \begin{pmatrix} 0 & -1 & 0 \\ 0 & 0 & -1 \\ 0 & 0 & 0 \end{pmatrix}, \quad C = \begin{pmatrix} 1 & 1 & 0 \\ 0 & 0 & 1 \\ 0 & 1 & 0 \end{pmatrix}.$$

می‌دانیم  $G_k = \frac{1}{\tau} A + \lambda_k B + C$  در نتیجه

$$G_k = \begin{pmatrix} \frac{\tau+1}{\tau} & 1-\lambda_k & 0 \\ 0 & \frac{1}{\tau} & 1-\lambda_k \\ 0 & 1 & 0 \end{pmatrix}.$$

بنابراین

$$G_k^{-1} = \begin{pmatrix} \frac{\tau}{\tau+1} & 0 & \frac{\tau(1-\lambda_k)}{\tau+1} \\ 0 & 0 & 1 \\ 0 & \frac{1}{1-\lambda_k} & \frac{1}{\tau(\lambda_k-1)} \end{pmatrix}.$$

در نتیجه

$$G_k^{-1} \frac{A}{\tau} = \begin{pmatrix} (1+\tau)^{-1} & 0 & 0 \\ 0 & 0 & 0 \\ 0 & (\tau-\tau\lambda_k)^{-1} & 0 \end{pmatrix}.$$

همچنین

$$G_k^{-1}B = \begin{pmatrix} 0 & -\frac{\tau}{\tau+1} & 0 \\ 0 & 0 & 0 \\ 0 & 0 & (\lambda_k - 1)^{-1} \end{pmatrix}.$$

داریم:

$$\lambda_k = -\frac{\tau}{h^2} \sin^2\left(\frac{k\pi}{N+1}\right), \quad h = \frac{\tau L}{N+1}, \quad L = \frac{h(N+1)}{2},$$

بنابراین  $h = \frac{\tau L}{N+1}$ . در نتیجه

$$\begin{aligned} -\tau\lambda_k &= \frac{\tau}{h^2} \sin^2\left(\frac{k\pi}{N+1}\right) \\ &= \frac{\tau}{h^2} \sin^2\left(\frac{\pi kh}{\tau L}\right). \end{aligned} \tag{۴۸.۳}$$

بنابراین

$$\left\| G_k^{-1} \frac{A}{\tau} \right\| = \max \left\{ \frac{1}{1+\tau}, \frac{1}{\tau(1-\lambda_k)} \right\},$$

که برای  $\tau, h \rightarrow 0$  تحت شرط  $1 - \lambda_k = \kappa_k \frac{\tau}{h^2} \geq 1$ ، به یک میل می‌کند. (بنابراین  $\kappa_k^{-1} = c_0$ . زیرا  $c_0 \leq \frac{\tau}{h^2} \leq c_1$  و همچنین

$$-\tau\lambda_k = \kappa_k \frac{\tau}{h^2} \geq 1.$$

بنابراین  $\kappa_k^{-1} \geq \kappa_k \frac{\tau}{h^2}$ . در نتیجه  $c_0 = \kappa_k^{-1} \cdot \text{همچنین}$ 

$$-\tau\lambda_k = \kappa_k \frac{\tau}{h^2} \geq 1,$$

پس داریم:

$$\lambda_k = \frac{\kappa_k \tau}{-\tau h^2} = -\frac{\kappa_k}{h^2}.$$

در نتیجه

$$\frac{1}{1-\lambda_k} = \frac{1}{1 + \frac{\kappa_k}{h^2}} = \frac{h^2}{h^2 + \kappa_k}.$$

داریم:  $1 - \lambda_k = \kappa_k \frac{\tau}{h^2} \geq h^2$ . در نتیجه  $\kappa_k \tau \geq h^2$ .

$$\frac{1}{1-\lambda_k} \leq \frac{\kappa_k \tau}{\kappa_k + h^2}.$$

بنابراین به دست می‌آید:

$$\left\| G_k^{-1} B \right\| = \max \left\{ \frac{\tau}{1+\tau}, \frac{1}{(1-\lambda_k)} \right\} \leq \max \left\{ \frac{\tau}{1+\tau}, \frac{\kappa_k \tau}{\kappa_k + h^2} \right\} = O(\tau).$$

با توجه به این که  $m\tau = t$  برای همگرایی ثابت می‌باشد و

$$\sum_{i=0}^m \left\| \left( G_k^{-1} \frac{A}{\tau} \right)^i \right\| = O\left(\frac{1}{\tau}\right), \quad \tau, h \rightarrow 0.$$

بنابراین از برآورد (۴۸.۳) نتیجه می‌شود که  $\|e_{h,k}^{m+1}\| = O(\tau) + O(h^2)$ ، که هرگاه  $\tau, h \rightarrow 0$ ، ایننم به صفر می‌کند (تحت شرط  $\frac{1}{\kappa_k} \leq \frac{\tau}{h^2}$ ).

# ۳ فصل

## مثال عددی

با ارائه مثالی می خواهیم نرم خطای برش کامل و خطای گسته سازی کامل را بررسی کنیم.

مثال ۱۴.۰.۴. معادله دیفرانسیل جبری جزئی به صورت زیر را در نظر بگیرید:

$$Au_t(t, x) + Bu_{xx}(t, x) + Cu(t, x) = f(t, x).$$

فرض کنیم  $t \in [0, 1]$  و  $x \in [-1, 1]$

$$A = \begin{pmatrix} 0 & 2 & 0 \\ 1 & -1 & 0 \\ 1 & -1 & 0 \end{pmatrix}, \quad B = \begin{pmatrix} -1 & 0 & 0 \\ 0 & 0 & 0 \\ 0 & 0 & -1 \end{pmatrix}, \quad C = \begin{pmatrix} 0 & 0 & 0 \\ 0 & -1 & 0 \\ 0 & 0 & 1 \end{pmatrix}.$$

تابع  $f$  را طوری انتخاب می کنیم که جواب دقیق مساله به صورت زیر باشد:

$$u(t, x) = (x^2 e^{-t}, x^2 e^{-\frac{1}{2}t}, x^2 \sin t)^T.$$

داریم:

$$Au_t(t, x) + Bu_{xx}(t, x) + Cu(t, x) = f(t, x)$$

با جایگذاری، تابع  $f$  به صورت زیر حاصل می شود:

$$f(t, x) = (-x^2 e^{-\frac{1}{2}t} - 2e^{-t}, -x^2 e^{-t} - \frac{1}{2}x^2 e^{-\frac{1}{2}t}, -x^2 e^{-t} + \frac{1}{2}x^2 e^{-\frac{1}{2}t} - 2 \sin t + x^2 \sin t)^T.$$

روش  $BTCS$  به صورت زیر است:

$$G(\tau, h^2)U_{m+1} = (\frac{1}{\tau}I_N \otimes A)Um + F(T_{m+1}) - r(t_{m+1}), \quad m = 0, \dots, N,$$

با  $U_0 = U(0)$  که در آن

$$U(0) = (\tilde{g}^T(x_1), \dots, \tilde{g}^T(x_N))^T \approx (g^T(x_1), \dots, g^T(x_N))^T.$$

می دانیم

$$(g^T(x_1), \dots, g^T(x_N))^T = (u(0, x_1), \dots, u(0, x_N))^T.$$

در نتیجه

$$U_0 = U(0) = (0/20, 0/20, 0, 0, 0, 0, 0/20, 0/20, 0)^T.$$

همچنین

$$G(\tau, h^r) = \frac{1}{\tau} I_N \otimes A + \frac{1}{h^r} P \otimes B + I_N \otimes C.$$

بنابراین

$$U_{m+1} = G^{-1}(\tau, h^r)((\frac{1}{\tau} I_N \otimes A)U_m + F(T_{m+1}) - r(t_{m+1})).$$

با در نظر گرفتن  $h = \frac{1}{4}$  نتیجه می‌گیریم و  $N = 3$ 

$$\omega_h = \{-\frac{1}{4}, 0, \frac{1}{4}\}, \quad t_m \in \{\frac{1}{4}, \frac{1}{2}, \frac{3}{4}\}.$$

يعنى

$$t_0 = 0, \quad t_1 = \frac{1}{4}, \quad t_2 = \frac{1}{2}, \quad t_3 = \frac{3}{4}, \quad t_4 = 1.$$

$$t_m = \frac{m}{N+1}, \quad m = 0, \dots, N$$

داریم:

$$\tilde{F}(t_{m+1}) = F(t_{m+1}) - r(t_{m+1}),$$

که در آن

$$r(t) = (\frac{1}{h^r} I_N \otimes B)(u^T(t, -l), 0, \dots, 0, u^T(t, l))^T,$$

$$F(t) = (f_1^T(t), \dots, f_N^T(t))^T, \quad f_k(t) = f(t, x_k).$$

بنابراین

$$F(t) = \begin{pmatrix} -4e^{-t} - \frac{1}{4}e^{-\frac{1}{4}t} \\ -\frac{1}{4}e^{-t} - \frac{1}{4}e^{-\frac{1}{4}t} \\ \frac{1}{4}e^{-\frac{1}{4}t} - \frac{1}{4}e^{-t} - \frac{1}{4}\sin t \\ -4e^{-t} \\ \vdots \\ -4\sin t \\ -4e^{-t} - \frac{1}{4}e^{-\frac{1}{4}t} \\ -\frac{1}{4}e^{-t} - \frac{1}{4}e^{-\frac{1}{4}t} \\ \frac{1}{4}e^{-\frac{1}{4}t} - \frac{1}{4}e^{-t} - \frac{1}{4}\sin t \end{pmatrix}^T,$$

$$(u(t, -1), 0, 0, 0, u(t, 1))^T = (e^{-t}, e^{-\frac{1}{4}t}, \sin t, 0, 0, 0, e^{-t}, e^{-\frac{1}{4}t}, \sin t)^T,$$

در نتیجه

$$r(t) = (-4e^{-t}, 0, -4\sin t, 0, 0, 0, -4e^{-t}, 0, -4\sin t)^T.$$

بنابراین

$$\tilde{F}(t) = F(t) - r(t) = \begin{pmatrix} 2e^{-t} - \frac{1}{\varphi}e^{-\frac{1}{\varphi}t} \\ -\frac{1}{\varphi}e^{-t} - \frac{1}{\lambda}e^{-\frac{1}{\lambda}t} \\ \frac{1}{\lambda}e^{-\frac{1}{\lambda}t} - \frac{1}{\varphi}e^{-t} + \frac{1}{\varphi}\sin t \\ -2e^{-t} \\ \vdots \\ -2\sin t \\ 2e^{-t} - \frac{1}{\varphi}e^{-\frac{1}{\varphi}t} \\ -\frac{1}{\varphi}e^{-t} - \frac{1}{\lambda}e^{-\frac{1}{\lambda}t} \\ \frac{1}{\lambda}e^{-\frac{1}{\lambda}t} - \frac{1}{\varphi}e^{-t} + \frac{1}{\varphi}\sin t \end{pmatrix}$$

همچنین

$$G(\tau, h^*) = \begin{pmatrix} \lambda & \lambda & \circ & -4 & \circ & \circ & \circ & \circ & \circ \\ 4 & -\lambda & \circ \\ 4 & -4 & 9 & \circ & \circ & -4 & \circ & \circ & \circ \\ -4 & \circ & \circ & \lambda & \lambda & \circ & -4 & \circ & \circ \\ \circ & \circ & \circ & 4 & -\lambda & \circ & \circ & \circ & \circ \\ \circ & \circ & -4 & 4 & -4 & 9 & \circ & \circ & -4 \\ \circ & \circ & \circ & -4 & \circ & \circ & \lambda & \lambda & \circ \\ \circ & \circ & \circ & \circ & \circ & \circ & 4 & -\lambda & \circ \\ \circ & \circ & \circ & \circ & \circ & -4 & 4 & -4 & 9 \end{pmatrix}.$$

بنابراین

$$G^{-1}(\tau, h^*) =$$

$$\begin{pmatrix} 0,0758 & 0,1212 & \circ & 0,0228 & 0,0365 & \circ & 0,0063 & 0,0101 & \circ \\ 0,0606 & -0,1030 & \circ & 0,0182 & 0,0292 & \circ & 0,0051 & 0,0081 & \circ \\ -0,0106 & -0,1349 & 0,1474 & -0,0087 & -0,0792 & 0,0816 & -0,0044 & -0,0361 & 0,0363 \\ 0,0228 & 0,0365 & \circ & 0,0182 & 0,0131 & \circ & 0,0228 & 0,0365 & \circ \\ 0,0182 & 0,0292 & \circ & 0,0607 & -0,0949 & \circ & 0,0182 & 0,0292 & \circ \\ -0,0087 & -0,0792 & 0,0816 & -0,0150 & -0,0171 & 0,0183 & -0,0087 & -0,0792 & 0,0816 \\ 0,0063 & 0,0101 & \circ & 0,0228 & 0,0365 & \circ & 0,0758 & 0,1212 & \circ \\ 0,0051 & 0,0081 & \circ & 0,0182 & 0,0292 & \circ & 0,0606 & -0,1030 & \circ \\ -0,0044 & -0,0361 & 0,0363 & -0,0087 & -0,0792 & 0,0816 & -0,0106 & -0,1349 & 0,1474 \end{pmatrix}.$$

همچنین برای  $\{ \frac{1}{\varphi}, \frac{1}{\lambda}, \frac{3}{4} \}$  داریم:

$$U_h(t) = (u(t, x_1), \dots, u(t, x_N))^T,$$

در نتیجه

$$U_h(t) = \left( \frac{1}{\sqrt{t}} e^{-t}, \frac{1}{\sqrt{t}} e^{-\frac{1}{t}t}, \frac{1}{\sqrt{t}} \sin t, 0, 0, 0, \frac{1}{\sqrt{t}} e^{-t}, \frac{1}{\sqrt{t}} e^{-\frac{1}{t}t}, \frac{1}{\sqrt{t}} \sin t \right)^T,$$

خطای گسسته‌سازی کامل در هر مرحله به صورت زیر است:

$$\epsilon_h(t_{m+1}) = U_h(t_{m+1}) - U_{m+1}, \quad m = 0, \dots, N,$$

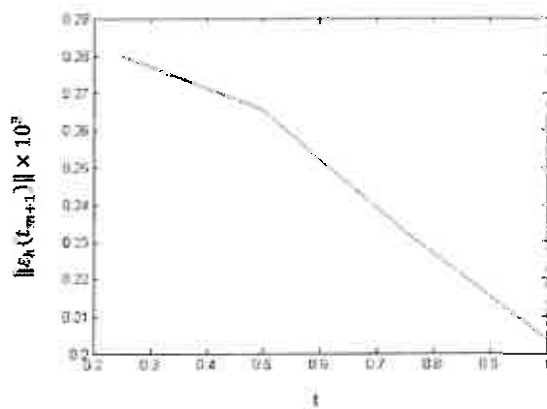
همچنین داریم:

$$le_{m+1} = U_h(t_{m+1}) - \hat{U}_{m+1},$$

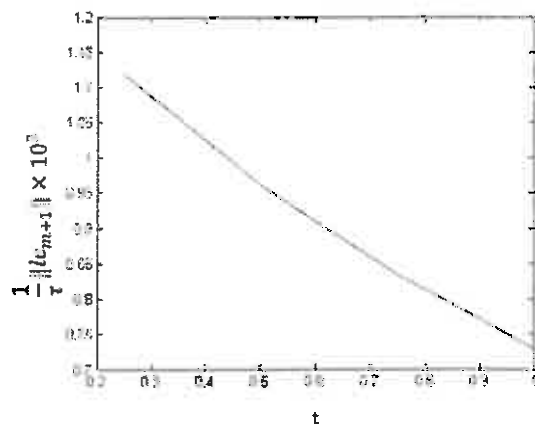
که در آن

$$\hat{U}_{m+1} = G^{-1}(\tau, h^2) \left( \left( \frac{1}{\tau} I_N \otimes A \right) U_h(t_m) + \tilde{F}(t_{m+1}) \right).$$

حال خطای برشی کامل و خطای گسسته‌سازی کامل را برای  $h = \frac{1}{\sqrt{t}}$  در زمان  $[0, 1]$  بررسی می‌کنیم و نمودار نرم آنها را رسم می‌کنیم. محور افقی زمان  $t$  و محور عمودی خطای حاصل بر حسب  $10^{-3}$  می‌باشد. در نتیجه نمودارهای زیر حاصل می‌شوند:



شکل ۱.۴: نمودار  $\|\epsilon_h(t_{m+1})\|$  برای  $h = \frac{1}{\tau}$  در بازه زمانی  $[0, 1]$



شکل ۲.۴: نمودار  $\frac{1}{\tau} \|e_{m+1}\|$  برای  $h = \frac{1}{\tau}$  در بازه زمانی  $[0, 1]$

همانطور که مشاهده می‌کنیم، نمودار خطاهای در زمان  $[0, t] \in \mathbb{R}$  نزولی می‌باشد. به عبارت دیگر، در هر مرحله‌ی زمانی خطاهای همگرا به صفر می‌باشند. یعنی داریم:

$$\frac{1}{\tau} \|e_{N+1}\| \leq \frac{1}{\tau} \|e_N\| \leq \cdots \leq \frac{1}{\tau} \|e_1\|,$$

و

$$\|\epsilon_h(t_{N+1})\| \leq \|\epsilon_h(t_N)\| \leq \cdots \leq \|\epsilon_h(t_1)\|.$$

یعنی در این مثال، روش *BTCS* پایدار و همگرا می‌باشد.

## نتایج

همانطور که در فصل‌های قبل مشاهده کردیم، برای حل معادلات دیفرانسیل جبری جزئی، ابتدا باید اندیس‌ها و مجموعه اندیس‌های  $M_{BC}$  و  $M_{IC}$  را بررسی کنیم و شرایط اولیه و مرزی لازم را که برای حل معادله لازم هستند، به دست آوریم. در این پایان نامه برای حل *PDAE* از روش *BTCS* استفاده کردیم. به گونه‌ای که ابتدا مکان و سپس زمان را گسترش کردیم و مشاهده کردیم که نرم خطای گسترش‌سازی و نرم وابسته به خطای برشی در هر مرحله‌ی زمانی کاهش می‌یابد و خطا به صفر میل می‌کند و درنتیجه روش فوق همگرا می‌باشد.

## پیشنهادات

روش دیگری برای حل *PDAE* وجود دارد. مشابه قبل، ابتدا با استفاده از گسترش‌سازی مکانی، *PDAE* را به *DAE* تبدیل می‌کنیم. سپس قاعده‌ی ذوزنقه‌ای<sup>۱</sup> را روی *DAE* پیاده می‌کنیم که روش کرانک-نیکلسون<sup>۲</sup> را نتیجه می‌دهد. دو روش دیگر را در زیر معرفی می‌کنیم:

۱. حل عددی *PDAE* با تقریب پاده چند متغیره: در این روش ابتدا *PDAE* با تبدیل دیفرانسیل دو بعدی به سری توافقی تبدیل می‌شود. سپس جواب عددی معادله به صورت سری پاده چند متغیره در می‌آید که جواب فوق جواب عددی *PDAE* است.

۲. آنالیز همگرایی *PDAE* از پیوست یک مدل نیمه‌رسانایی به یک مدل مداری: در این روش شبیه‌سازی مداری را با استفاده از آنالیز گرامی اصلاح شده به کار می‌بریم. برای شرح نیمه‌رسانایها، معادلات انتشار راندگی ایستا استفاده می‌شوند. سیستم کامل شده یک *PDAE* است. ابتدا معادله‌ی فوق را با روش المان‌های محدود و گسترش‌سازی اسچارفتر گومل<sup>۳</sup> در فضای گستره می‌کنیم. در نتیجه، سیستم نیمه‌گستته به یک معادله دیفرانسیل جبری تبدیل می‌شود و معیار توبولوژی اندیس یک را ارائه می‌دهیم که برای *PDAE* غیرگستته برابر با نتایج قبلی است.

<sup>۱</sup>Trapezoidal Rule

<sup>۲</sup>Crank-Nicolson

<sup>۳</sup>Scharfetter-Gummel

---

برای گسسته‌سازی زمانی از روش‌های استاندارد  $BDF^1$  استفاده می‌کنیم. در پایان یک براورد همگرایی به حالت تعدل را برای  $PDAE$  به دست می‌آوریم.

---

<sup>1</sup>Backward Differentiation Formula

# آپیوست

## کد متلب مثال فصل ۴

```
clc;clear all
%% parameters
A=[0 2 0;1 -1 0;1 -1 0];
B=[-1 0 0;0 0 0;0 0 -1];
C=[0 0 0;0 -1 0;0 0 1];
L1=-1;L2=1;
t1=0;t2=1;

for d=2;
h1(d-1)=1/d
h=1/d
[T,Wh,p,N,ht]=efraz(h,L1,L2,t1,t2);
% Wh(1,1)=L1;Wh(1,2:length(wh)+1)=wh;Wh(1,length(wh)+2)=L2;
I=eye(N);
syms t x
U=[(x^2)*exp(-t);(x^2)*exp(-.5*t);(x^2)*sin(t)];% javabe daghigh
Uxx=diff(diff(U,x),x);% moshtaghe dovom
Ut1=diff(U,t);
n=length(U);
%% hale moadele va bedast avardane F
Ftx=A*Ut1+B*Uxx+C*U;
for i=1:N
f((i-1)*n+1:i*n,1)=subs(Ftx,x,Wh(i));
```

---

```

Ut((i-1)*n+1:i*n,1)=subs(U,x,Wh(i));
end
n2=length(f);n3=n2-2*n;
% ut=zeros(n2,1);
e1=subs(U,x,L1);e2=subs(U,x,L2);
ut=[e1;zeros(n3,1);e2];
% ut(1:n,1)=e1;ut(n+1:n2-n,1)=0;ut(n2-n+1:n3,1)=e2;
R=(1/(h^2))*Kronker(I,B)*ut;
f_r=f-R;
%% hale moadeleye G
for i=1:n-1
Gth=((1/ht)*Kronker(I,A))+((1/h^2)*Kronker(p,B))+Kronker(I,C);
end
%% mohasebeye U(t,x) va khata
u=[];ue=[];khataye_Boresh_kamel=[];khataye_gosastesazi_kamel=[];
u(:,1)=subs(Ut,t,0);
for i=2:N+2
ue(:,i)=inv(Gth)*(((1/2)*Kronker(I,A))*subs(Ut,t,T(i-1))+subs(f,t,T(i))-subs(R,t,T(i)));
u(:,i)=inv(Gth)*(((1/2)*Kronker(I,A))*u(:,i-1)+subs(f,t,T(i))-subs(R,t,T(i)));
khataye_Boresh_kamel(i)=(1/ht)*norm(ue(:,i)-subs(Ut,t,T(i)));
khataye_gosastesazi_kamel(i)=norm(u(:,i)-subs(Ut,t,T(i)));
end
figure;plot(T(2:end),khataye_Boresh_kamel(2:end))
title('khataye Boresh kamel');
figure;plot(T(2:end),khataye_gosastesazi_kamel(2:end))
title('khataye gosastesazi kamel');
% nemudar_khataye_Boresh_kamel(1,d-1)=norm(khataye_Boresh_kamel);
% nemudar_khataye_gosastesazi_kamel(1,d-1)=norm(khataye_gosastesazi_kamel);
end

```

## مراجع

[۱] کرایه‌چیان، ا، «معادلات دیفرانسیل و کاربردها»، چاپ شانزدهم، انتشارات دانشگاه فردوسی

مشهد، ۱۳۸۷.

- [2] A. Boumenir and V. Nguyen, *Perron theorem in monotone iteration method for traveling waves in delayed reaction-diffusion equations*, J. Diff. Eqs. 2008, 1551-1570.
- [3] A. Leung, *Stable invariant manifolds for coupled Navier-Stokes and second-order wave systems*, Asymptotic Analysis, 2005, 339-357.
- [4] A.W. Leung, *systems of nonlinear partial differential equations*, Kluwer Acad. Publ., Dordrecht, Boston, London, 1989.
- [5] C.W. Gear and L.R. Petzold, *ODE methods for the solution of differential/algebraic systems.*, SIAM J.Numer. Anal. 1984, 716-728.
- [6] E. Hairer and G. Wanner, *Solving Ordinary Differential Equations II*, Springer-Verlag, 1996.
- [7] E. Hairer, Ch. Lubich and M. Roche, *The numerical solution of differential-algebraic systems by Runge Kutta methods*, Springer-Verlag, 1989.
- [8] F.R. Gantmacher, *Matrizentheorie*, VEB Deutscher Verlag der Wissenschaften, Berlin, 1986.

- [9] G. Ali, N. Rotundo, *An existence result for elliptic partial differential-algebraic equations arising in semiconductor modeling*, Nonlinear Anal. Theory Methods Appl. 2010, 4666-4681.
- [10] J.W. Thomas, *Numerical partial differential equations: Finite difference methods*, Springer, New York, 1995.
- [11] K. Debrabant, K. Strehmel, *Convergence of Runge-Kutta methods applied to linear partial differential-algebraic equations*, Applied Numerical Mathematics, 2005, 213-229.
- [12] K.E. Brenan, S.L. Campbell, and L.R. Petzold, *Numerical solution of initial-value problems in differential algebraic equations*, North-Holland Publ. Co. Amsterdam, 1989.
- [13] K. Schittkowski, *Data Fitting in Partial Differential Algebraic Equations*, Elsevier Science, 2003.
- [14] K. Strehmel and R. Weiner, *Numerik gewöhnlicher Differentialgleichungen*, Verlagsgesellschaft Stuttgart, 1995.
- [15] M. Bodestedt, *Perturbation analysis of refined models in circuit simulation*, Ph.D. thesis, Technical University of Berlin, 2007.
- [16] M. Matthes , C. Tischendorf, *Convergence analysis of a partial differential algebraic system from coupling a semiconductor model to a circuit model*, Applied Numerical Mathematics, 2011, 382-394.

- [17] M. Yigider, E. Celik, *The Numerical Solution of Partial Differential-Algebraic Equations By Multivariate Pade Approximation*, European Journal of Pure and Applied Mathematics, 2011, 67-75.
- [18] R.D. Richtmyer and K.W. Morton, *Difference methods for initial-value problems*, Interscience Publ., New York, 1967.
- [19] S. Cui, *Analysis of a mathematical model for the growth of tumors under the action of external inhibitors*, J. Math. Biol. 2002, 395-426.
- [20] S. Lenhart and J. Workman, *Optimal Control Applied to Biological Models*, Chapman and Hall/CRC Mathematical and computational Biology, 2007.
- [21] W. Lucht, *Partial differential-algebraic systems of second order with symmetric convection*, Applied Numerical Mathematics, 2005, 357-371.
- [22] W. Lucht, K. Strehmel and C. Eichler-Liebenow, *Linear partial differential algebraic equations, Part I: Indexes, consistent boundary/initial conditions*, Fachbereich Mathematik und Informatik, Martin-Luther-Universität Halle, 1997, 258-277.
- [23] W. Lucht, K. Strehmel and C. Eichler-Liebenow, *Linear partial differential algebraic equations, Part II:Numerical solution*, Fachbereich Mathematik und Informatik, Martin-Luther-Universität Halle, 1997, 354-376.
- [24] W. Lucht, *Mathematisch-physikalische Modellierung von elektrothermischen Reaktoren zur Calciumcarbid Herstellung*, Thesis B, Martin-Luther-Universität Halle, 1988.

- 
- [25] W. Walter, *Differential and integral inequalities*, Springer-Verlag New York, 1970.
  - [26] X. Hou and A. Leung, *Traveling wave solutions for a competitive reaction-diffusion system and their asymptotics*, Nonlin. Anal. Real World Appl. 2008, 2196-2213.

# واژه‌نامه فارسی به انگلیسی

Sufficiently Smooth .....	به اندازه‌ی کافی هموار.....
Elliptic .....	بیضوی.....
Consistent .....	پایدار.....
Nilpotent .....	پوج‌توان.....
Fourier Transform .....	تبدیل فوریه .....
Laplace Transform .....	تبدیل لابلاس .....
Algebraic .....	جبری .....
Linear .....	خطی .....
Rank .....	رتبه .....
Parabolic .....	سهموی .....
Scalar Product .....	ضرب اسکالر .....
Constant .....	عدد ثابت .....
Nonlinear .....	غیرخطی .....
Assumption .....	فرض .....
Unitary Matrix .....	ماتریس یکانی .....
Order .....	مرتبه .....
Independent .....	مستقل .....
Derivative .....	مشتق .....
Initial Values .....	مقادیر اولیه .....
Boundary Values .....	مقادیر مرزی .....
Regular .....	منتظم .....
Singular .....	منفرد .....
Inhomogeneous .....	ناهمگن .....
Convergent .....	همگرا .....
Homogeneous .....	همگن .....



# واژه‌نامه انگلیسی به فارسی

Algebraic .....	جبری .....
Assumption .....	فرض .....
Boundary Values .....	مقادیر مرزی .....
Consistent.....	پایدار.....
Constant.....	عدد ثابت.....
Convergent .....	همگرا .....
Derivative .....	مشتق .....
Elliptic .....	بیضوی .....
Fourier Transform .....	تبدیل فوریه .....
Homogeneous .....	همگن .....
Independent.....	مستقل .....
Inhomogeneous .....	ناهمگن .....
Initial Values.....	مقادیر اولیه .....
Laplace Transform .....	تبدیل لاپلاس .....
Linear .....	خطی .....
Nilpotent .....	پوج توان .....
Nonlinear .....	غیرخطی .....
Order .....	مرتبه .....
Parabolic .....	سهموی .....
Rank .....	رتبه .....
Regular.....	منتظم .....
Scalar Product .....	ضرب اسکالر .....
Singular.....	منفرد .....
Sufficiently Smooth.....	به اندازه‌ی کافی هموار .....
Unitary Matrix.....	ماتریس یکانی .....



## **Aabstract**

Linear partial differential algebraic equations of the form  $Au_t(t, x) + Bu_{xx}(t, x) + Cu(t, x) = f(t, x)$  are studied where at least one of the matrices  $A, B \in \mathbb{R}^{n \times n}$  is singular. the two special cases  $A = 0$  and  $B = 0$  lead to ordinary differential equations and differential algebraic equations, respectively. therefore we assume that none of the matrices A or B is the zero matrix. we introduce a uniform differential time and a differential space index for these systems. these indexes are characterized by means of a fourier and a laplace transform, respectively. furthermore, we introduce a perturbation index pair and show the relation between the uniform differential time index and the differential space index. also we obtain the number of initial and boundary conditions for regular pencils.

we use the backward in time, centered in space scheme for numerical solution partial differential algebraic equations. at the end, we introduce the full truncation error and the full discretization error and we investigate their norm.

keywords: Differential Space Index, Differential Time Index, Perturbation Index, Space Discretization, Time Discretization





Shahrood University Of Technology

**Technology University of Shahrood  
Faculty Of Mathematical Sciences**

**Dissertation Submitted in Partial  
Fulfillment of The Requirements For The  
Degree of Master of Science in  
Applied Mathematics**

**Solving Partial Differential Algebraic  
Equations By Semi-Analysis Methods**

**Supervisor  
Dr.M. Ghovatmand  
Advisor  
Dr.A. Mesforush**

**by  
Sayedeh Roghayeh Mirbagheri**

**2014**